



---

## Lochristi-Moststraat

---

Rapportage van het  
archeologisch  
proefsleuvenonderzoek  
24 – 31 mei 2016

---

Jasper DECONYNCK, Ruben  
VERGAUWE, Pieter LALOO, Gerben  
VERBRUGGHE, Jari Hinsch MIKKELSEN  
& Luc ALLEMEERSCH

---

**Project:**

Lochristi-Moststraat: archeologisch proefsleuvenonderzoek.

**Opdrachtgever:**

Meganck-Collewaert NV  
Moststraat 1/Z  
9080 Beervelde (Lochristi)

GHENT ARCHAEOLOGICAL TEAM bvba

Jasper Deconynck, Ruben Vergauwe, Pieter Laloo, Gerben Verbrugghe, Jari Hinsch

Mikkelsen, Luc Allemeersch

D/2016/103

ISSN 2033-8678

© 2016 - GHENT ARCHAEOLOGICAL TEAM bvba

Niets uit deze uitgave mag vermenigvuldigd of aangepast worden, opgeslagen in een geautomatiseerde gegevensbestand en/of openbaar gemaakt worden zonder enige vorm of wijze ook, elektronisch, mechanisch door fotocopie, zonder toestemming van Ghent Archaeological Team bvba.

## Inhoudstafel

---

1. Voorwoord	3
2. Technische fiche	4
3. Inleiding	5
4. Aanleiding en doel van het onderzoek	6
5. Geografische en bodemkundige situering	8
6. Archeologische en historische situering	16
7. Tijds kader	22
8. Methodologie	23
9. Resultaten	25
9.1    Algemeen	
9.2    Bodemkunde	
9.3    Archeologisch	
9.3.1    Natuurlijke sporen	33
9.3.2    Ongedateerd : kolenbranderskuilen	34
9.3.3    Vol – laat middeleeuws (13-14 <sup>e</sup> eeuw)	40
9.3.4    Post-middeleeuwen – Vroeg moderne tijd (17-19 <sup>e</sup> eeuw)	50
9.3.5    Nieuwste tijd (20-21 <sup>e</sup> eeuw)	54
9.4    Conclusie	55
10 Advies	59
11 Bibliografie	61
12 Bijlagen	64

Sleuvenlijst, sporenlijst, vondstenlijst, fotolijst

## **1. Voorwoord**

Tussen 24 en 31 mei 2016 vond te Lochristi langsheen de Moststraat en de Reigerstraat een preventief archeologisch vooronderzoek d.m.v. proefsleuven plaats. Het betreft een ca. 7 ha groot terrein waar het bedrijf Meganck-Collewaert NV een verdere exploitatie doet van het 70ha groot ontginningsbedrijf.

Dit rapport vormt de schriftelijke neerslag van het verloop van het proefsleuvenonderzoek en de resultaten van het project.

Hierbij willen de auteurs de opdrachtgever Meganck-Collewaert NV en studiebureau Sweco (Paul Durinck) bedanken. Stani Vandecatsye van het agentschap Onroerend Erfgoed (provincie Oost-Vlaanderen) willen we danken voor de administratieve begeleiding.

De firma Meganck-Collewaert NV stond in voor de graafwerken.

## 2. Technische fiche

---

- \* Site: Lochristi-Moststraat
- \* Ligging: Lochristi
- \* Provincie: Oost-Vlaanderen
- \* Lambert72-coördinaten (4 hoekpunten terrein): X= 113056 Y= 194166 -- X= 113056 Y= 194666 -- X= 113656 Y= 194466 -- X= 113656 Y= 194266
- \* Kadaster: Lochristi afdeling 4 Sectie E 702, 721, 726, 737B (partim)
- \* Onderzoek: Vooronderzoek / Prospectie met ingreep in de bodem/proefsleuvenonderzoek
- \* Opdrachtgever: Meganck-Collewaert NV
- \* Uitvoerder: Ghent Archaeological Team bvba
- \* Vergunning archeologische opgraving: 2016 – 221 (1)
- \* Vergunninghouder archeologische opgraving: Pieter Laloo
- \* Vergunning metaaldetectie: 2016- 221 (2)
- \* Vergunninghouder metaaldetectie: Pieter Laloo
- \* Projectarcheologen: Jasper Deconynck, Ruben Vergauwe, Pieter Laloo, Gerben Verbrugge, Jari Hinsch Mikkelsen en Luc Allemeersch
- \* Bewaarplaats archief: Eindeken 18b, 9940 Evergem
- \* Grootte projectgebied: 6,9 ha
- \* Grootte onderzocht gebied bij vooronderzoek: 5,9 ha
- \* Termijn: 24 mei - 31 mei 2016

### \*Resultaten:

- ongedateerde sporen (middeleeuws of ouder ): vier kolenbranderskuilen
- windval met ijzertijd aardewerk
- aanzet vol-laai middeleeuws landschap (13-14<sup>e</sup> eeuws): grachten, greppels, zandwinningskuilen en ploegsporen
- Post middeleeuwse tot Vroeg moderne perceelsgrachten en kuilen
- Recente verstoringen

### **3. Inleiding**

---

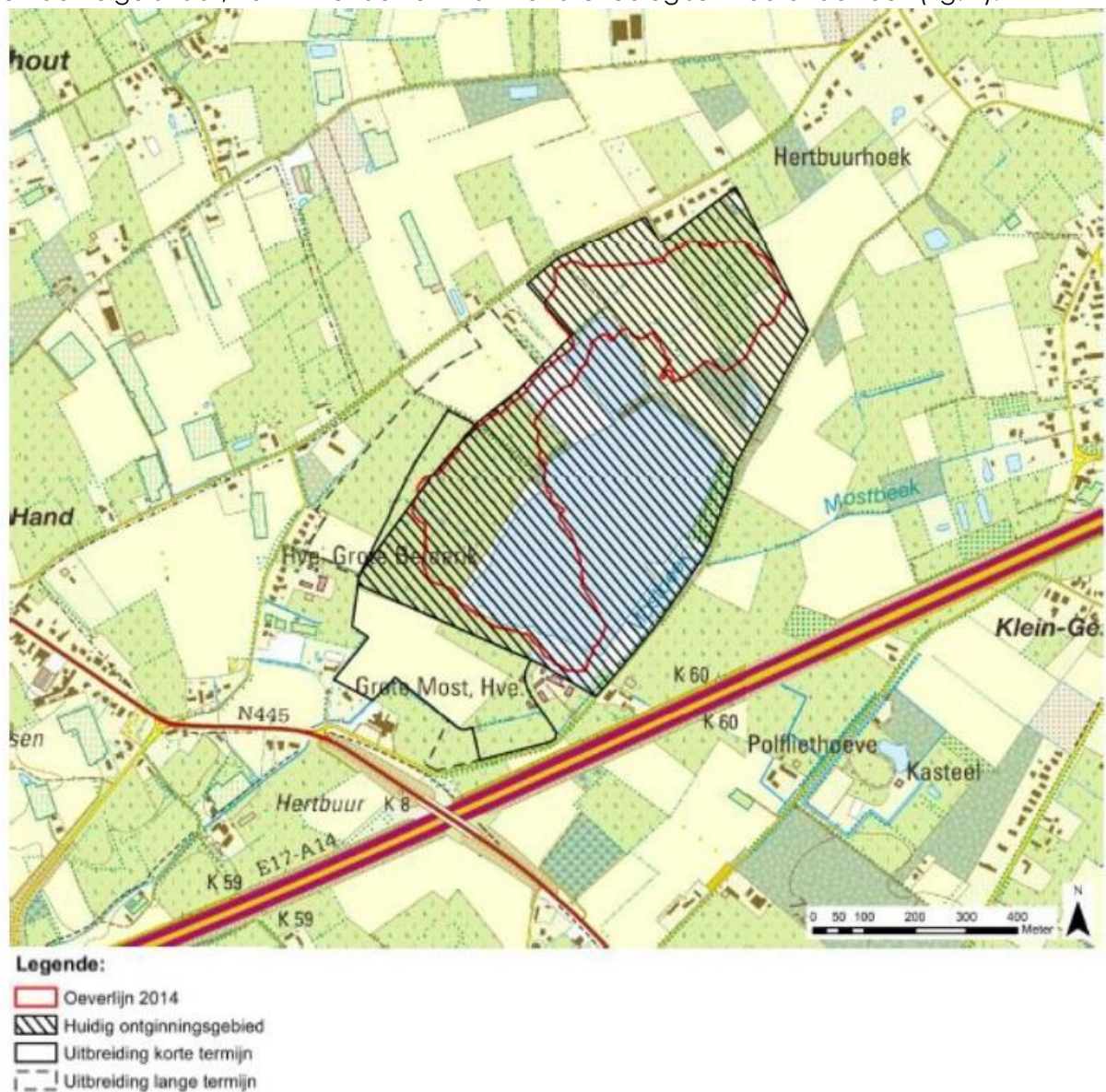
Van 24 tot 31 mei 2016 werd te Lochristi langsheen de Moststraat (oost- en zuidgrens) en de Reigerstraat (westgrens) een archeologisch proefsleuvenonderzoek uitgevoerd. In dit verslag zullen in een aantal hoofdstukken het verloop en de resultaten van het onderzoek toegelicht worden. Ten eerste komen de aanleiding en het doel van dit onderzoek aan bod, gevolgd door een geografische en bodemkundige situering alsook een situering binnen het archeologisch kader. In een volgend hoofdstuk wordt de gevolgde methodologie toegelicht, waarna de resultaten worden voorgesteld. Ten slotte volgen de conclusie en daaraan de gekoppelde aanbevelingen. In de bijlage op DVD bevinden zich de digitale opmetings- en bewerkte grondplannen, het digitaal archief en de inventarissen.

#### 4. Aanleiding en doel van het onderzoek

Het bedrijf Meganck-Collewaert NV in Beervelde (gemeente Lochristi) plant een beperkte uitbreiding van de bestaande zandontginning. De bestaande zandontginning is gelegen in Beervelde ten noorden van de E17 en de Dendermondse Steenweg N445. De zandontginning is destijds ontstaan bij de aanleg van de E17 en is nadien verder uitgebouwd.

Er wordt voorzien in een uitbreiding in twee fases met een ontginningstermijn van ongeveer zes jaar voor ongeveer 1,7 miljoen m<sup>3</sup> zand. De oppervlakte van de uitbreiding bedraagt een grote 7 ha op korte termijn (zuidelijk deel) en 7 ha op lange termijn (westelijk deel), samen een kleine 15 ha. De totale oppervlakte van de ontginning komt daardoor op 61 ha (RUP vlaanderen).

Het korte termijn project, in het zuiden van het ontginningsgebied omsloten door de Moststraat en de Reigerstraat, vormt hier de kern van het archeologisch vooronderzoek (fig. 1).



**Fig. 1: overzicht van de zandontginning; het meest zuidelijke, niet gearceerde, deel is de kern van het onderzoek besproken in dit rapport (Bron: Geopunt)**

Het doel van deze prospectie (met ingreep in de bodem) is een archeologische evaluatie van het terrein. Hierbij moeten minimaal volgende onderzoeksvragen beantwoord worden (S.n. 2016):

- Welke bodemopbouw is tijdens het vooronderzoek vastgesteld?
  - Is deze bodemopbouw over het hele terrein gelijkaardig of zijn er lokale verschillen?
  - Op basis van welke bodemvormende factoren en/of processen kunnen de lokale bodemgenese en in voorkomend geval lokale variaties verklaard worden?
  - Welke impact hebben bodemvormende factoren en/of processen gehad op het bewaringspotentieel of de bewaringstoestand van archeologisch erfgoed?
- Zijn er in de proefsleuven en de kijkvensters sporen vastgesteld? Zijn de sporen natuurlijk en/of antropogeen en wat is hun bewaringstoestand?
- In het geval er relevante archeologische structuren aanwezig zijn:
- Kunnen op basis van vondstmateriaal, oversnijdingen en/of vulling uitspraken gedaan worden over de datering en de onderlinge fasering van de aangetroffen sporen?
  - Kunnen er op basis van de aard van de contexten en/of het vondstmateriaal uitspraken gedaan worden over het type vindplaats (bewoning, funerair, religieus, artisanaal,...)? Kunnen er na het vooronderzoek reeds specifieke sporen of sporenclusters gedetermineerd en/of verwacht worden (plattegronden, enclos, graven, waterputten,...) en in welke densiteit?
  - Kan voor deze vindplaats het principe van behoud in situ nagestreefd worden, zo ja aan welke randvoorwaarden dient voldaan te worden?
  - Voor archeologische vindplaatsen die bedreigd worden door de geplande ruimtelijke ontwikkeling en die niet in situ bewaard kunnen blijven:
    - Wat is de ruimtelijke afbakening (in drie dimensies) van de zones voor vervolgonderzoek?
    - Welke aspecten verdienen bijzondere aandacht bij het vervolgonderzoek?
  - Wat is het wetenschappelijk kennispotentieel van de archeologische vindplaats op regionaal en op Vlaams niveau? In hoeverre zijn gelijkaardige vindplaatsen gekend en gedocumenteerd? Welke site-specifieke vraagstellingen kunnen geformuleerd worden bij een vervolgonderzoek?
  - Zijn er voor de beantwoording van deze vraagstellingen natuurwetenschappelijke onderzoeken nodig? Zo ja, welke type staalnames zijn hiervoor noodzakelijk en in welke vermoedelijke hoeveelheid?
  - Is er sprake van een grondwaterproblematiek? Dient lijn- en/ of kaderbemaling in de begroting voorzien te worden bij een vervolgonderzoek?
  - Welke rudimentaire inschatting kan er gemaakt worden van de tijdsduur van een vervolgonderzoek? Welke personeelsbezetting, personeelskwalificaties en (specialistische) begeleiding zijn hierbij aangewezen?



## 5. Geografische en bodemkundige situering

### 5.1 Geografisch

Het ontginningsgebied is gelegen in Beervelde, deelgemeente van Lochristi, in de provincie Oost-Vlaanderen (fig. 2 & 3).

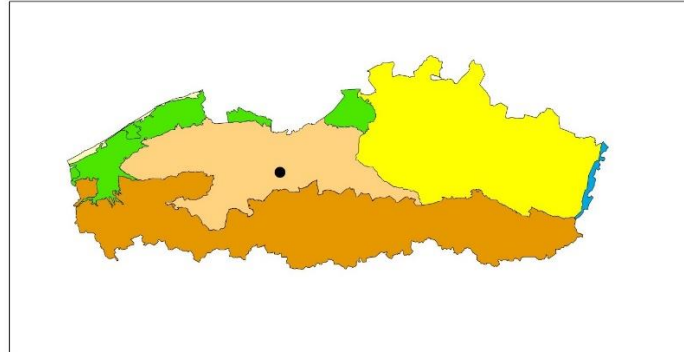


Fig. 2: lokalisatie van het projectgebied in Vlaanderen ((Bron: [www.geopunt.be](http://www.geopunt.be).)

Het bevindt zich op een kleine 2 km ten zuidwesten van het centrum van Beervelde en wordt via de Moststraat en de Dendermondsesteenweg (N445) ontsloten naar de R4 en de E17. Het te sleuven projectgebied bevindt zich in het uiterste zuiden van het ontginningsgebied en wordt omsloten door de Moststraat in het oosten en zuiden die daar ook grenst aan de E17 en in het westen de Reigerstraat (fig. 4). Kadastraal betreft het de percelen (afdeling 4 Sectie E); 702, 721, 726, 737B (partim) ([www.geopunt.be](http://www.geopunt.be)).

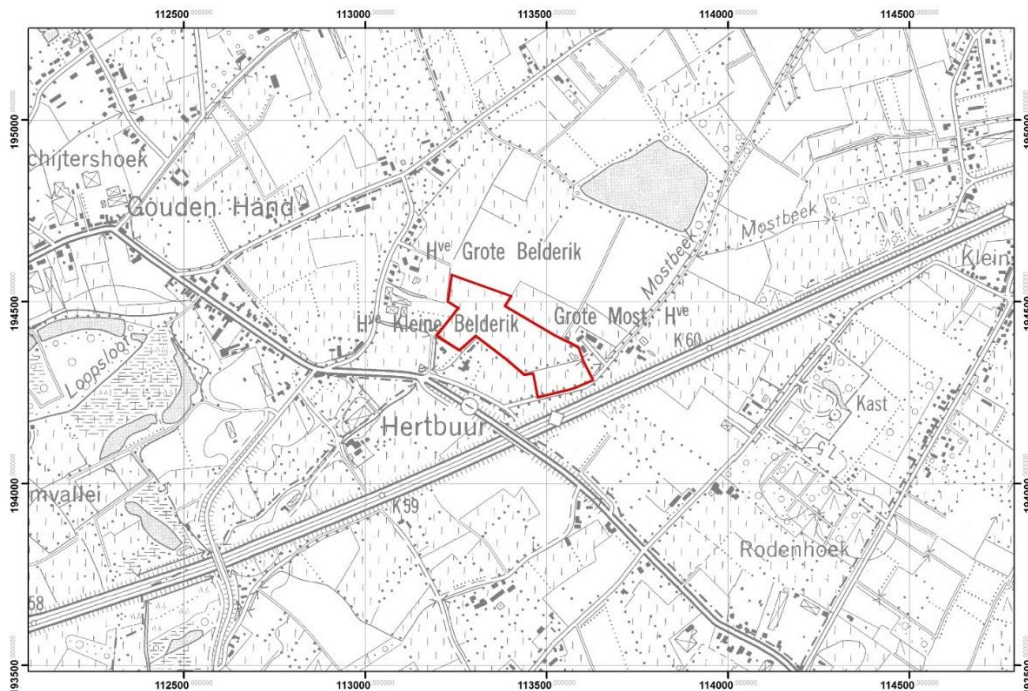


Fig. 3: ligging en afgrenzing van het studiegebied op de topokaart.  
Gebruikt kaartblad: 1:10.000 opgenomen 1968. (Bron: [www.geopunt.be](http://www.geopunt.be).)



Fig. 4: ligging en afgrenzing van het 7 ha groot te sleuven onderzoeksgebied op de orthofoto (Bron: [www.gisoost.be](http://www.gisoost.be).)

## 5.2 Bodemkundig

Wegens de grote dikte van de sedimenten, afgezet tijdens het Quartair is een behandeling van oudere afzettingen niet relevant voor een archeologische studie. De quartaire sedimenten bestaan hoofdzakelijk uit materiaal, afgezet in de 'Vlaamse vallei'.

Fysisch geografisch behoort Lochristi tot zandig Vlaanderen en vormt het een onderdeel van de Vlaamse Vallei. Dit hele reliëfcomplex wordt gekenmerkt door het dagzomen van zandige tot licht zandlemige gronden en staat daarom ook gekend als zandig Vlaanderen. Het gebied kende zijn ontwikkeling in een glaciair en periglaciair milieu (Ameryckx et al. 1995).

De textuur in het projectgebied bestaat uit lemig zand (S) of zand (Z). Het vochtgehalte varieert van matig droog (c) naar matig nat (d). Als ontwikkeling zien we een structuur B-Horizont gecombineerd met een verbrokkelde ijzer en/of humus B horizon (fig. 5) (<http://geovlaanderen.agiv.be>).

Dit geeft de volgende types: Sdb (matig natte lemig zandbodem met structuur B horizon) in het westen van het projectgebied en Zch (matig droge zandbodem met verbrokkelde ijzer en/of humus B horizon) in het centrale, noordelijke en oostelijke deel van het projectgebied.

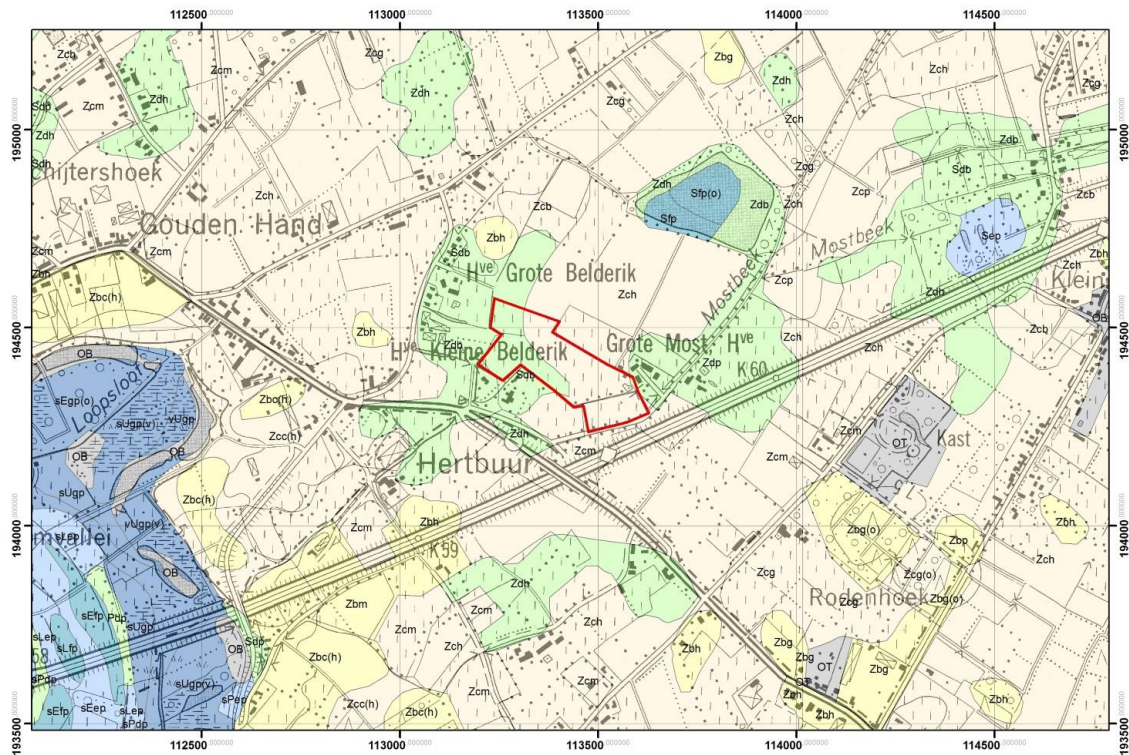
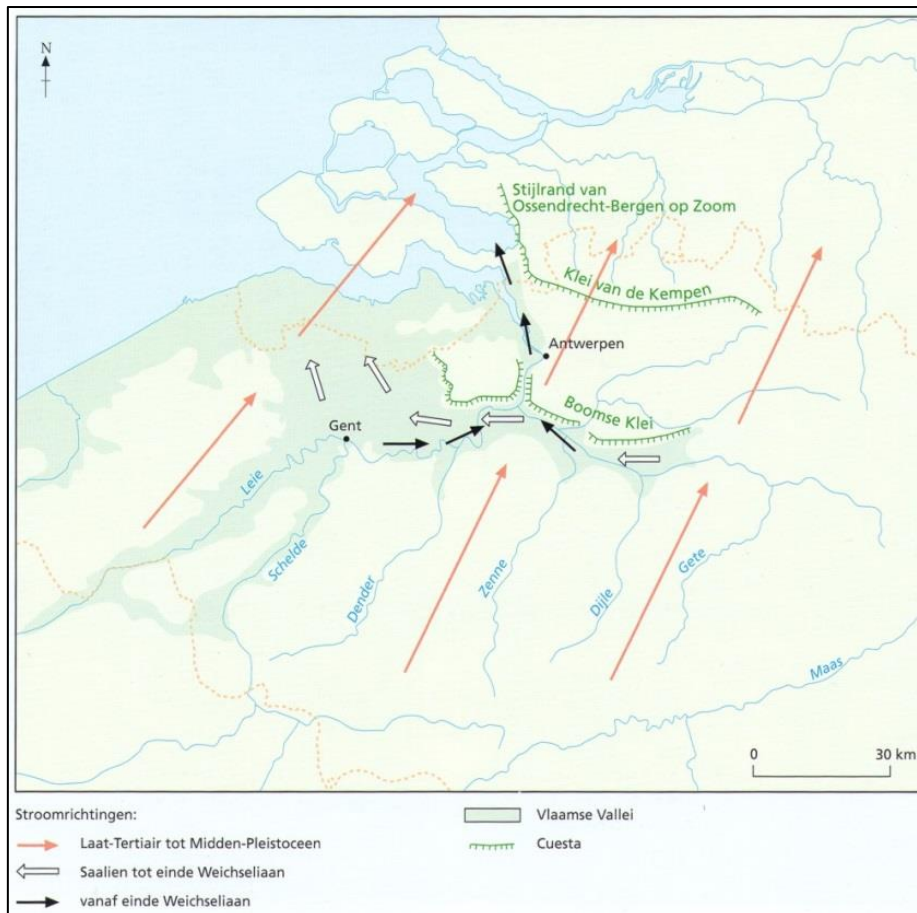


Fig. 5: de bodems in de ruime omgeving volgens de bodemkaart van België. (© agiv)

### **Algemeen (geo-)morphologisch kader: de Vlaamse vallei**

Het projectgebied is gelegen bij het uitwaaieren van een grote depressie, de Vlaamse Vallei (Tavernier, 1946) genaamd (fig. 6). Ze is het resultaat van een grote en diepe insnijding in tertiaire sedimenten en een opvulling met quataire sedimenten. Deze depressie vormt het centrum van Zandig Vlaanderen. Deze Vlaamse Vallei loopt stroomopwaarts langs de Leie en de Schelde.

Het begin van de ontstaansgeschiedenis van de Vlaamse Vallei dient gezocht te worden in een wijziging van een oorspronkelijk noordwaartse naar een noordwestwaartse loop van de rivieren gedurende het Pleistoceen. Deze verandering van richting werd veroorzaakt door de doorbraak van het Nauw van Calais (Sommé et al. 1999), waardoor de afwateringsafstand naar de zee in het noordwesten plots aanzienlijk korter werd dan de oorspronkelijk noordelijke afwatering. De verbreding en uitdieping van de Vlaamse Vallei heeft zich in het Quartair voorgedaan onder invloed van grote klimatologische veranderingen (De Moor et al. 1978, Paepe et al. 1981). Afwisselende fasen van erosie en sedimentatie werden veroorzaakt door onevenwichtstoestanden (i.e. tussen factoren als evapotranspiratie, temperatuur, neerslag, enz.) tussen interglaciale en glaciële periodes. De insnijding van de Vlaamse Vallei gaat tot - 25 m diep (De Moor et al. 1978).



**Fig. 6: het Scheldebekken in Laag- en Midden-België, met de grote lijnen van de evolutie van het rivierennet en de afwateringsrichtingen sinds het laat-Tertiair (ca. twee miljoen jaar geleden) (Van Strydonck & De Mulder 2000)**

De verschillende sedimentatie- en erosiefasen zorgden voor een steeds bredere en diepere depressie. Het materiaal afgezet tijdens de fase van sedimentatie werd in de daaropvolgende erosiefase weer grotendeels of geheel weggeruimd. Deze afwisselende fasen van insnijding en sedimentatie hebben verschillende alluviale terrassen gevormd langs de huidige vallei en haar uitlopers (De Moor et al. 1978). Tijdens de laatste sedimentatiefase (in het Weichseliaan) werd de Vallei opgevuld en werd het huidige, relatief vlakke landschap van de Vlaamse Vallei gevormd.

Tijdens interglaciale periodes transformeerden mariene transgressies de Vlaamse Vallei in een grote baai (Ek & Ozer 1976). De aanwezigheid van mariene sedimenten in combinatie met de verschillende fasen van alluviale sedimentatie en erosie maakt de sedimentaire opvulling van de Vlaamse Vallei uiterst complex.

Op dit moment bestaat het hydrografische net in de Vlaamse Vallei uit rivieren met een enkele, meanderende geul (Huybrechts 1989).

### Weichseliaan

Het Weichseliaan is de (voorlopig) laatste glaciële periode die twee subperiodes omvat.

De eerste, het Pleniglaciaal, wordt gekenmerkt door een extreem koud klimaat dat aan de oorsprong ligt van de gletsjers en de uitgestrekte polaire ijskappen, alsook door een schaarse vegetatie van het droge, bijna boomloze toendratype (Roberts 1998). Het glaciële maximum situeert zich ongeveer tussen 25.000 en 20.000 BP (Cubizolle 2009).

De tweede periode, het Laat-Glaciaal genoemd, vertegenwoordigt een transitiefase tussen het Pleniglaciaal en de huidige interglaciale periode, het Holoceen. In de loop van het Laat-

Glaciaal steeg de temperatuur en werd het landschap bedekt met een bos met berk en/of den. Deze periode situeert zich tussen 15.000 en 10.000 BP (Cubizolle, 2009).

### **Pleniglaciaal**

In de loop van het Pleniglaciaal veroorzaakte de accumulatie van een enorme ijskap een aanzienlijke verlaging van de zeespiegel, resulterend in een niveau dat ongeveer 75 m lager lag dan het huidige zeeniveau (Van Ruymbeke, et al., 1965). Als gevolg van deze mariene regressie lag het zuidelijke deel van de Noordzee droog. Op dat moment bevond de Vlaamse Vallei zich in een periglaciale context met weinig of geen vegetatie. Deze afwezigheid van vegetatie heeft geleid tot eolisch transport van zand en leem door west en noordwest heersende winden en de afzetting van löss en niveo-eolisch materiaal (Van Ruymbeke, et al., 1965).

In het begin van het Weichseliaan heeft in de alluviale vlakten een belangrijke fase van erosie plaatsgevonden (Kiden, 1991). De vallei werd vervolgens gradueel opgevuld ten gevolge van een vlechtend rivierstelsel. De dikte van deze afzettingen kan oplopen tot 20-30 m (Van Ruymbeke, et al., 1965).

Het systeem van vlechtende rivieren wordt gekarakteriseerd door de aanwezigheid van verschillende kleinere geulen, van elkaar gescheiden door meerdere longitudinale zanderige ruggen, die niet of nauwelijks begroeid waren (fig. 7). Deze microtopografie kan lokaal nog steeds zichtbaar zijn in de alluviale vlakte van de Vlaamse Vallei.

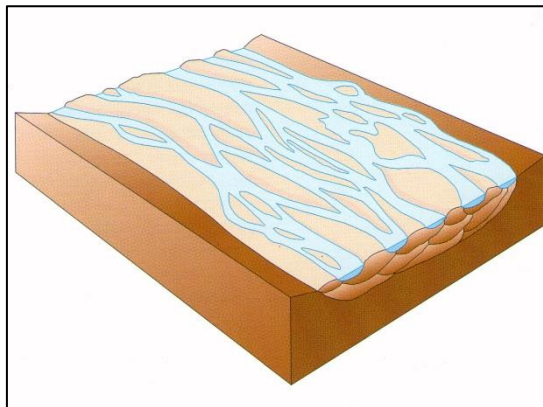


Fig. 7 : Schematische voorstelling van een vlechtend riviersysteem (Van Strydonck & De Mulder 2000)

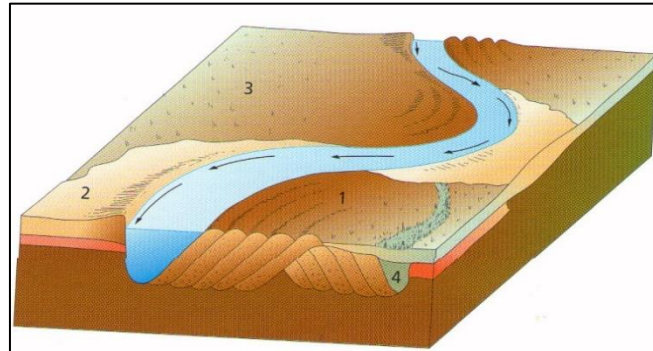
### **Laat Glaciaal**

In die periode ontdooiden de bodems gradueel wat de rivieren toeliet zich verticaal in te snijden in de pleniglaciale alluviale sedimenten (Kiden 1991). Het lage zeeniveau zorgde daarbij voor een heel sterke erosie. De rivieren transformeerden de Laat-Glaciale afzettingen in lage terrassen die de huidige riviervlakte domineren.

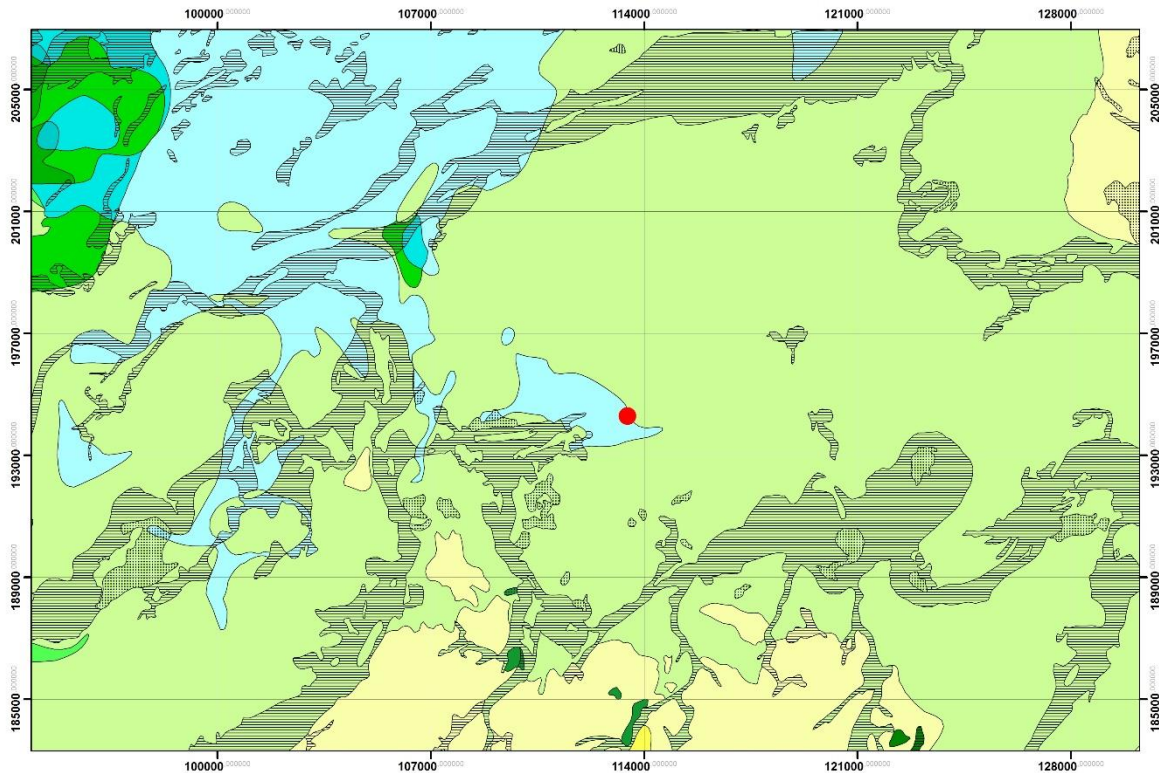
Deze terrassen kunnen een hoogte halen van 2 à 3 m en zijn herkenbaar in de microtopografie (Kiden 1991). Op sommige plaatsen kunnen ook tussenliggende terrassen waargenomen worden, maar over het algemeen zijn deze compleet weg geërodeerd. Deze laatste zijn ontstaan door een onregelmatige overgang van het vlechtende naar het meanderende riviersysteem (Vanmaercke-Gottigny 1964). Tijdens het Laat-Glaciaal wisselden periodes van extreme koude (i.e. Oude en Jonge Dryas) af met periodes van dooi (i.e. Bølling en Allerød). Het meanderende riviersysteem kenmerkte zich door het ontstaan van goed ontwikkelde kronkelwaardruggen (fig. 8.) die zich vormden aan de binnenkant van een rivierbocht. Deze droge opduikingen waren voor prehistorische mensen aantrekkelijk om zich te vestigen en

frequent worden dan ook op deze kronkelwaardruggen archeologische resten van het mesolithicum tot de bronstijd aangetroffen (Bats et al., 2006).

Ook wanneer het klimaat verzachtte en de bossen zich herstelden, bleven eolische afzettingen zich vormen (Van Ruymbeke et al. 1965).



**Figuur 8: schematische voorstelling van een meanderende rivier met (1) kronkelwaarden aan de binnenkant van de bochten; (2) oeverwallen aan de buitenkant van de bochten; (3) laaggelegen komgronden; (4) oude verlande rivierbochten (Van Strydonck & De Mulder, 2000)**



**Fig. 9:: de quartairgeologische kaart. (Bron: [www.geopunt.be](http://www.geopunt.be))**

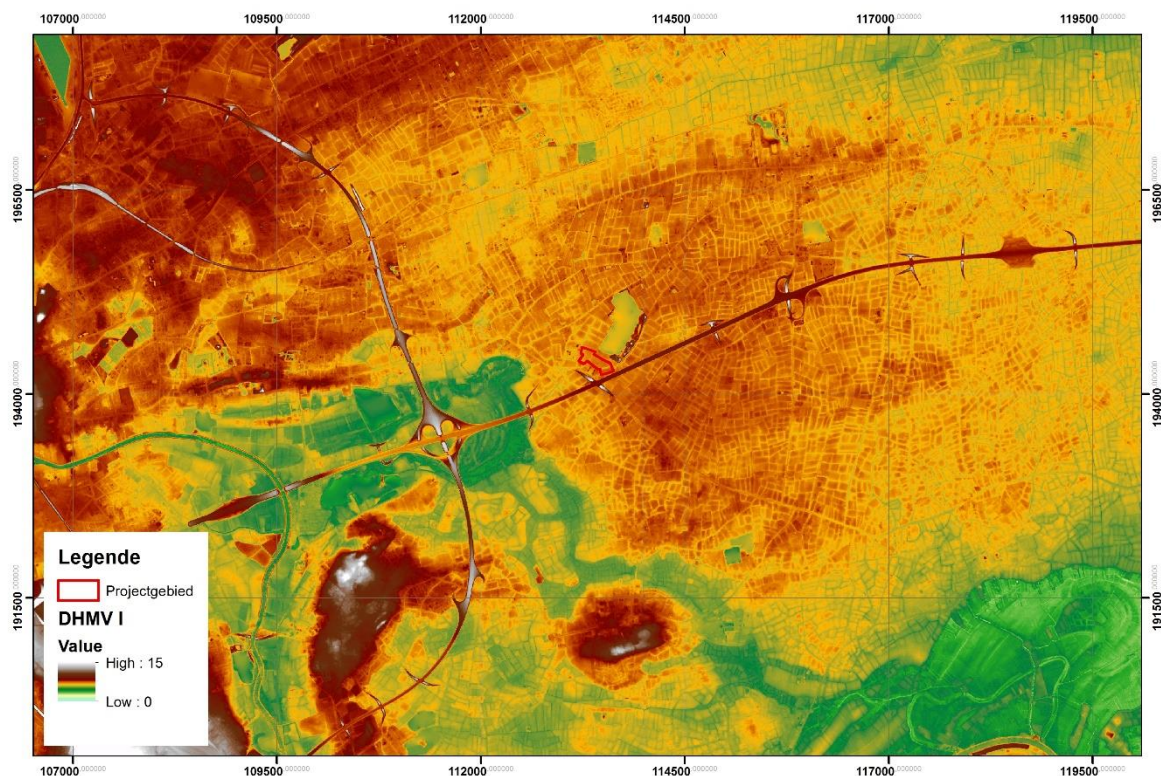
Binnen het studiegebied hebben we te maken met dunne (soms kunnen ze ook ontbreken) eolische zandafzettingen van het Weichseliaan die rusten op een dik pakket fluviatiele afzettingen uit het Weichseliaan, die in de verwilderde rivier afgezet zijn. Sedimenten van het Laat-Glaciaal ontbreken in het studiegebied. Het verschil tussen de lichtgroene en de lichtblauwe kleur in figuur 9 is het al dan niet aanwezig zijn van sedimenten uit het Eemiaan (de warme periode vóór het Weichseliaan). Gezien hun diepe ligging onder de sedimenten van

de Vlaamse Vallei is het al dan niet aanwezig zijn niet relevant binnen dit archeologisch onderzoek.

### **Bespreking van het macroreliëf**

Figuur 10, met centraal het studiegebied, toont ons in een groene kleur insnijdingen van de Schelde. Deze worden nu nog door de rivier gebruikt en zijn opgevuld met alluvium. Deze insnijdingen kunnen holocene of tardiglaciaal zijn. Ten westen maar vlakbij het studiegebied bevindt zich de Damvallei. Het ligt nu op een paar km van de Schelde maar werd door deze rivier ingesneden en later met veen opgevuld én door de mens ontgonnen.

Meer zuidelijk liggen twee tertiaire 'eilanden' in de Vlaamse Vallei, waarop de kernen van Laarne en Heusden gelegen zijn. Het zijn de hoogste punten op deze kaart. De zone, waar het studiegebied deel van uitmaakt is uiterst vlak. Het reliëf manifesteert zich vooral bij de perceelgrenzen. De hoogte bedraagt 6 à 8 m.



**Fig. 10: digitaal hoogtemodel ten oosten van Gent met centraal het studiegebied. (Bron: [www.geopunt.be](http://www.geopunt.be).)**

Ten noorden en ten oosten van het plangebied wordt het Lid van Vlierzele begrensd door de Formatie van Lede (Jacobs et al. 1999).

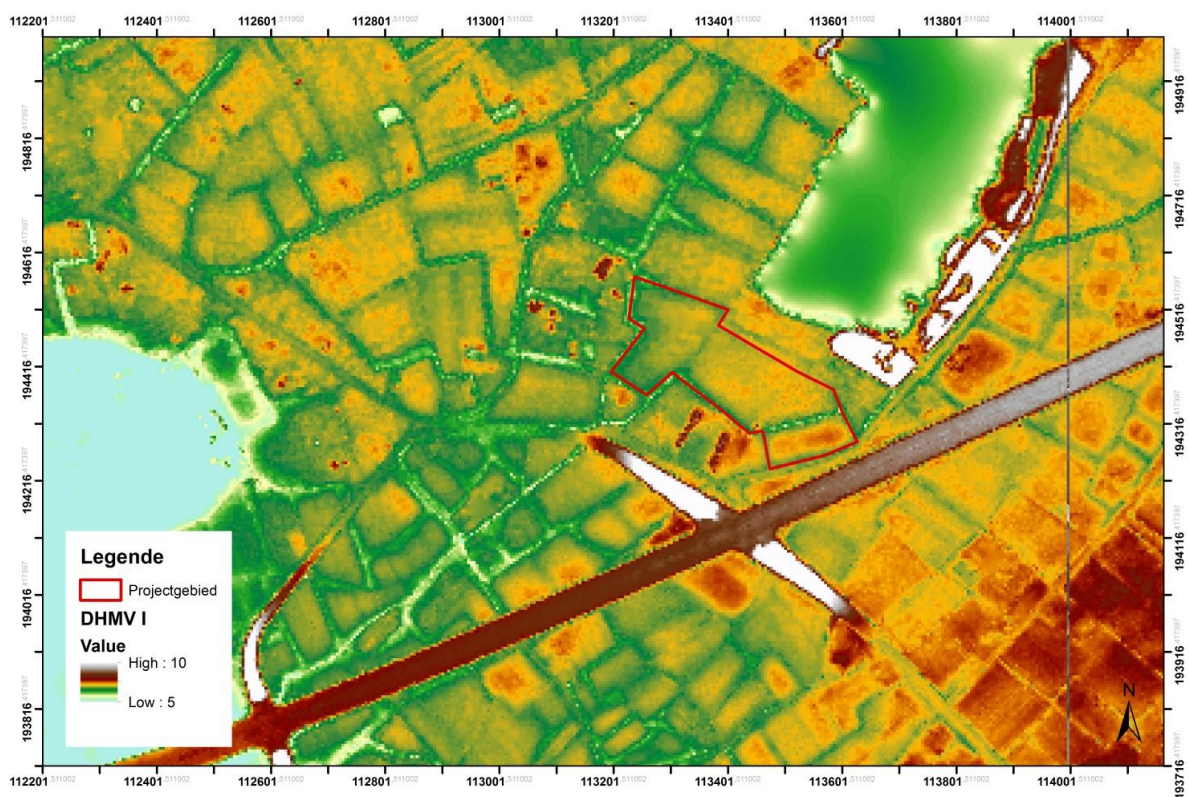
Het lage en vlakke dekzandgebied vertoont een vlak en matig uitgesproken micro-reliëf gekarakteriseerd door een afwisseling van zwakke ruggen en depressies. De laagste stroken volgen de vallei van de Kale, de depressies van Kluzen en van de Moervaart. De Moervaartdepressie is 2-2,5 kilometer breed met de laagste punten op een niveau van 3-4 meter. Het gebied ten zuiden van de Moervaartdepressie (Zaffelare, Lochristi, Zeveneken, Beervelde) is zeer vlak met een hoogteligging van 5-7 meter. Het noordelijk gelegen gebied (Wachtebeke, Moerbeke) heeft een meer uitgesproken microreliëf waarvan de koppens 7,5

meter bereiken en de laagste gedeelten op een niveau van 3 meter gelegen zijn. Aansluitend op het dekzandgebied, aan de landsgrens ligt een smalle polderstrook waarvan het laagste punt rond 0 meter ligt (Jacobs *et al.* 1999).

### **Bespreking van het microreliëf**

Het studiegebied, centraal op fig. 11, vertoont buiten de alluviale vlakte nauwelijks reliëf. De beperkte hoogteverschillen zijn vooral antropogeen bepaald. De perceelranden liggen steeds lager dan het overige gedeelte van de percelen.

De topografie van het plangebied varieert in hoofdzaak tussen de 5 en de 8 m. TAW (fig. 11). De lager gedeeltes bevinden zich in het westen van het projectgebied en gaan samen met de bodemtextuur (cfr. supra).



**Fig. 11: digitaal hoogtemodel met centraal het projectgebied (Bron: [www.geopunt.be](http://www.geopunt.be).)**



## 6. Archeologische en historische situering

### 6.1 Historisch

Het studiegebied te Beervelde (Lochristi) is bijna grotendeels onbebouwd en integraal in gebruik als gras- en akkerland.

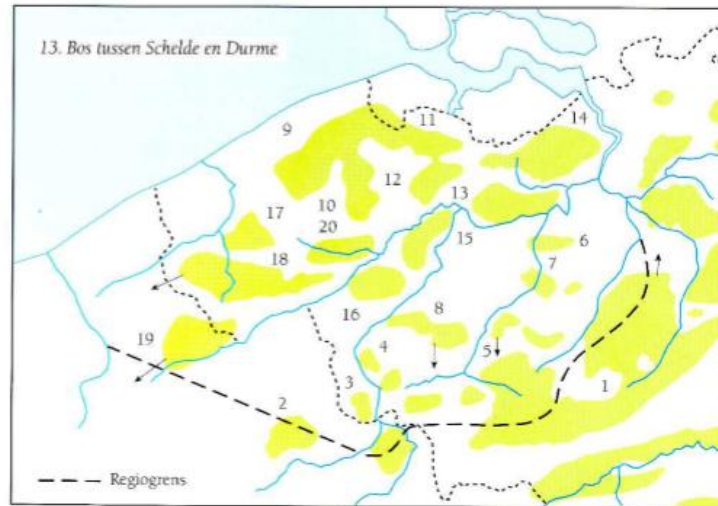


Fig. 12 : vermoedelijke ligging van de boscomplexen in de vroege middeleeuwen (Bron: Tack et al. 1993)

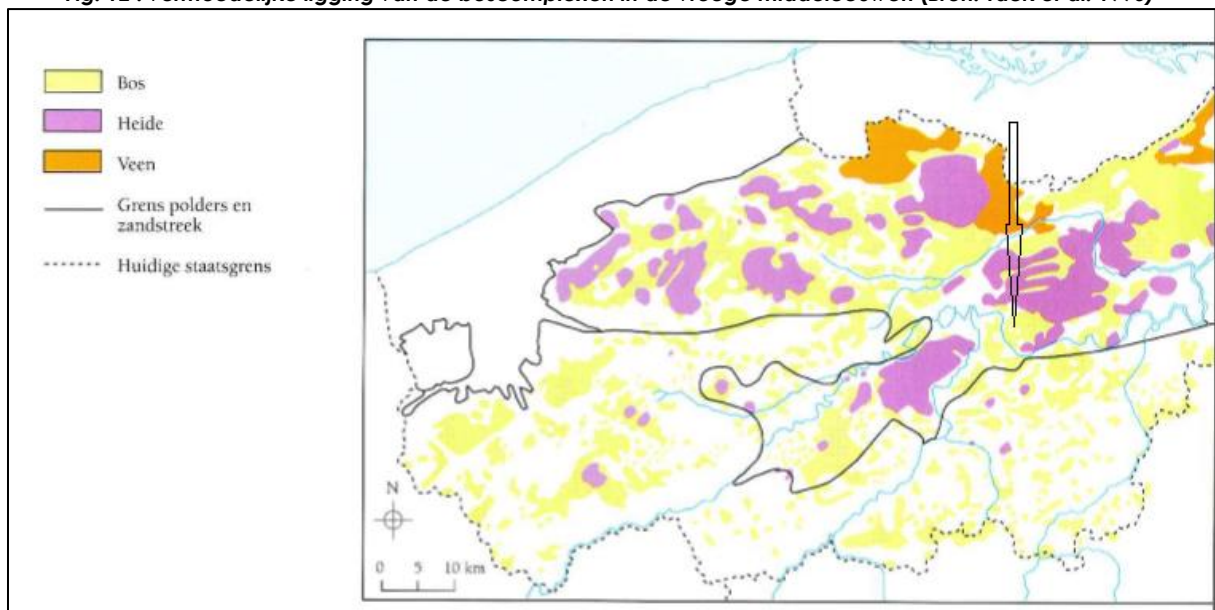


Fig. 13 : vermoedelijke ligging van de bos, heide en veen rond het jaar 1000 met aanduiding van het projectgebied (Bron: Tack et al. 1993)

Voor een gedetailleerde evolutie van een klein gebied zijn de overzichtskaarten (vb graafschap Vlaanderen), ouder dan de Kabinetskaart van Ferraris zelden nauwkeurig genoeg om te gebruiken. Algemeen wordt aangenomen dat het bosareaal tussen het begin van de Late Middeleeuwen en het einde van het *Ancien Régime* niet meer afgenomen is (Tack et al. 1993 en Verhulst 1995). Tussen het begin van de Late Middeleeuwen en het einde van het *Ancien Régime* hebben we sterke vermoedens betreffende bodemgebruik van een beperkt gebied. Als we verder in de tijd teruggaan, kunnen we alleen maar veronderstellen dat de algemene, vage kennis van een gebied betreffende bodemgebruik ook geldt voor het beperkte studiegebied.

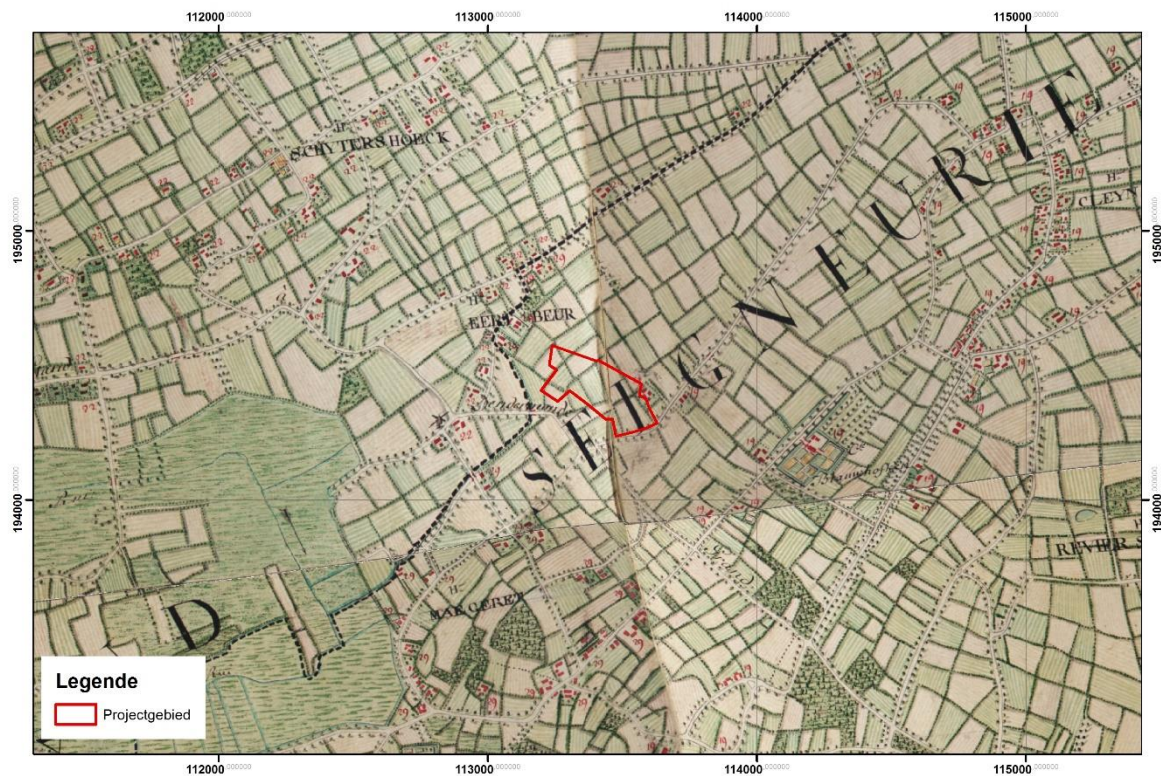
## De Vroege Middeleeuwen

Deze interpretatie is vooral gebaseerd op Tack *et al.* (1993) en Verhulst (1995). Het gebied tussen Schelde en Durme zou grotendeels bebost geweest zijn. Zie hiervoor ook fig 12.

## De Volle Middeleeuwen

Rond het jaar 1000 is het bos nog aanwezig. Pas in de 13<sup>e</sup> eeuw zou de ontginning van dit zuidelijk gedeelte van Lochristi op gang gekomen zijn. Het gebeurde onder impuls van de St.-Baafsabdij van Gent.

De Ferraris-kaart toont ons –buiten de Damvallei – een akkerlandschap en eerder blokvormige percelen (fig. 14). Vlak bij het projectgebied zijn er drie grote hoeves: de 'Kleine Belderik', de 'Grote Belderik' en de 'Grote Most'. Bepaalde constructies van deze laatste liggen misschien nog net binnen het studiegebied. Deze grote hoeves zijn pachthoeves en werden reeds vermeld in de 16<sup>e</sup> eeuw. Vermoedelijk gaan die terug tot de ontginning van het gebied in de volle middeleeuwen.



**Fig. 14: Ferraris-kaart (1770-1778) met projectgebied (Bron: [www.geopunt.be](http://www.geopunt.be))**

Op de kaart van Vandermaelen (fig. 16) bemerken we nog de walgrachten rond deze hoeven. Deze walgrachten zijn ook op de kaart van Popp mooi waar te nemen. Deze laatste kaart laat ons grote, blokvormige percelen zien dicht bij deze hoeven, terwijl die verderaf kleiner en/of smaller zijn (fig. 17).

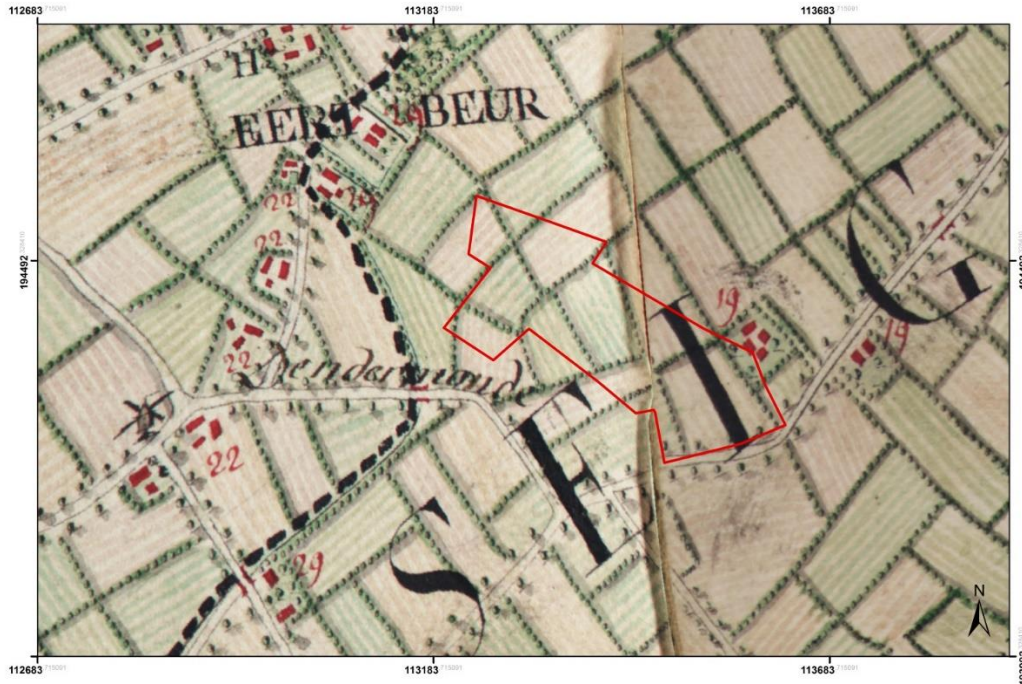


Fig. 15: detail kaart van Ferraris (1777) met projectgebied (Bron: [www.geopunt.be](http://www.geopunt.be))

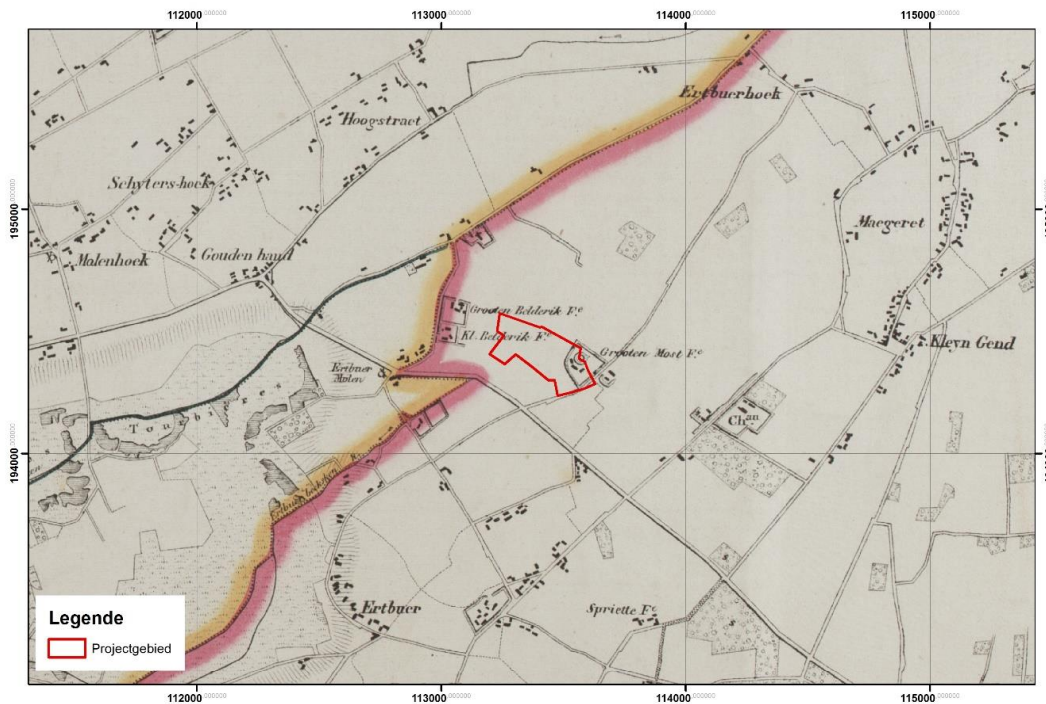


Fig. 16: kaart van Vandermaelen (1846-1854) met projectgebied (Bron: [www.geopunt.be](http://www.geopunt.be)).

Binnen het studiegebied, en op alle kaarten aanwezig, is één opvallende structuur en dit betreft het Goed ter Most, een site met walgracht.

Het "Goed ter Most" was een leen gehouden van het hof van Dendermonde gelegen op de wijk Ertbuur en waarvan de oudst bekende vermelding dagtekent van 1518. Genoemd naar het oud geslacht van der Most of naamgeving afkomstig van een oud toponiem (most = poel).

Volgens cartografische bronnen bevond zich in het oostelijk-deel van het onregelmatig omgracht erf een cirkelvormig perceel omgeven door een brede walgracht, de mote of het vroeger opperhof met kasteel. Deze staat afgebeeld op een kaart van F.B. Horenbault van 1583. Als site klimt deze hoogstwaarschijnlijk tot de late middeleeuwen op. Eind 16<sup>e</sup> en 17<sup>e</sup> eeuw was deze hoeve eigendom van de familie Utenhove (Lanclus et al. 1993).

De Moststraat (n° 12), Brandstraat (n° 12) en Reigerstraat (n° 8 en 18) zijn opgenomen in de atlas der buurtwegen. Buurtweg n° 44 loopt vanaf de Brandweg naar een het huidige ontginningsgebied. Deze weg is nog deels zichtbaar in het landschap als zogenaamde veldweg, maar is ook deels ontoegankelijk door de ontginningsvijver

In het zuidoosten loopt de Damsloot – Mostbeek (een geklasseerde waterloop van 3<sup>e</sup> categorie). De waterloop vormt gedeeltelijk de zuidelijke grens van het plangebied, in het zuidwesten kruist de Mostbeek het zuidoostelijk deel van het projectgebied (cfr supra).

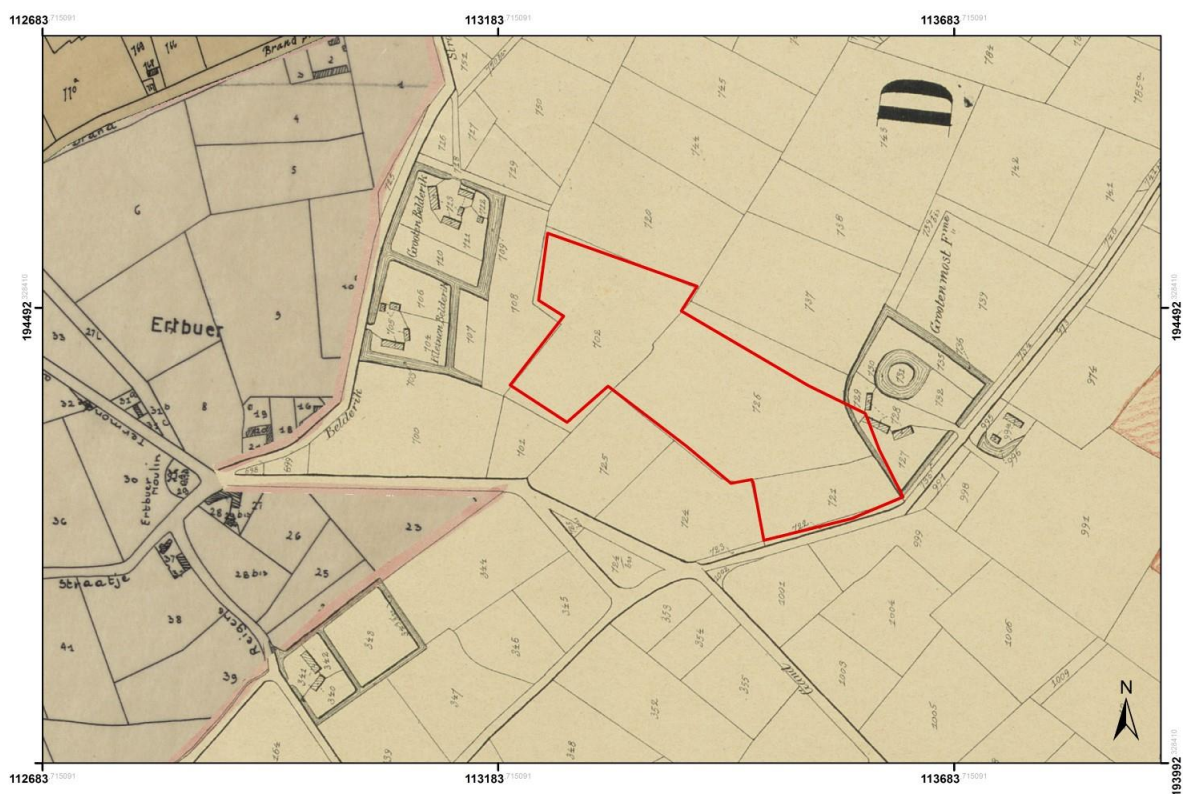
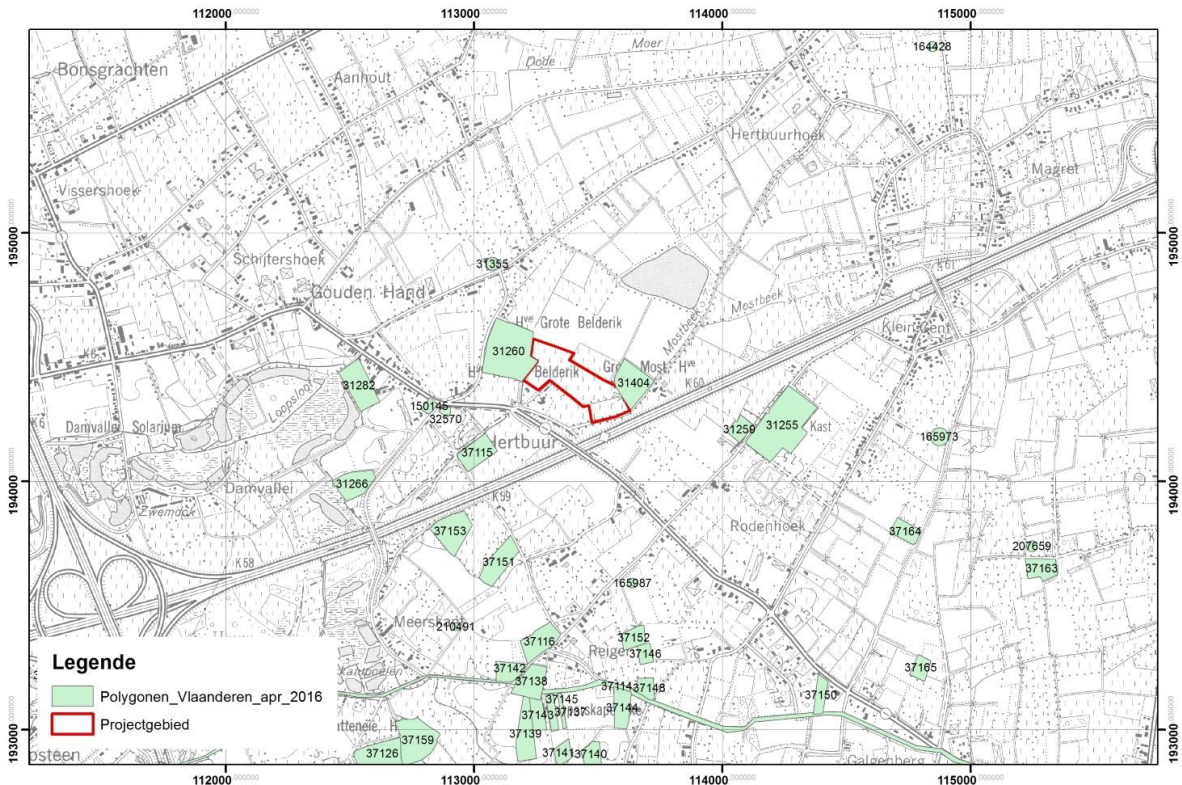


Fig. 17 : kadasterkaart van Popp (1842-1879) (Bron: www.geopunt.be).

## 6.2 Archeologisch

Figuur 18 geeft een overzicht van de gekende archeologische vindplaatsen die nabij het projectgebied werden aangetroffen. Deze kaart toont de vindplaatsen die omwille van opgravingscampagnes, veldprospecties, historisch- en luchtfotografisch onderzoek, of toevallsvondsten in de CAI (centraal archeologische inventaris) zijn terechtgekomen. De waarnemingen maken duidelijk dat in en nabij het projectgebied nog geen tot zeer weinig vondsten aan het licht zijn gekomen.



**Fig. 18: Locatie van archeologische vindplaatsen binnen een straal van 3 km van het projectgebied (Bron: www.geopunt.be)**

Onmiddellijk grenzend en in de omgeving van het plangebied zijn onderstaande vindplaatsen opgenomen:

- 31404 : Goed ter Most, site met walgracht, Late Middeleeuwen.
- 31260: Belderikhoeve, site met walgracht, 16<sup>e</sup> eeuw. Losse vondsten, voornamelijk aardewerk uit de laat middeleeuwse periode
- 31355: Goed ter Jacht, hoeve, Late Middeleeuwen;
- 32570: Molen Liefkensberge, Zogenaamde "molen te Liefkensberge", 17<sup>e</sup> eeuw
- 37115: Hertbuur, site met walgracht, Late Middeleeuwen
- 31259: Polfiethoeve, site met walgracht, Late Middeleeuwen

Op een terrein op het einde van de Koning Albertlaan, vlakbij de kerk van Hijfte (ten NW van Lochristi), is tijdens een proefsleuvenonderzoek in maart 2014 door ADEDE een Romeins crematiegraf aangetroffen. De vondst gebeurde op het terrein waar Lo-Immo de inplanting

van 16 woningen voorziet (De Smaele et al. 2014). Het bevindt zich in vogelvlucht op 5,6 km van het projectgebied.

Aan het Vaardeken in Zaffelare (vlakbij de Koedreef) werd voor de aanleg van 88 wooneenheden door de sociale huisvestingsmaatschappij Volkshaard uit Gent een proefsleuvenonderzoek uitgevoerd door All Archeo. Na positieve evaluatie werd een terrein van 3600 m<sup>2</sup> verder onderzocht door middel van een vlakdekkende opgraving. In augustus 2010 werden een 160tal sporen aangesneden waarvan het merendeel natuurlijk bleken te zijn. De overige betreffen een aantal greppels en een waterkuil die in de 1<sup>e</sup> helft van de 14<sup>e</sup> tot 2<sup>e</sup> helft van de 15<sup>e</sup> eeuw kunnen gedateerd worden. De sporen zijn off-site fenomenen van bewoning die zich buiten het onderzoeksgebied bevond (Verdegem et al. 2010). De site situeert zich op een kleine 9 km ten NO van het projectgebied.

In de Nieuwstraat te Lochristi werd voorafgaand aan de bouw van 53 loten een prospectie uitgevoerd door BAAC. Deze bleek echter op een vermoedelijk laat middeleeuwse gracht en een paar vroeg moderne tot recente sporen na (serrebouw) niets op te leveren (Janssens et al. 2013).

In de ruimere omgeving kent het gebied een zeer rijke geschiedenis met onder meer de sites Destelbergen-Eenbeekeinde en Oostakker-Eekhouthdriesstraat.

## **7. Tijds kader**

---

Het veldwerk ging van start op dinsdag 24 mei in het uiterste zuidwesten van het projectgebied. Er werd geleidelijk opgeschoven naar het zuidoosten. Op 31 mei werd het veldwerk met betrekking tot het proefsleuvenonderzoek beëindigd in het zuidoosten van het gebied, aan de hoeve grenzend met de Moststraat. Het dichten en verdichten van de sleuven werd op 30 mei gestart en werd eind die week vervolledigd.

De rapportage ging van start op 1 juni en werd beëindigd op 8 juni.

## 8. Methodologie

Het proefsleuvenonderzoek werd, zoals voorgeschreven, uitgevoerd door middel van parallelle, continue sleuven met een tussenafstand van 15 m as op as. Ze werden uitgegraven door een kraan met tandenloze bak van 2 m breed (fig. 19).



*Fig. 19 : fotografische opname van de aanleg van een sleuf*



*Fig. 20 : fotografische opname van de aanleg van een kijkvenster op spoor 30 en 31*



Alle sporen en vondsten werden genoteerd en op schaal 1/50<sup>e</sup> ingetekend op sleuffiches en via een tablet-pc ingevoerd in een database. Ook eventuele verschillen in bodemtype werden zorgvuldig geregistreerd. De sporen werden tevens manueel opgeschaafd en gefotografeerd. Enkele sporen werden gecoupeerd om tot een betere interpretatie te komen naar datering en bewaring toe van de sporen in kwestie. De contouren en dieptes van de sleuven alsook de sporen werden ingemeten met een dGPS (Trimble R4 met TSC3 controller). De proefsleuven werden waar nodig aangevuld met enkele kijkvensters om tot een goed inzicht te komen van de onderlinge samenhang tussen en de interpretatie van de sporen (fig. 20).

In elke sleuf werden een aantal kleine bodemkundige profielen gemaakt. Deze werden gefotografeerd en de bodemlagen geregistreerd op de sleuffiches. Tijdens de verwerking werd een digitaal archief aangelegd. Op basis van de opmetingen van de landmeter en de veldtekeningen werden een digitaal grondplan samengesteld. Alle foto's werden geordend en benoemd, de vondsten werden gewassen, gedetermineerd en gefotografeerd. Alle vereiste lijsten werden opgesteld en zijn terug te vinden in het digitaal archief op DVD.

Door de goeie zichtbaarheid op de dichtheid van de sporen verspreid over de sleuven werd geopteerd om geen al te grote kijkvensters aan te leggen. Waar nodig werden wel kleine kijkvensters/sleufuitbreidingen aangelegd om de interpretatie van de sporen te optimaliseren.

Van het projectgebied van 7 ha kon ca. 5,998 ha onderzocht worden door middel van proefsleuven.

In totaal werden er 40 proefsleuven (SL 1 tem 40) gegraven. Hierin werden 149 sporen aangetroffen. Twee stukken vallen weg uit het projectgebied. Het grootste stuk in het noordoosten omvat 7718 m<sup>2</sup>. Dit stuk was reeds onderhevig geweest aan graafwerkzaamheden. Het kleinere stuk tegen de hoeve kon niet gesleufd worden door de aanwezigheid van nog bestaande bebouwing. Het omvat een grootte van 1407 m<sup>2</sup>. Samen zijn beide stukken goed voor 0,91 ha die niet kon gesleufd worden (fig. 21).

In combinatie met de kijkvensters werd er 9227,16 m<sup>2</sup> opengelegd en onderzocht (15 % van de 5,998 ha).

## 9. Resultaten

### 9.1 Algemeen

Verspreid over het terrein kwamen sporen en materiaal aan het licht die in de metaaltijden, vol-laat middeleeuwse tijd (13-14<sup>e</sup> eeuw), post-middeleeuwse /vroeg moderne periode (17-18<sup>e</sup> eeuw) en nieuwste tijden (19-20<sup>e</sup> eeuw) gedateerd kunnen worden.

### 9.2 Bodemkunde (Jari Mikkelsen)

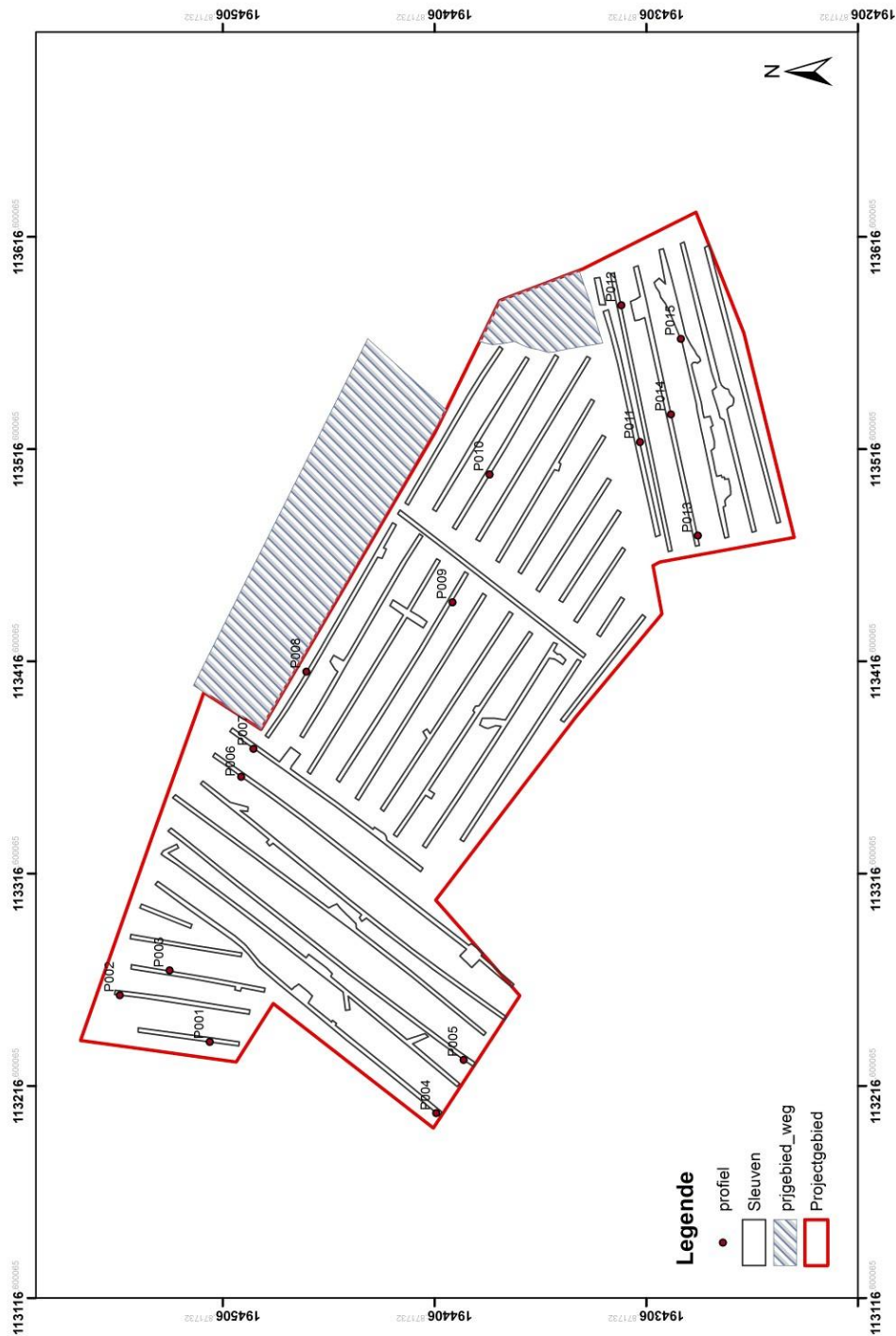


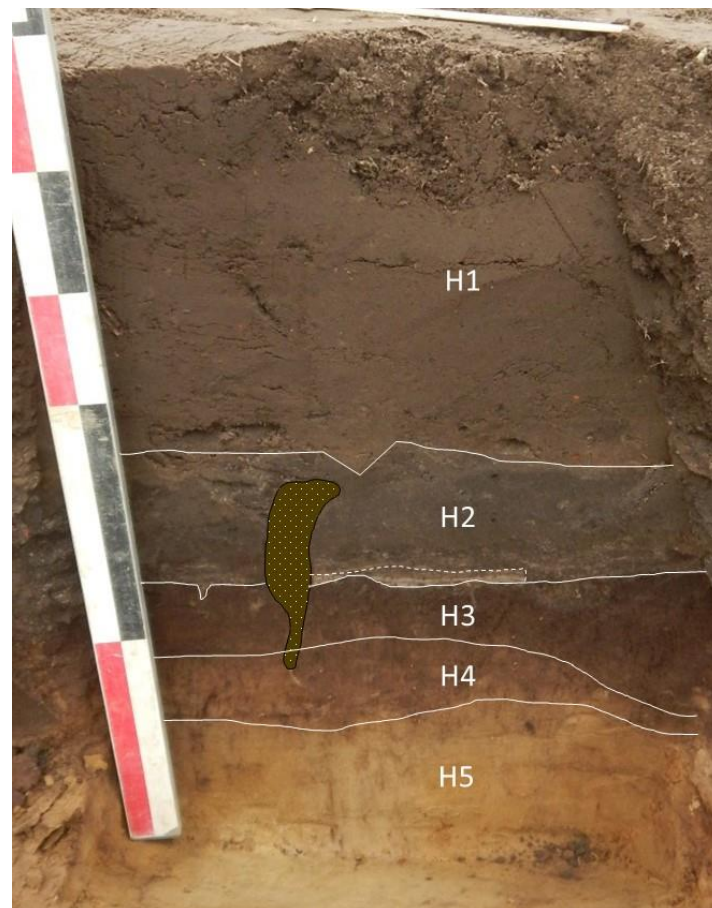
Fig. 21 : grondplan met sleuven en de profielen

Tijdens het onderzoek werden meerdere bodemprofielen gezet en geregistreerd (P1 tem P15). Tijdens het onderzoek werden voornamelijk matig natte tot matig droge lichte zandleem- tot zandgronden aangetroffen. Dit komt overeen met de textuur aangeduid op de bodemkaarten (<http://geovlaanderen.agiv.be>).

De best bewaarde bodem is profiel P8 in sleuf 13. Dit is dan ook de reden waarom deze bodem eerst zal besproken worden. De overige profielen volgen daarnaar en worden vergeleken met het referentieprofiel.

### **Sleuf 13, profiel P8**

Profiel 8 is gelegen in sleuf 13 en bestaat uit 5 horizonten. H1 is een homogeen humusrijke ploeglaag (Ap). H2 is een tweede ploeglaag, eveneens humusrijk en met een grijsbruine kleur. H3 is een humusrijke Bh horizon net als H4 die weliswaar een iets kleinere concentratie aan humus bevat. H5 is het moedermateriaal.



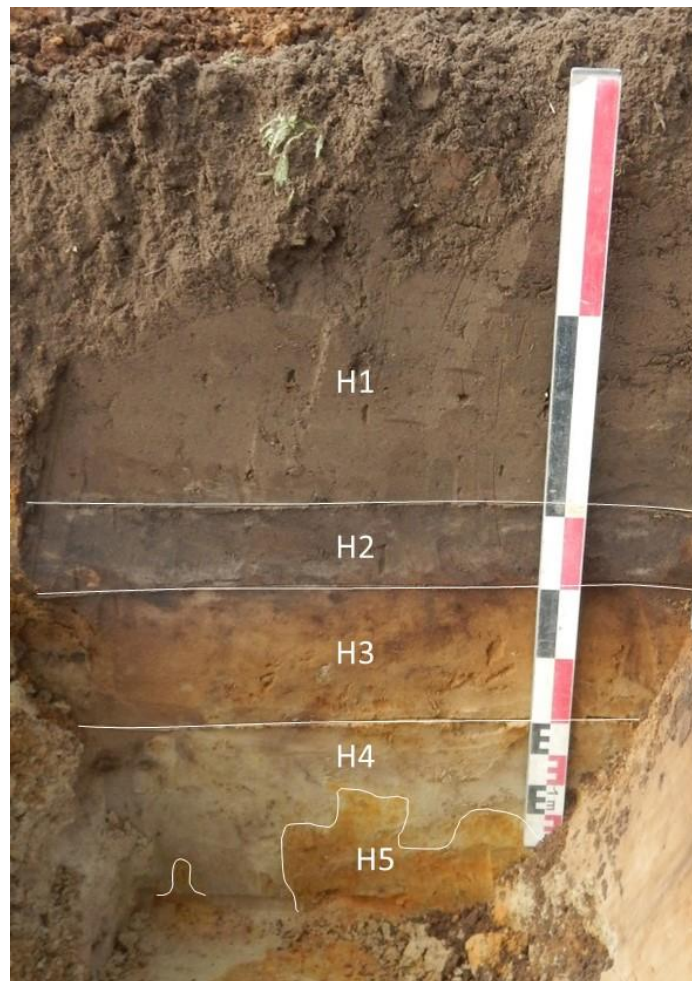
**Fig. 22: fotografische opname van profiel 8 in sleuf 13**

De bovenste ploeglaag is ongeveer 30cm dik wat normaal is. De tweede ploeglaag bevat op de grens met H3 een zone met uitgesproken horizontale sedimentatie van bleke en donkerde lagen. Dergelijke sedimentaire sporen kunnen het resultaat zijn van beddenbouw. Bij een dergelijk systeem worden bedden van ongeveer 2 m breed door een sleuf onderbroken. In deze sleuf zal er in de loop van de zomer een sortering gebeurd van humus en zand in zwarte en bleke lagen onder invloed van regen. Elke jaar worden de sleuven opnieuw in begin van het seizoen aangelegd. De sleuven zullen dus van plaats veranderen. Vermoedelijk kan dat verklaren waarom de bleke zone met gestratificeerd sediment zo abrupt eindigt.

De B-horizont is vrij goed ontwikkeld en waarschijnlijk bijna volledig intact, hoewel het niet kan uitgesloten dat deze voor een klein deel in de ploeglaag is opgenomen. In desbetreffend geval is dat in de grootorder van 3-5cm dat verdwenen is. De bodem is goed gedraineerd, maar het mag verwacht worden dat oxido-reductie van het moedermateriaal zoals in de volgende profiel ook hier aanwezig is zouden wij de bodem dieper uitgraven.

### **Sleuf 26, profiel P10**

De ploeglaag (H1: Ap, 0-50cm) is vrij dik aangezien er geen onderverdeling zichtbaar is. H2 is een humusrijke begraven Ap horizont waar er zones zijn met bleker zand. De ondergrens is vrij scherp en horizontaal. H3 is de restant van een origineel dikker gekleurde Bw horizont. H4 is een C-horizont waar door een fluctuerend watertafel het ijzer grotendeels is uitgeloozd. Het ijzer vinden wij terug onder andere in H5. H5 is een tweede C-horizont.



**Fig. 23: fotografische opname van profiel 10 in sleuf 26**

### **Interpretatie:**

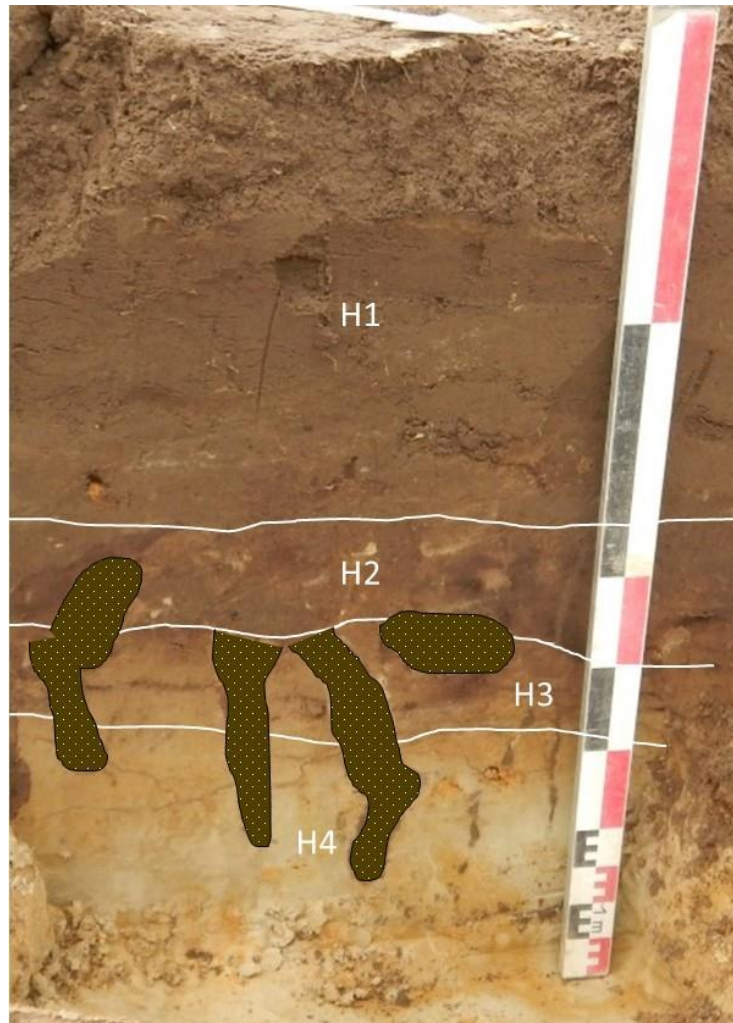
De originele bodemontwikkeling is grotendeels in de twee bewerkingslagen (H1-2) opgenomen. Waarschijnlijk bestond de originele bodem uit een relatieve dunne humusrijke horizont van ruwweg 10cm dikte. Hieronder vonden wij waarschijnlijk een humusrijke kleur B-horizont van in de grootorder van 15-20cm dikte. De onderkant van deze horizont vinden wij terug in de bovenste centimeters van H3.

Indien deze vzeronderstellingen correct zijn dan is de huidige bodem met ongeveer 25cm opgehoogd. Verder is de bodem ook diep bewerkt. De witte zandfractie in H2 doet vermoeden dat er sprake is van beddenbouw.

De originele bodem was relatief goed gedraineerd, waarschijnlijk drainageklasse C (matig nat).

### **Sleuf 15, profiel P9**

Profiel 9 is gelegen in sleuf 15 en bestaat uit 4 horizonten. H1 is de huidige ploeglaag met daaronder een heterogene bewerkingshorizont. H3 is de onderkant van een B-horizont en H4 is het moedermateriaal.



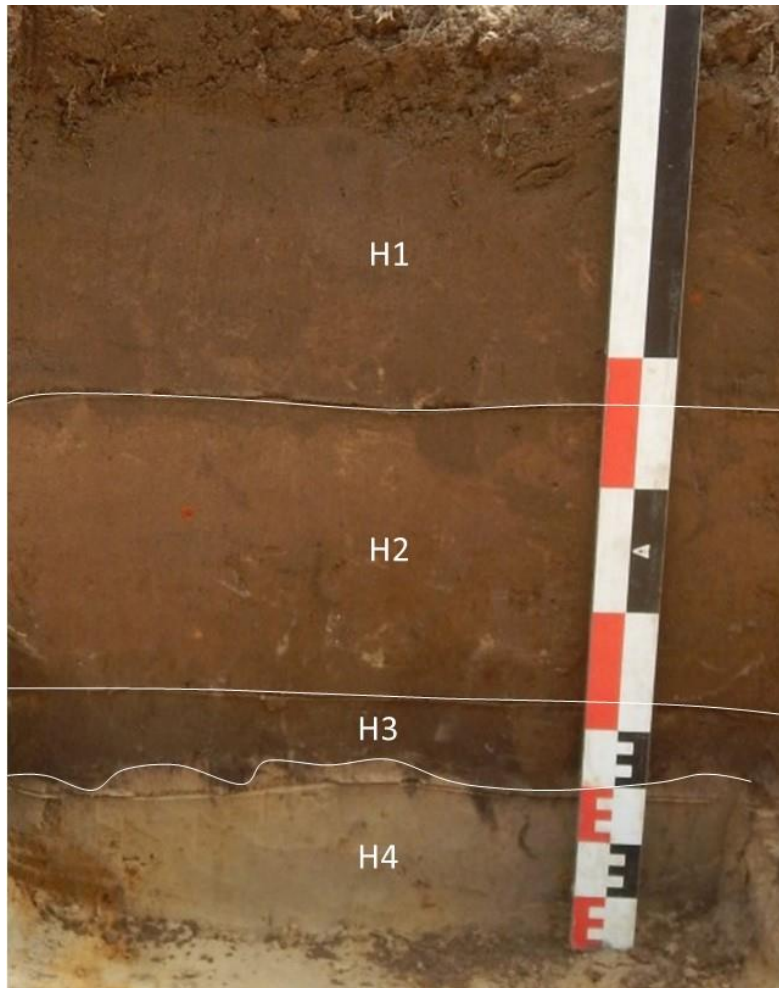
**Fig. 24: fotografische opname van profiel 9 in sleuf 15**

### **Interpretatie:**

De tweede ploeglaag lijkt niet op die van de voorgaande twee profielen (P8 en P10). Er is geen sprake van sortering in horizontale bandjes van humusrijk en humusarm materiaal. Er is eerder sprake van ompsitten of verstoring waardoor er blokken van verschillend materiaal zichtbaar is. Door diep bewerken van de grond is de meeste van de originele pedogenese verdwenen. Ondiepe archeologische sporen zullen hier ook verdwenen zijn.

### **Sleuf 37, profiel P14**

Het 14<sup>de</sup> profiel bestudeerd in sleuf 37 bestaat uit 4 horizonten. H1 en H2 zijn homogene ploeglagen. H3 is een humusrijke begraven derde ploeglaag (Ap3). H4 is het voor ijzer uitgeloopte moeder materiaal.



**Fig. 25: fotografische opname van profiel 14 in sleuf 37**

#### **Interpretatie:**

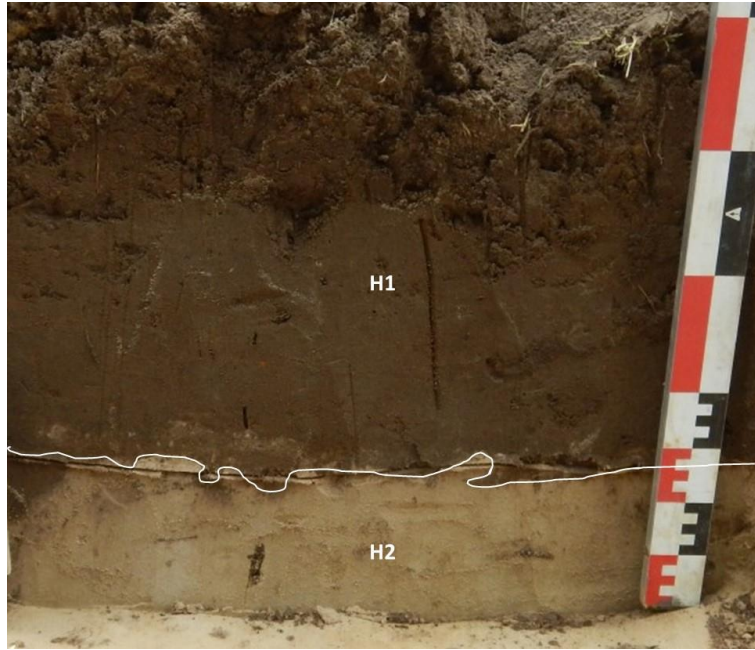
Tezamen zijn de 3 ploeglagen ongeveer 50-55cm dik, en toch is de bodem waarschijnlijk niet opgehoogd. In plaats werd de bodem diep bewerkt waardoor de originele bodemontwikkeling compleet verdwenen is. Matig diepe en diepe archeologische sporen zullen nog aanwezig zijn maar eventuele ondiepe sporen zijn in de bewerkingslagen opgenomen.

### **Sleuf 38, profiel P12**

P12 is gelegen in sleuf 38 en bestaat uit een ploeglaag met hieronder direct de C horizont zonder enige sporen van bodemgenese.

#### **Interpretatie:**

Alle sporen van bodemgenese zijn in deze bodem verdwenen. Een vrij jonge erosiebodem van het type A-C is wat overblijft. Mogelijk is de bodem hier afgegraven of is ze blootgesteld aan zwaar colluviaal erosie. Door het gebrek aan bodem genetische kenmerken is het onmogelijk om een schatting te maken van hoeveel de bodem is geërodeerd. Mogelijks zullen diepe archeologische sporen nog zichtbaar zijn onderaan de ploeglaag.



**Fig. 26: fotografische opname van profiel 12 in sleuf 38**

### 9.3 Archeologisch

Verspreid over het projectgebied kwamen sporen (SP 1 – SP 149) en vondsten aan het licht die in de metaaltijden, volle naar laat middeleeuwse periode (13<sup>e</sup>-14<sup>e</sup> eeuw), de post middeleeuwse/ vroeg moderne periode (1600-1800 n.Chr) en nieuwste tijden (19-20<sup>e</sup> eeuw) gedateerd kunnen worden (fig. 27). Daarnaast werden ook een hoog aantal natuurlijke sporen (bv. windval) geregistreerd.

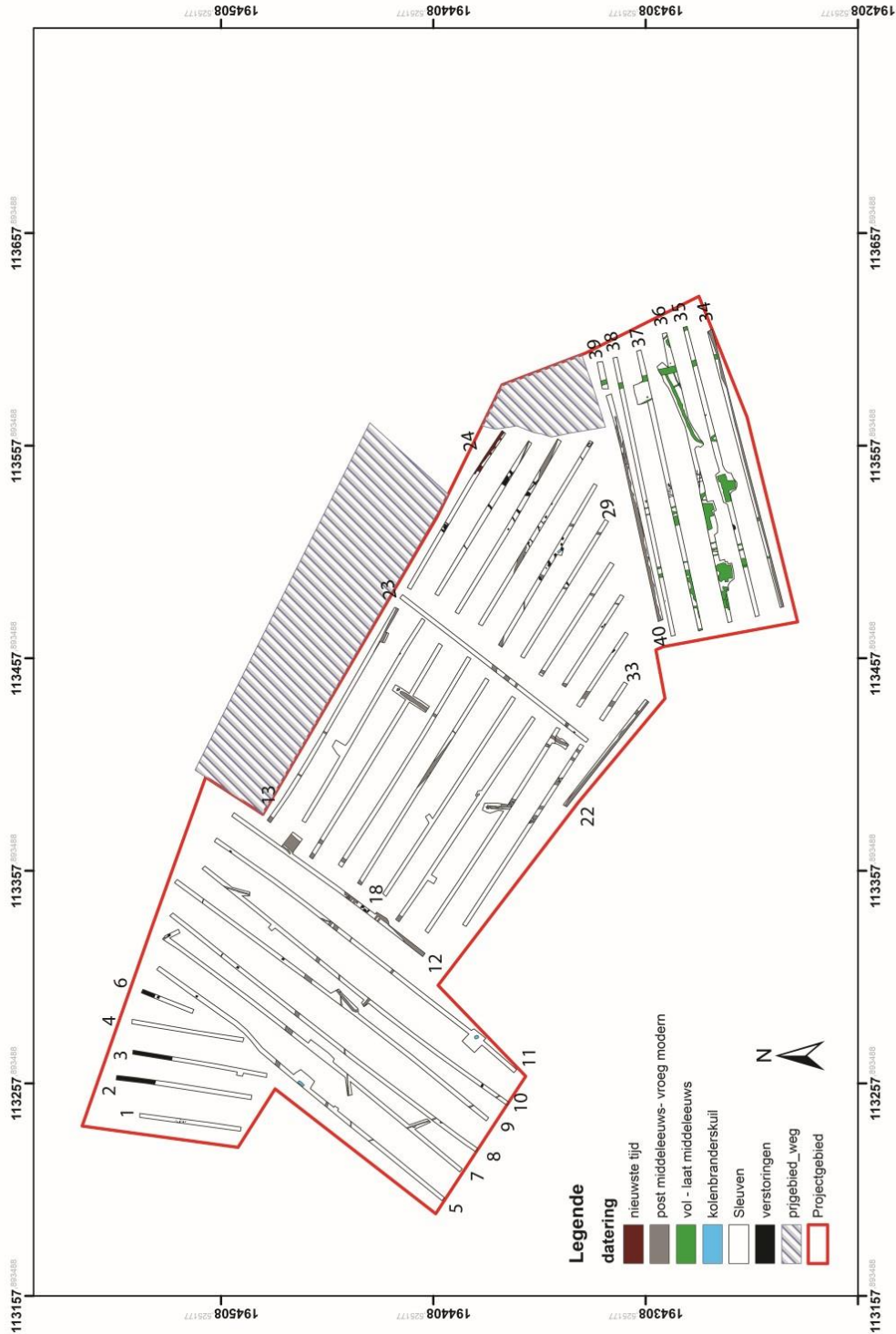


Fig. 27: grondplan met sleufnummers



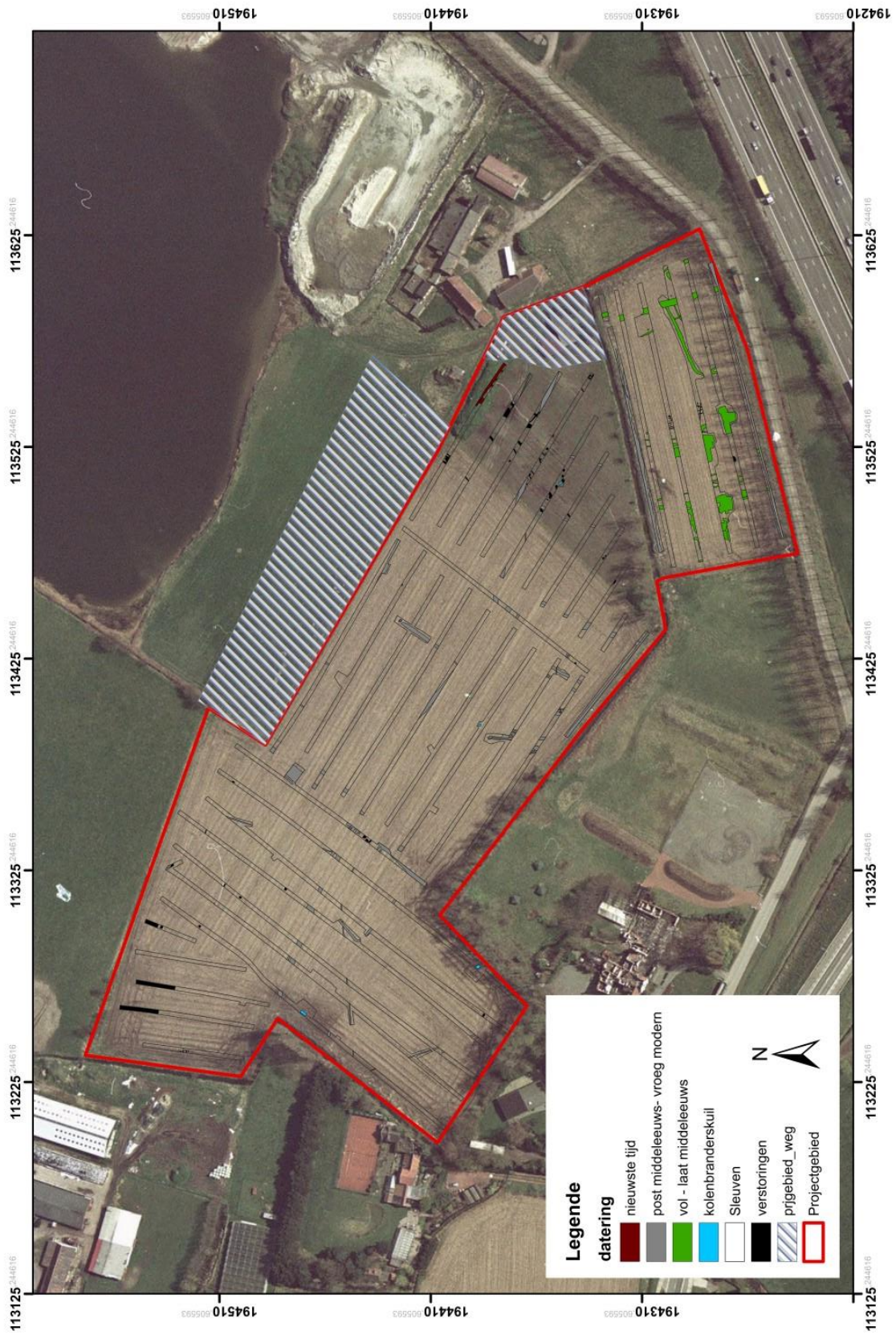


Fig. 28: grondplan met projectie op orthokaart

### 9.3.1 Natuurlijke sporen

Verspreid over het volledige projectgebied werden allerhande sporen van natuurlijke aard zoals windvallen en bioturbatiesporen (wortelgangen, mollen, wormen) aangesneden.

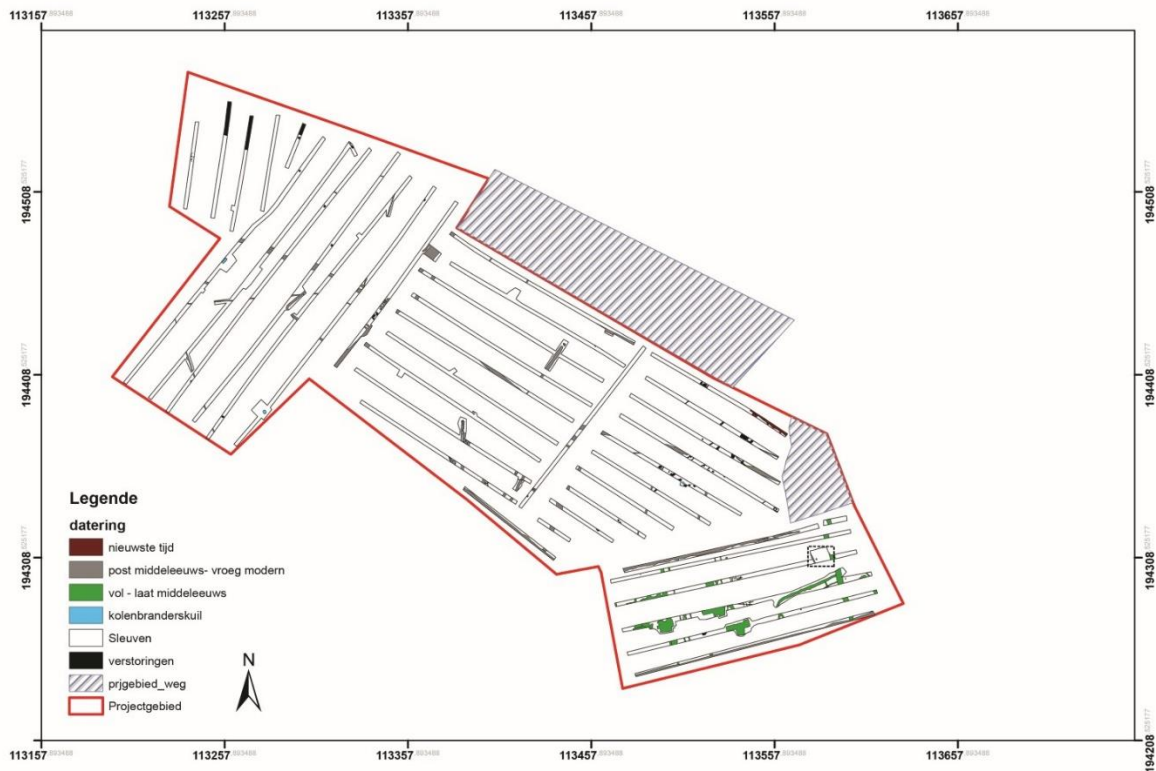


Fig. 29: grondplan met aanduiding van het kijkvenster in sleuf 37 (rechtsonder)



Fig. 30: fotografische opname van het kijkvenster in sleuf 37



Fig. 31 : fotografische opname van het aardewerk uit de windval (thv spoor 137 in sleuf 37)

In één van die windvallen ter hoogte van spoor 137 in sleuf 37 werden geclusterd een 20-tal sterk verweerde handgevormde aardewerkfragmenten aangetroffen (fig. 30). Bij de aanleg van een kijkvenster werden geen extra scherven en/of sporen meer bemerkt. Het betreft allemaal wandscherven met een versiering door middel van vingernagelindrukken (fig. 31). Opvallend is de zeer sterke verwerking en broosheid van de scherven wat doet vermoeden dat deze geruime tijd aan het oppervlak heeft gelegen. Op basis van het baksel en de versiering kan een voorzichtige datering in de ijzertijd naar voren worden geschoven.

### 9.3.2 Ongedateerd

Een groot aantal sporen over het projectgebied leverde geen vondsten op. Op basis van hun ligging, doorlopen in meerdere sleuven, relatie met andere sporen en hun textuur kon het overgrote merendeel toegekend worden aan de vroeg moderne periode. Een deel echter kreeg de label 'ongekend'. Het gaat hier om een aantal kuilen. Hun vulling en textuur geeft hen een significante ouderdom maar meer kan er niet over gezegd worden. Ook al is hun ouderdom voorlopig niet gekend toch zijn ze een onderdeel van de site en worden ze hieronder kort besproken.

Een speciale categorie van (ongedateerde) sporen is deze van de houtskoolmeilers/kolenbranderskuilen (*earth kiln*). Houtskoolmeilers zijn productieplekken voor houtskool, een materiaal dat bijvoorbeeld in grote hoeveelheden nodig was voor o.a. de ijzerproductie. Het opgestapelde hout brandde af van binnenuit tot er enkel smeulend houtskool overbleef. Houtskool reduceert het ijzeroxide in het erts tot het gewenste metallische ijzer (Groenewoudt et al. 2007). Dergelijke kuilen komen veelvuldig voor bij opgravingen. Telkens is er de afwezigheid van vondstmateriaal om deze structuren te gaan dateren en is er de noodzakelijkheid van een houtskooldatering ( $^{14}\text{C}$ ). Bij vele proefsleufonderzoeken en opgravingen in rurale gebieden worden deze structuren met regelmaat aangetroffen. We vermelden hier als voorbeeld de Zandberg te Ingelmuister (Hantson 2010), Rieme-Noord (Laloo 2009), Kluzendok (Laloo et al. 2009) de Bietstraat in Roeselare (Reniere et al. 2012) en het nieuwe H.-Hartziekenhuis in Oekene (Horne et al. 2011). De restanten van de meilers in

Evergem werden onderworpen aan een natuurwetenschappelijk onderzoek waarbij uit <sup>14</sup>C onderzoek bleek dat ze tussen 965 +/- 25 BP en 1005 +/- 25 BP konden gedateerd worden. Na anthracologisch onderzoek bleek dat voornamelijk eik was gebruikt (Deforce & Boeren 2009). Hollevoet en Van Roeyen (1992) beschrijven in hun verslag de vondst van een aantal meilers in Sint-Gillis-Waas die een datering opleverden van 1015 +/- 40BP. Over de soortensamenstelling kon echter niets verteld worden (Hollevoet et al. 1992).

<sup>14</sup>C dateringen op de vulling van de twee aangetroffen houtskoolmeilers van Roeselare Bietstraat leverden een datering op in de Romeinse periode (rond 0 n.Chr) (pers. comm. Willem Hantson).

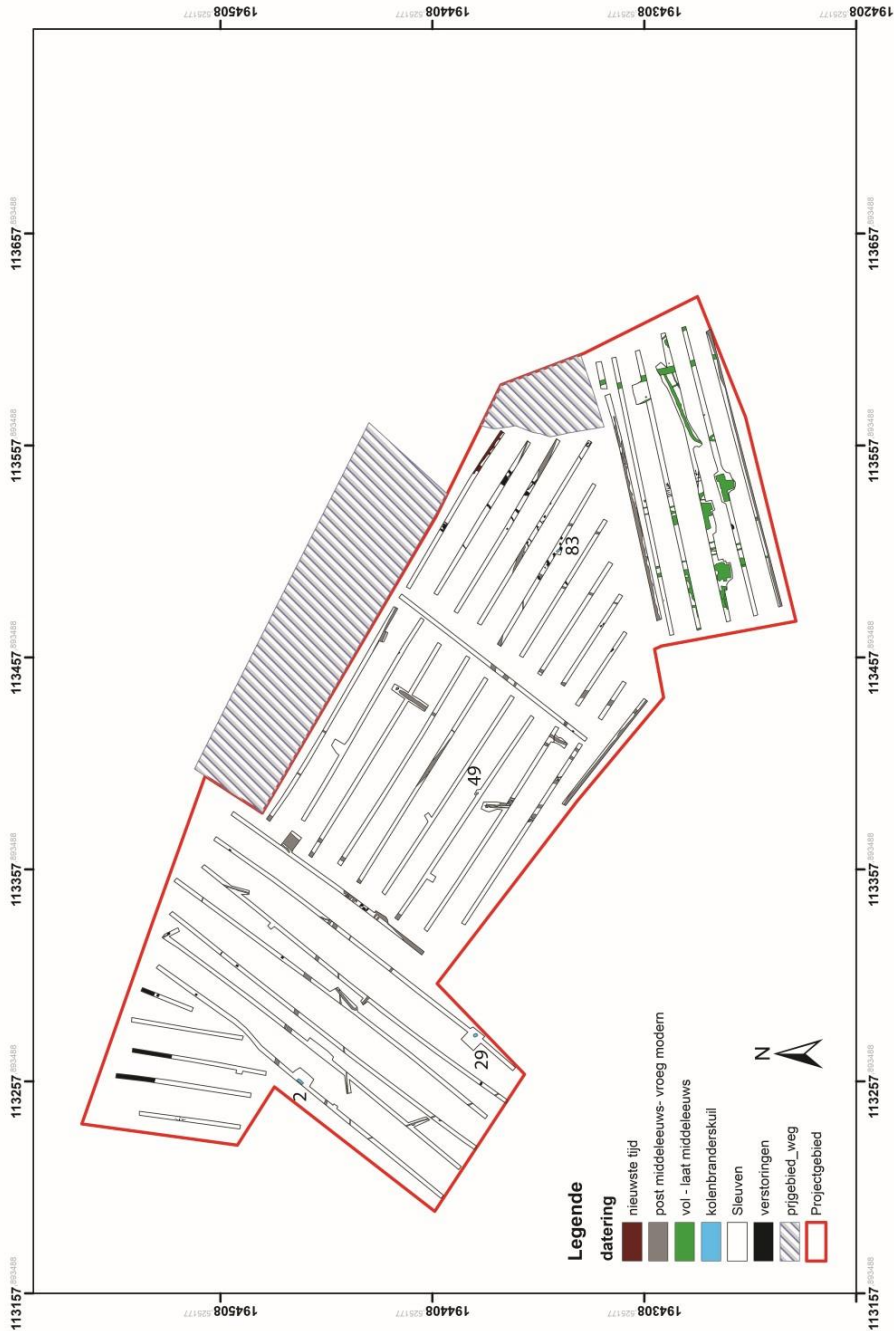


Fig. 32 : grondplan met aanduiding van de vier kolenbranderskuilen (sporen 2, 29, 49 en 83)

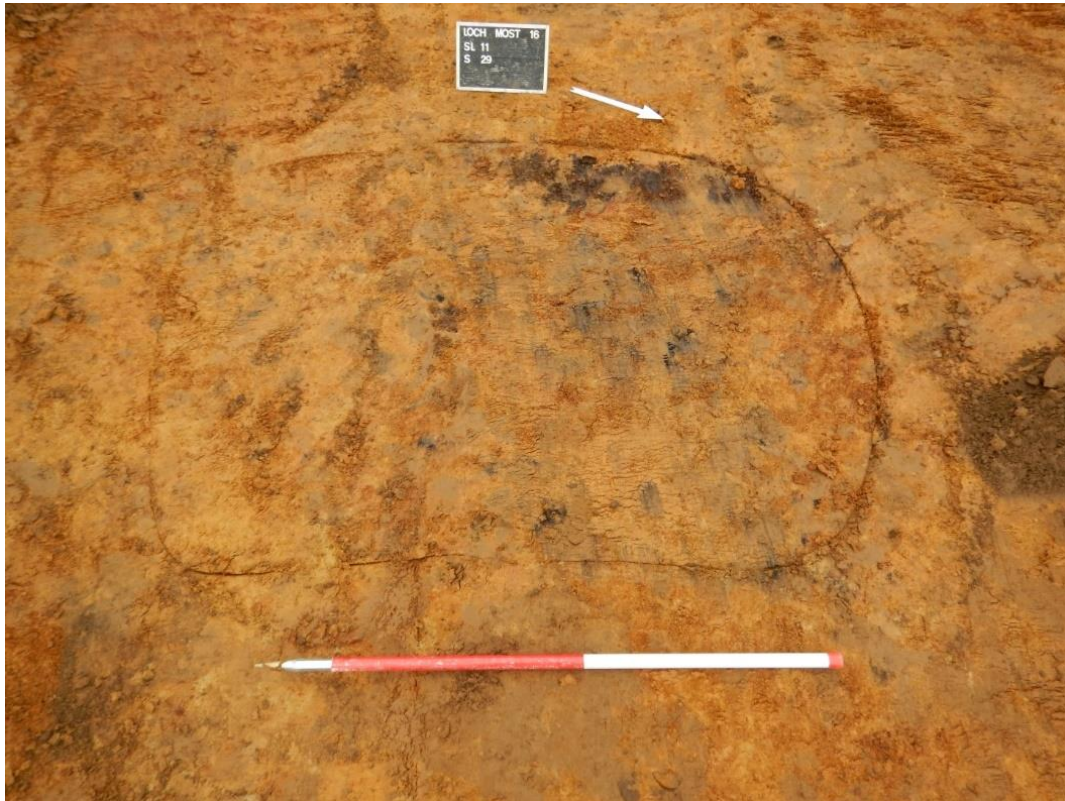
In totaal werden verspreid over het projectgebied vier houtskoolmeilers ( SP 5 (SL2), SP 29 (SL11), SP 49 (SL19), SP83 (SL 28) )aangetroffen (tabel) (fig. 32). De constante bij deze categorie van sporen (in het projectgebied) is de sterke houtskoolrijke vulling, hun (licht) rechthoekige vorm, de fijne rand van verbrande moederbodem (maar het kan ook gaan om een natuurlijk migratieproces van ijzermineralen in de bodem) en het afwezig zijn van vondsten in hun vulling. Qua formaat zien we vooral de normale rechthoekige vorm van 3/1,3 m lengte op  $\pm 1$  m breedte. Slechts één meiler (spoor2) is met zijn 3 meter lengte afwijkend van de rest (fig. 33). Hoewel er toch een lichte variatie is in de aanleg zien we een lichte voorkeur voor de NO-ZW en NW-ZO oriëntatie. Alle vier de meilers werden voor verdere interpretaties gecoupeerd. In doorsnede ging de komvorm van 0,36 m (SP2) tot 0,5 m (SP 29) diep (fig. 34 tem fig. 39). Op de bodem bevond zich een fijne houtskoolvulling met duidelijke indicaties van verhitting ter plaatse. De kuilen duiden op de onmiddellijke aanwezigheid van een bos tijdens een bepaalde periode in het gebruik van de gronden in (en nabij) het projectgebied.



**Fig. 33 : fotografische opname van spoor 2 in sleuf 5**



**Fig. 34 : fotografische opname van de dwarsdoorsnede op spoor 2 in sleuf 5**



**Fig. 35 : fotografische opname van spoor 29 in sleuf 11**



**Fig. 36 : fotografische opname van spoor 49 in sleuf 19**



**Fig. 37 : fotografische opname van de dwarsdoorsnede op spoor 49 in sleuf 19**



**Fig. 38 : fotografische opname van spoor 83 in sleuf 28**



**Fig. 39 : fotografische opname van spoor 83 in sleuf 28**



### 9.3.3 Vol middeleeuwse - Laat middeleeuwse periode (13-14<sup>e</sup> eeuws)

In het projectgebied zijn sporen aangetroffen die zich op de overgang van de volle- en de late middeleeuwen bevinden. (fig. 40). Op basis van het aangetroffen materiaal kan de opvulling van de sporen in de 13<sup>e</sup>-14<sup>e</sup> eeuw geplaatst worden.

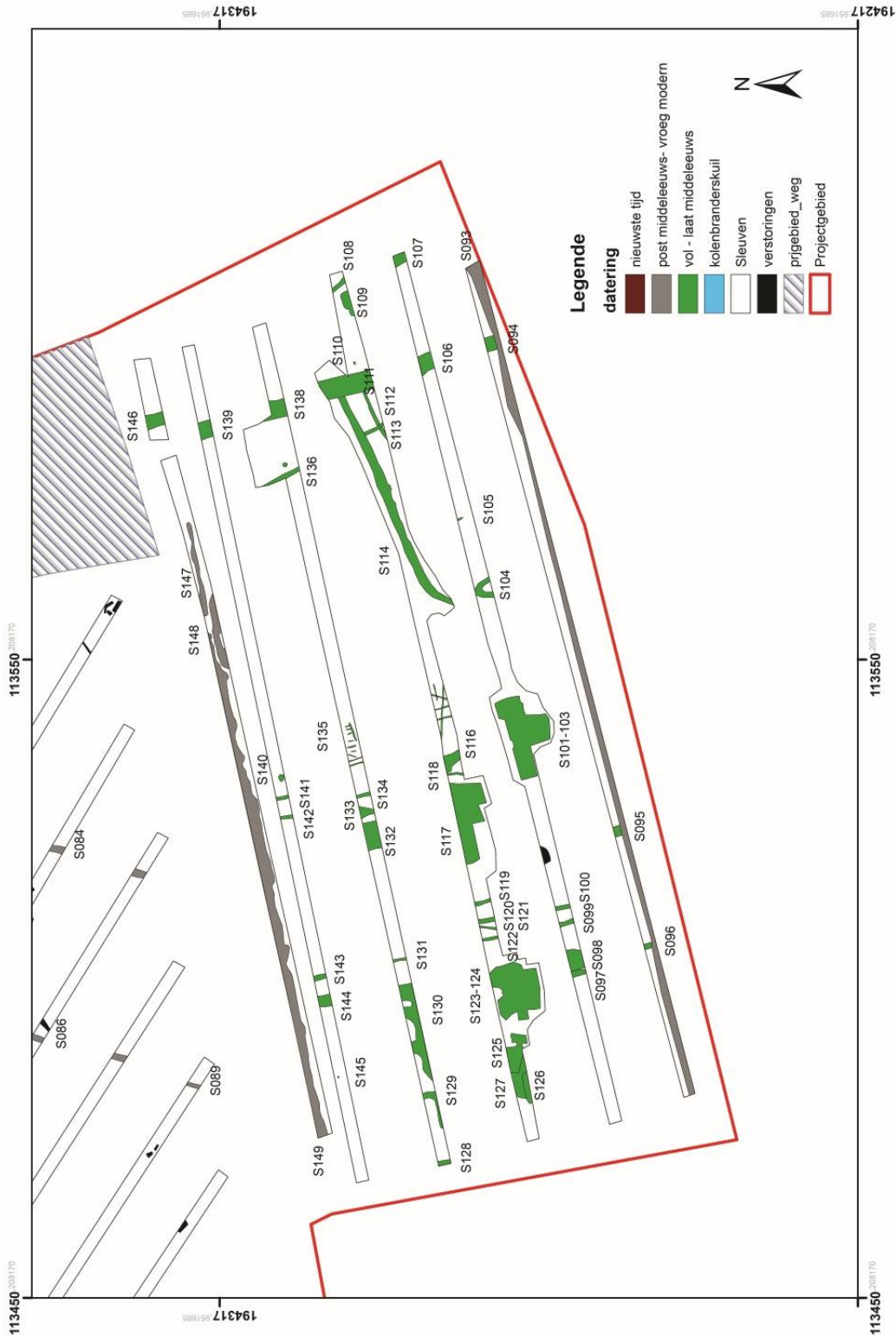


Fig. 40 : detail grondplan van sleuven 34 tem 40 (tegen de Moststraat)

Ruimtelijk kan er slechts één zone aangeduid worden. Tussen sleuven 34 tem 40, grenzend aan de Mosthoeve en de Moststraat, werden een aantal sporen uit deze periode aangetroffen (fig.40). Gezien de relatief lage densiteit, de weinige duidelijke bewoningssporen en beperkte vondstenhoeveelheid werd besloten om via kijkvensters en volgsleuven deze sporen verder in kaart te brengen tijdens het proefsleuvenonderzoek.

Zowel in sleuf 34 (spoor 93) als 40 (spoor 143) zien we in het verlengde van de sleuf indicaties van de vroegere breedte van de perceelsgrachten, beiden nog zichtbaar in het landschap. Ze oversnijden alle overige aanwezige sporen en kunnen op basis van hun textuur, morfologie en vondsten in de 17<sup>e</sup>-19<sup>e</sup> eeuw geplaatst worden.

In sleuf 34 werden verspreid over de sleuf drie noord-zuid georiënteerde erfgrachten aangesneden. Deze 1,5/1,6 m brede sporen (SP 94, 95 & 96) met homogeen donkerbruingrijze zandige vulling gaan deze zone verder gaan indelen. Slechts de meest oostelijke van de drie kan over deze volledige zone gevolgd worden tot in sleuf 40 (sporen 94, 106, 111, 138, 139, 146) (fig. 40).



**Fig. 41 : fotografische opname van spoor 114 in sleuf 36**

Aansluitend hierop zien we de 1,25 m brede gracht 114 die over een afstand van 36 m kon gevolgd worden vooraleer een bocht te maken van 90 ° en aan te sluiten op spoor 104 in sleuf 35 (fig. 41). In de vijf doorsnedes (coupes A tem E) bleek de heterogeen donkerbruingrijze gracht een komvormige doorsnede te hebben met een maximaal bewaarde diepte van 0,57 m (fig. 42 & 43).



**Fig. 42 : fotografische opname van spoor 114, coupe A in sleuf 36**



**Fig. 43 : fotografische opname van spoor 114, coupe C in sleuf 36**

Duidelijk kon in de sleuf geattesteerd worden dat er zich een vertakking plaatsvond die in sleuf 34 niet aanwezig bleek te zijn. Vermoedelijk buigt deze af richting het oosten of westen om

aan te sluiten op spoor 106 of spoor 95. In de vulling werden tijdens de aanleg en het couperen negen grijs gedraaide wandscherven, een grijs gedraaide rand van een voorraadpot alsook een grijs gedraaide bodem met standvin gerecupereerd (fig. 44). Ze laten toe de opvulling van de gracht te dateren in de 13<sup>e</sup>-14<sup>e</sup> eeuw.



**Fig. 44 : fotografische opname van de vondsten uit spoor 114 (sleuf 36)**

Spoor 95 kon in sleuf 35 niet gevolgd worden maar sluit hier vermoedelijk aan op greppels 99 en 100. De 0,65 tot 0,85 m brede greppels liggen slechts op 4 m ten oosten van erfgracht 97/98. De fijnere greppels kunnen in tegenstelling tot laatst vernoemde wel gevolgd worden tot sleuf 40 in de vorm van greppels 119-122 (SL 36), 131 (SL 37) en 137 (SL 38). In sleuf 36 wordt de erfgracht onderbroken door kuilen 122 en 123 maar kan in sleuf 37 (onderdeel van spoor 130) en sleuf 38 (spoor 144) wel verder geattesteerd worden. Het is duidelijk dat de brede erfgracht en de fijnere greppels ten oosten ervan samengaan.



**Fig. 45 : fotografische opname van de vondst uit spoor 98 (sleuf 35)**

In de vulling van erfgracht 98 (SL35) werd een grijsgedraaide bodemfragment met standvinnen aangetroffen (fig. 45). Spoor 130 (SL 37) leverde dan weer drie grijs gedraaide wandscherven, een schouderfragment alsook een bandoor op. De parallelle fijnere greppels leverden minder

materiaal op. Uit spoor 100 kon slechts één grijs gedraaide wandscherf gerecupereerd worden.



**Fig. 46 : fotografische opname van spoor 135 in SL 37**

Verspreid over twee sleuven (SL 36 en 37) werden over een afstand van een kleine 10 m, net onder een tweede A(p) horizont (cfr bodemkundig) een aantal ploegsporen aangetroffen (SP 115 en 135) (fig. 46). Deze 0,1 tot 0,15 m brede homogeen donkerbruine sporen volgen het tracé van de hierboven vermelde erfgrachten of staan er haaks op. Deze zijn enkel bewaard door de aanwezigheid van een 0,25 m dikke A() horizont onder de bestaande ploeglaag (cfr supra). Opvallend is de afwezigheid van andere sporen ten oosten hiervan. Het lijkt erop dat dit perceel akkerland was. In de ploegsporen of in de tweede A-horizont werden geen vondsten aangetroffen.



**Fig. 47 : fotografische opname van spoor 101, 102 en 103 in SL 35**

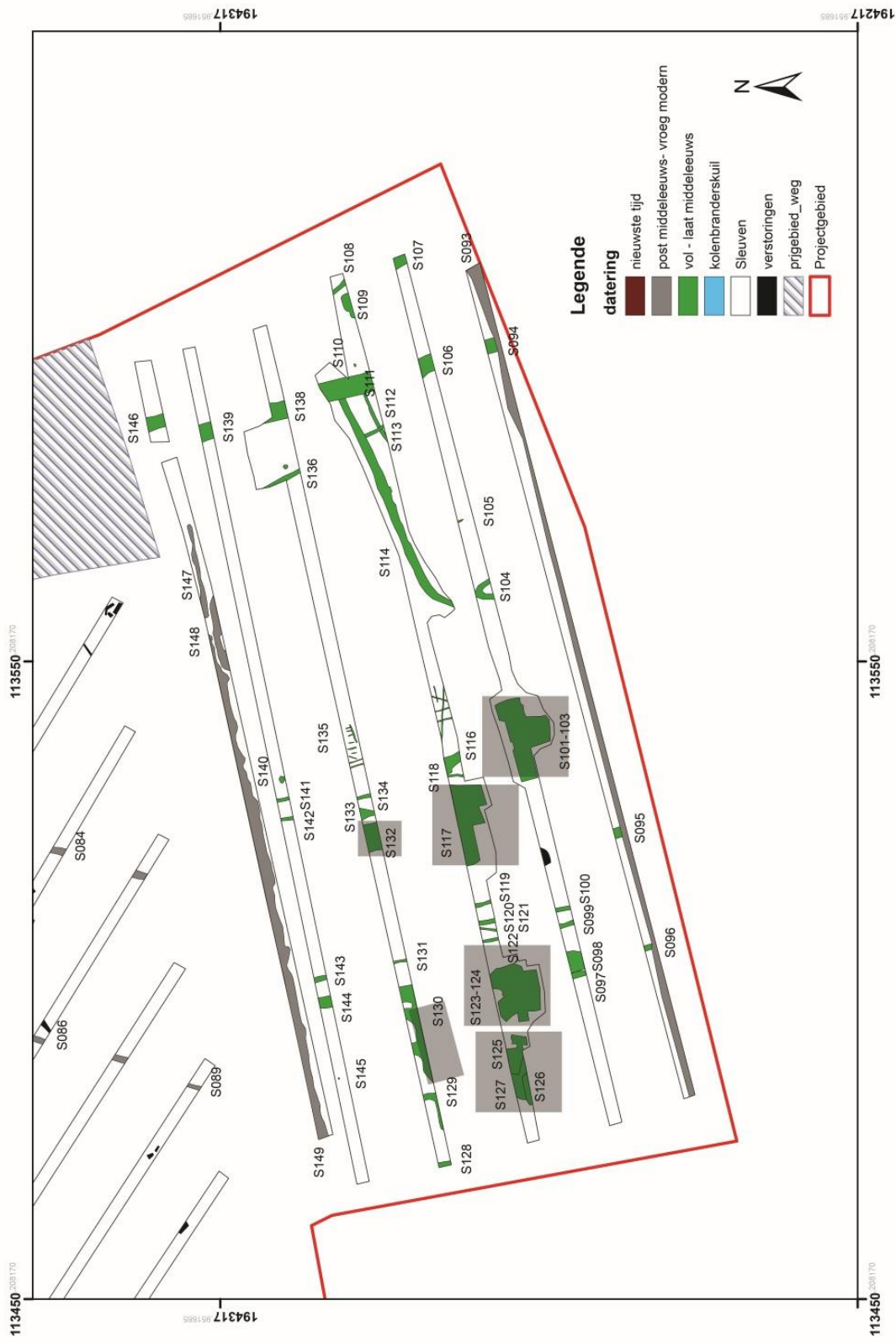


Fig. 48 : detail grondplan (SL 34-40) met aanduiding van de zandwinningskuilen



**Fig. 49 : fotografische opname van de dwarsdoorsnede op spoor 103 in SL 35**

Naast de erfgrachten, greppels en ploegsporen werd nog een categorie van spoor aangetroffen. Tijdens het sleuven werden in een aantal zones, verspreid over sleuven 35 tem 37, een zestal grotere structuren aangesneden (SP 125/126/127 ; 130 ; 132 ; 123/124 ; 117 ; 101/103) (fig. 48). Via kijkvensters werd besloten om een aantal van deze grotere entiteiten wat beter te onderzoeken. Bij alle (SP 103, 117, 123/124) bleek het te gaan om grote rechthoekige uitgravingen met een heterogeen versmeten vulling (fig. 47 & 50). In coupe vertoonden ze een scherp uitgraven profiel met een bewaarde diepte van maximaal 0,8 m (fig. 49). Op basis van de morfologische kenmerken kunnen ze geïnterpreteerd worden als zandwinningskuilen (extractiekuilen). In de vulling van deze sporen werden de meeste vondsten gedaan van de zeven sleuven. Het betreft acht grijs gedraaide wandscherven, een grijs gedraaide, haaks naar buiten geplooid, verdikte afgeronde rand met opstaande lip, een grijs gedraaide blokvormige rand met langwerpige doorsnede, ondersneden lip en afgeplatte buitenzijde, een grijs gedraaide blokvormige rand met rechthoekige/langwerpige doorsnede, een afgeplatte buitenzijde met ondersneden lip en een naar binnen afgeschuinde bovenzijde, een grijs gedraaide, haaks naar buiten geknikte rand met afgeronde top, een rand van een grape of eenorige grape (kookkan) in grijs aardewerk alsook een fragment Doornikse kalksteen (fig. 51 & 52). De vondsten kunnen allen in de 13<sup>e</sup>-14<sup>e</sup> eeuw n.Chr gedateerd worden. Vraag is hier wel of dit dan ook de opvulling van de zandwinningskuilen gaat dateren of, of dit ouder materiaal is die destijds aan het loopvlak lag, of in sporen zat en met de uitgraving en daaropvolgende opvulling zo erin terecht is gekomen. Indicaties van jongere periodes werden op basis van het vondstmateriaal niet aangetroffen. Sporen 132 en 125 tem 127 kunnen

waarschijnlijk ook in deze categorie van zandwinningskuilen geplaatst worden. In de vulling van kuil 109 werd nog een grijs gedraaide ondersneden blokvormige rand van een kogelpot met rechthoekige/langwerpige doorsnede, een afgeplatte buitenzijde en een naar binnen afgeschuinde bovenzijde aangetroffen. Ook deze kan ruimer gedateerd worden in de 13<sup>e</sup> – 14<sup>e</sup> eeuw. Het is onduidelijk of deze ook een extractiekuil betreft.



**Fig. 50 : fotografische opname van spoor 123-124 in SL 36**



**Fig. 51 : fotografische opname van de vondsten uit spoor 117 in SL 36**





**Fig. 52 : fotografische opname van de vondsten uit spoor 103 in SL 35**

Verspreid over de zeven sleuven (SL 34 tem 40) werden in totaal 40 scherven aangetroffen. Het merendeel bevond zich in de erfgrachten en de zandwinningskuilen. Technisch gezien betreft het allemaal grijs gedraaid aardewerk met fijn zandige baksels. Vroegrode scherven of rood aardewerk werden niet aangetroffen. Bij de diagnostische stukken zitten met bodems met standvinnen, bandvormige randen & haaks naar buiten geplooiden randen van kogelpotten en mogelijks een randscherf van een eenorige grape (kookkan). De grijs gedraaide bodem met standvin kent zijn opmars in de 13<sup>e</sup> eeuw maar wordt echt populair in de 14<sup>e</sup> eeuw. Dit komt deels door de zeer sterke opmars van de kannen en kruiken in die periode.

De kogelpot blijft in de 13<sup>e</sup> eeuw met iets minder dan 40% nog steeds de meest gebruikte potvorm. In die periode wordt het aandeel van blokranden enkel groter. In deze periodes wordt versiering op kogelpotten nog zelden gebruikt. Import kent in de 13<sup>e</sup> eeuw een hele terugval met slechts een zeer beperkte aanwezigheid binnen het vormenensemble. Kannen of kruiken in protosteengoed uit het Rijnland zijn beperkt aanwezig in Vlaanderen. Lokaal hoogversierd aardewerk is volledig afwezig binnen het aangetroffen ensemble op de site van Lochristi.

In deze periode (13<sup>e</sup>-begin 14<sup>e</sup> eeuw) gaan de ceramiekensembles voor meer dan 90% gedomineerd worden door het grijs vaatwerk. Het roodbakend, geglaazuurd aardewerk kent pas zijn opgang in het 2<sup>e</sup> kwart van de 14<sup>e</sup> eeuw. Reden hiervoor is dat de kostprijs voor de productie hoger lag door het gebruik van het lood en de hogere stokingskosten. In die periode zien we ook de doorbraak van het vol gesinterd steengoed ter vervanging van het proto- en bijna steengoed. In de 14<sup>e</sup> eeuw komen deshalve drie soorten aardewerk voor; nl. steengoed, grijs- en rood aardewerk. Bij de twee laatstvernoemde zitten de percentages nog altijd tussen de 80/85 % – 20/15 %. In de 14<sup>e</sup> eeuw gaat de kogelpot volledig verdwijnen als kookpot.

Lensvormige kogelpotten daaretengen blijven wel nog in gebruik als voorraadpot (De Grootte et al. 2008 p. 403).

Op basis van de aangetroffen scherven samenhangend met ruimere studies in de regio kunnen we de opvulling van de sporen dateren in de 13<sup>e</sup> en begin van de 14<sup>e</sup> eeuw n.Chr.

### 9.3.4 Post-middeleeuwse & Vroeg-Moderne periode (17<sup>e</sup> - 19<sup>e</sup> eeuw)

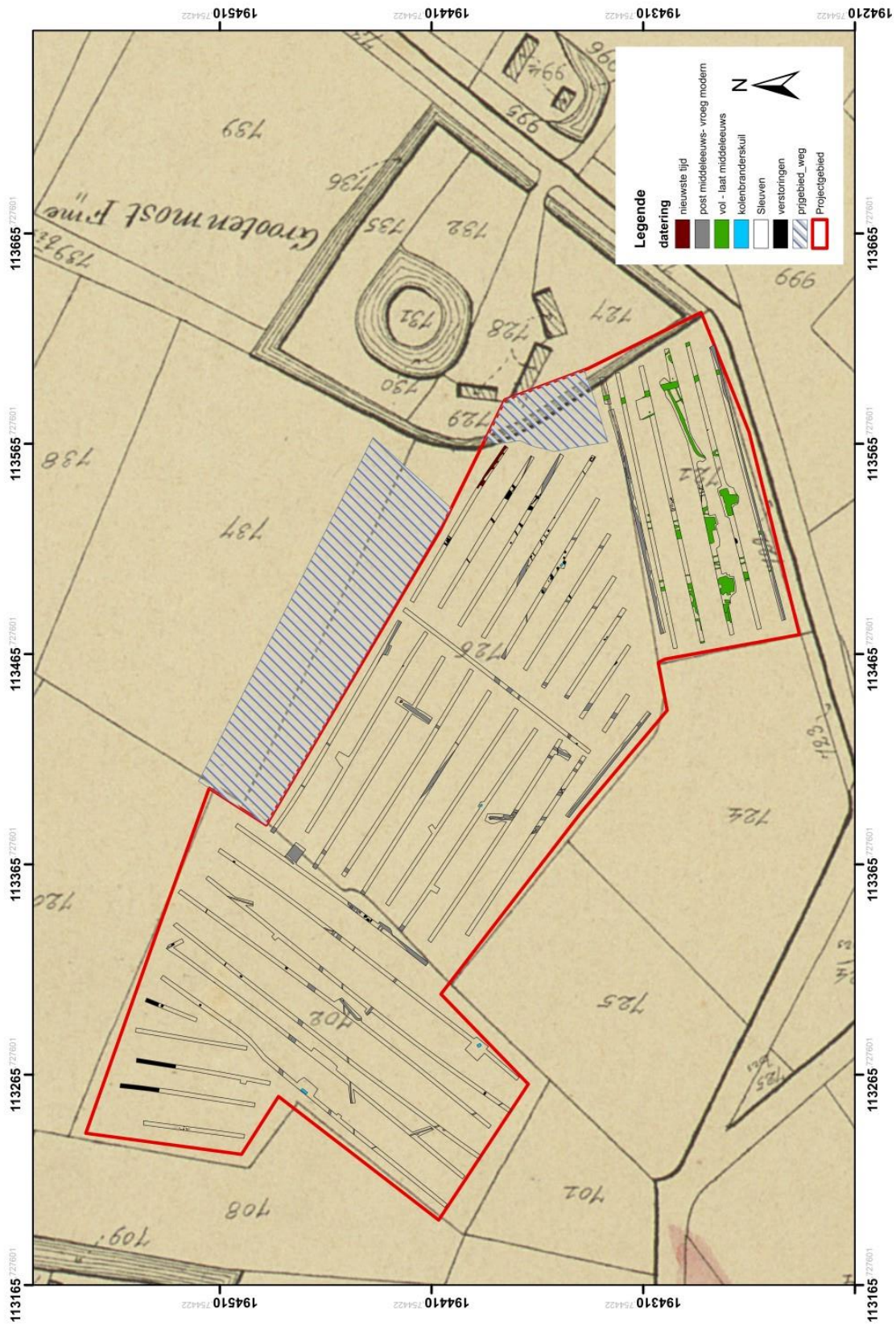


Fig. 53 : grondplan geprojecteerd op Popp-kaart

Uit de vroeg-moderne periode werden ook een groot aantal sporen aangetroffen verspreid over het projectgebied. Deze bestaan veelal uit perceelsgrachten, greppels en een aantal kuilen (fig. 53). Deze grachten zijn meestal te koppelen aan perceelsgrenzen op het kadasterplan, die op het terrein niet meer visueel waar te nemen zijn.



**Fig. 54 : fotografische opname van sporen 30 en 31 in sleuf 12**

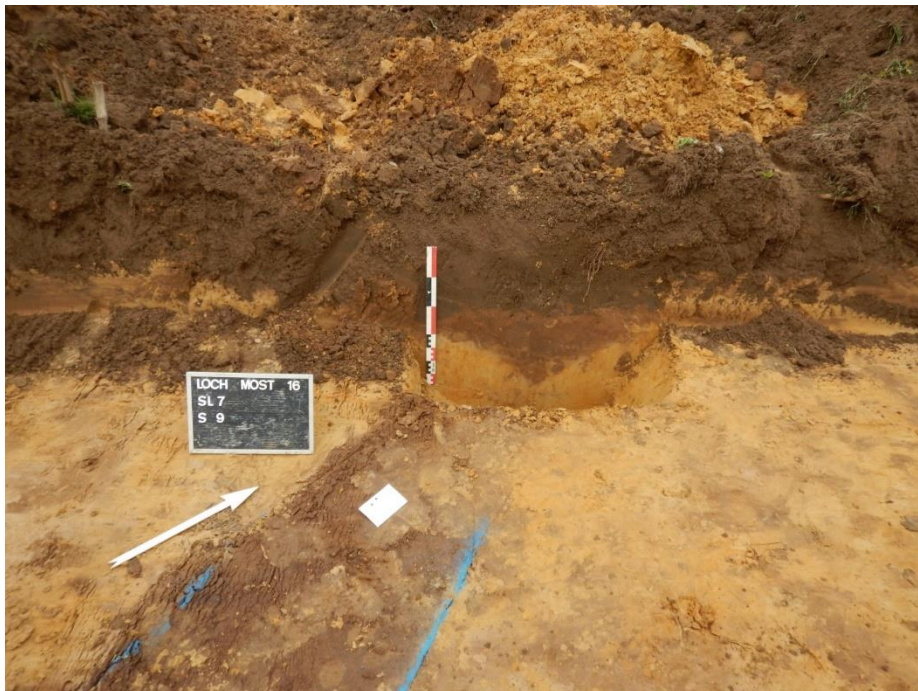


**Fig. 55 : fotografische opname van de vondsten uit spoor 30 (sleuf 12)**

Hun sterk heterogene bruine kleur met brokken versmeten moederbodem en soms heel scherpe opvullingspakketten typeren deze sporen (fig. 54). In hun vulling werd in beperkte hoeveelheden aardewerk, baksteen en leisteen aangetroffen die toelaat deze structuren te dateren tussen de 17<sup>e</sup> en 19<sup>e</sup> eeuw.



*Fig. 56 : fotografische opname van sporen 53 tem 56 in sleuf 20*



*Fig. 57 : fotografische opname van een dwarsdoorsnede op spoor 9 in sleuf 7*

Her en der werden deze sporen gecontroleerd aan de hand van dwarsdoorsnedes. Hierbij kon telkens geattesteerd worden dat de fijnere grachten en greppels zeer ondiep bewaard zijn (maximaal 0,3 m diep). De grotere perceelsgrachten (2/3 tot 7 m diameter) werden niet gecoupeerd gezien hun grotere dieptes en de grondwatertafel.

### 9.3.5 Nieuwste tijden (20-21<sup>e</sup> eeuw)

Recente sporen manifesteren zich overal doorheen het projectgebied in de aanwezigheid van recent aangelegde drainages, ophogingspakketten, kleine afvalputjes en vluchtig gegraven ondiepere afwateringsgreppeltjes alsook ophogingen ten behoeve van vlottere passage van werfverkeer (noorden projectgebied tegen bestaande ontginning). Deze afvalputten bevonden zich in sleuf 24 en 25 tegen de noordzijde van het projectgebied, grenzend aan de Mosthoeve (fig. ..). In een ophogingspakket met allerlei bouw- en puinafval waren een drietal kuilen, sporen 73-75-76, ingegraven die heel wat glas, ceramiek en conserven bevatte die medio 20<sup>e</sup> eeuw kan gedateerd worden (fig. 59).



Fig. 58 : fotografische opname van afvalkuilen 73, 75 en 76 en het ophogingspakket in sleuf 24



Fig. 59 : fotografische opname van een selectie van het materiaal uit afvalkuilen 73, 75 en 76 in sleuf 24

## 9.4 Conclusie

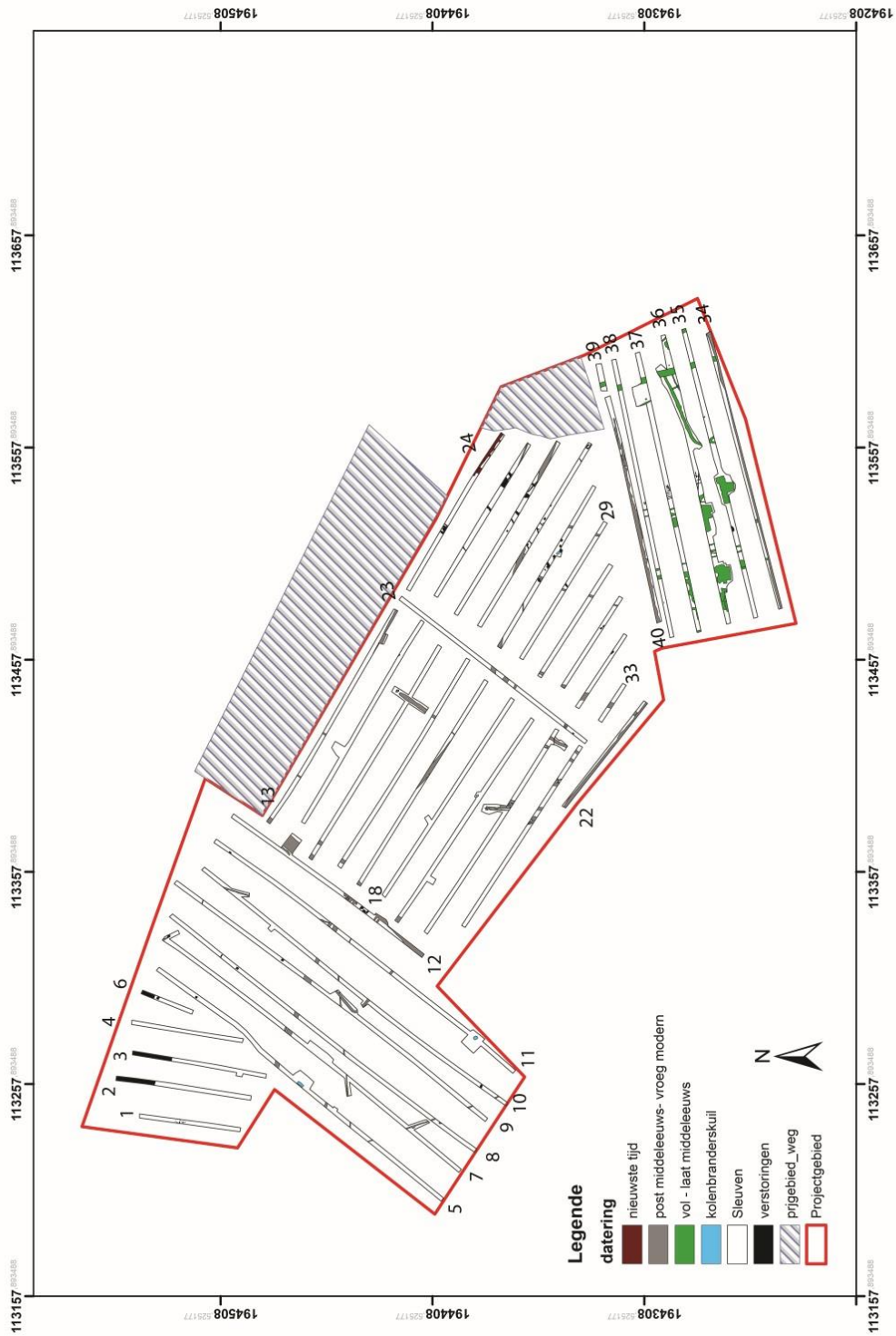


Fig. 60: grondplan met sleufnummers



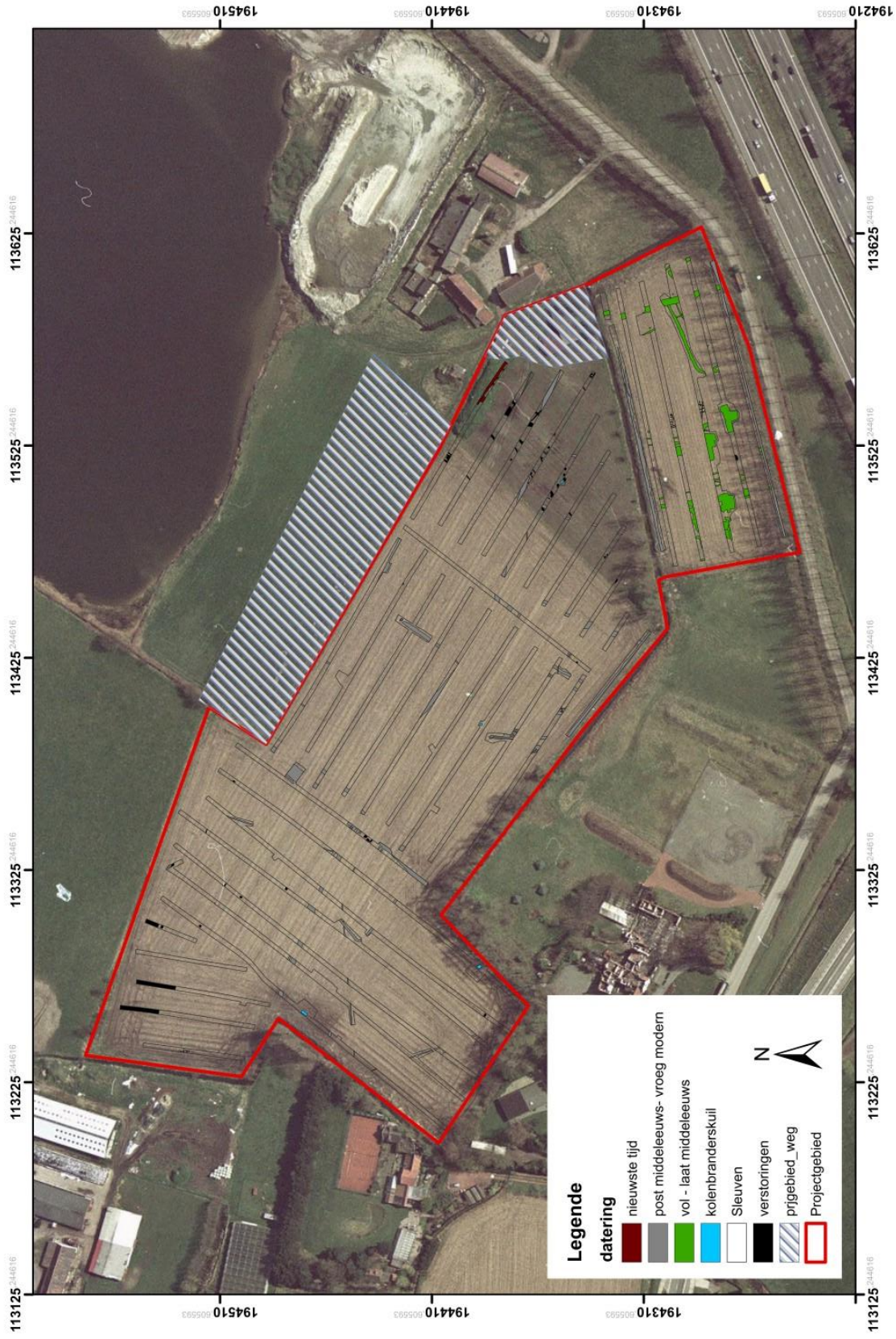


Fig. 61 : grondplan met projectie op de orthofoto

Van 24 tot 31 mei 2016 werd te Lochristi langsheen de Moststraat (oost- en zuidgrens) en de Reigerstraat (westgrens) een archeologisch proefsleuvenonderzoek uitgevoerd.

Het bedrijf Meganck-Collewaert NV in Beervelde (gemeente Lochristi) plant een beperkte uitbreiding van de bestaande zandontginning. De bestaande zandontginning is gelegen in Beervelde ten noorden van de E17 en de Dendermondse Steenweg N445.

Van het projectgebied van 7 ha kon ca. 5,998 ha onderzocht worden door middel van proefsleuven. In totaal werden er 40 proefsleuven (SL 1 tem 40) gegraven. Hierin werden 149 sporen aangetroffen. Twee stukken vallen weg uit het projectgebied samen goed voor 0,91 ha die niet kon gesleufd worden. In combinatie met de kijkvensters werd er 9227,16 m<sup>2</sup> opengelegd en onderzocht (15 % van de 5,998 ha).

Verspreid over het terrein kwamen sporen en materiaal aan het licht die in de metaaltijden, vol-laat middeleeuwse tijd (13-14<sup>e</sup> eeuw), post-middeleeuwse /vroeg moderne periode (17-18<sup>e</sup> eeuw) en nieuwste tijden (19-20<sup>e</sup> eeuw) gedateerd kunnen worden. Daarnaast werd ook een groot aantal natuurlijke sporen (windval) geregistreerd.

In één van die windvallen werden geclusterd een 20-tal sterk verweerde handgevormde aardewerkfragmenten met vingernagelindrukken aangetroffen. Ze betreffen de oudste indicaties van menselijke aanwezigheid in het projectgebied. Bij de aanleg van een kijkvenster werden geen extra scherven en/of sporen meer bemerkt. Op basis van het baksel en de versiering kan een voorzichtige datering in de ijzertijd naar voren worden geschoven.

Een groot aantal sporen over het projectgebied leverde echter geen vondsten op. Op basis van hun ligging, doorlopen in meerdere sleuven, relatie met andere sporen en hun textuur kon het overgrote merendeel toegekend worden aan de vroeg moderne periode. Een deel echter kreeg de label 'ongekend'. Een speciale categorie van (ongedateerde) sporen is deze van de houtskoolmeilers/kolenbranderskuilen (*earth kiln*). In totaal werden verspreid over het projectgebied vier houtskoolmeilers. De kuilen duiden op de onmiddellijke aanwezigheid van een bos tijdens een bepaalde periode in het gebruik van de gronden in (en nabij) het projectgebied. De vier kuilen werden tijdens het vooronderzoek gecoupeerd en geregistreerd.

De volgende periode waarvan sporen zijn aangetroffen bevindt zich op de overgang van de volle- en de late middeleeuwen. Tussen sleuven 34 tem 40, grenzend aan de Mosthoeve en de Moststraat, werden een aantal sporen uit deze periode aangetroffen. Gezien de relatief lage densiteit, de weinige duidelijke bewoningssporen en beperkte vondstenhoeveelheid werd besloten om via kijkvensters en volgsleuven deze sporen verder in kaart te brengen tijdens het proefsleuvenonderzoek. Het betreft een aantal grachten, greppels alsook een zestal zandwinningskuilen die duidelijk de aanzet geven naar een groter geheel die zich naar alle waarschijnlijkheid buiten het projectgebied bevindt. Op basis van de aangetroffen scherven samenhangend met ruimere studies in de regio kunnen we de opvulling van de sporen dateren in de 13<sup>e</sup> en begin van de 14<sup>e</sup> eeuw n.Chr.

Uit de vroeg-moderne periode werden ook een groot aantal sporen aangetroffen verspreid over het projectgebied. Deze bestaan veelal uit perceelsgrachten, greppels en een aantal kuilen.

Recente sporen manifesteren zich overal doorheen het projectgebied in de aanwezigheid van recent aangelegde drainages, ophogingspakketten, kleine afvalputjes en vluchtig gegraven ondiepere afwateringsgreppeltjes alsook ophogingen ten behoeve van vlottere passage van werfverkeer (noorden projectgebied tegen bestaande ontginning).

Ondanks de beperkte resultaten geven ze een goeie aanzet voor verdere archeologische inzichten in deze sector van de Vlaamse vallei

## 10. Advies

---

Reeds tijdens voorgaande besprekingen in het rapport is er een antwoord gegeven op een gedeelte van onderstaande onderstaande vragen (BVW). De rest van de antwoorden wordt hieronder verder uitgewerkt.

- Kunnen op basis van vondstmateriaal, oversnijdingen en/of vulling uitspraken gedaan worden over de datering en de onderlinge fasering van de aangetroffen sporen?

De aangetroffen vondsten, sporen en structuren tonen aan dat het projectgebied reeds vele eeuwen bezocht en in cultuur genomen werd. In een windval werden handgemaakte scherven uit de metaaltijden aangetroffen. Verdere indicaties uit deze periode ontbreken verder. De vroegste sporen situeren zich nabij de Mosthoeve en de Mosstraat en dateren uit de 13<sup>e</sup>-14<sup>e</sup> eeuw. Het is pas in de loop van de post middeleeuwse periode dat het gebied grootschaliger wordt ontwikkeld waarbij heel wat grachten en greppels worden aangelegd om de percelen te ontwateren en in te delen (landindeling).

Het vooronderzoek bood de mogelijkheid om de evolutie van het landschap, de bewoning en het landgebruik over verschillende periodes te bestuderen en te vergelijken.

- Kunnen er op basis van de aard van de contexten en/of het vondstmateriaal uitspraken gedaan worden over het type vindplaats (bewoning, funerair, religieus, artisaan,...)? Kunnen er na het vooronderzoek reeds specifieke sporen of sporenclusters gedetermineerd en/of verwacht worden (plattegronden, enclos, graven, waterputten,...) en in welke densiteit?

Over de vondsten uit de metaaltijden kan weinig gezegd worden. Het is duidelijk dat er zich in de nabijheid van het projectgebied een metaaltijdsite moet hebben bevonden. Het perceel in het oosten met de 13<sup>e</sup>-14<sup>e</sup> eeuwse sporen toont een eerder rurale site met grachten en greppels, ploegsporen maar ook zandwinningskuilen die dan weer types zijn bij de extractiesites. De bewoningssporen bevinden zich niet in het projectgebied en moeten eerder naar het noorden en/of oosten gezocht worden. De jongere sporen tonen ons een in cultuur brengen van de gronden in akker –en weiland.

- Kan voor deze vindplaats het principe van behoud in situ nagestreefd worden, zo ja aan welke randvoorwaarden dient voldaan te worden?

Reeds tijdens het vooronderzoek is de zone met vol –tot laat middeleeuwse sporen onderzocht op basis van kijkvensters, volgsleuven en gerichte dwarsdoorsnedes.

- Voor archeologische vindplaatsen die bedreigd worden door de geplande ruimtelijke ontwikkeling en die niet in situ bewaard kunnen blijven:
  - Wat is de ruimtelijke afbakening (in drie dimensies) van de zones voor vervolgonderzoek?
  - Welke aspecten verdienen bijzondere aandacht bij het vervolgonderzoek?

Reeds tijdens het vooronderzoek is het volledige projectgebied onderzocht op basis van kijkvensters, volgsleuven en gerichte dwarsdoorsnedes. De aangetroffen sporen en structuren zullen bij een verder onderzoek geen extra informatie opleveren. Een vervolgonderzoek wordt hier dan ook niet geadviseerd.

- Wat is het wetenschappelijk kennispotentieel van de archeologische vindplaats op regionaal en op Vlaams niveau? In hoeverre zijn gelijkaardige vindplaatsen gekend

en gedocumenteerd? Welke site-specifieke vraagstellingen kunnen geformuleerd worden bij een vervolgonderzoek?

De winst aan kennis op regionaal en Vlaams niveau is op zich beperkt. Het is onduidelijk wat de extensie van de aangetroffen sporen is en waartoe deze behoort. Desalniettemin zijn de sporen onderzocht binnen het projectgebied tijdens het proefsleuvenonderzoek met het oog op verdere uitbreidingen en/onderzoeken in en nabij Lochristi. Het grondgebied Lochristi is met zijn deelgemeentes op archeologisch vlak weinig gekend. Ondanks de beperkte meerwaarde van de aangetroffen sporen en structuren geven ze toch een indicatie voor de aanwezigheid in de 13<sup>e</sup>-14<sup>e</sup> eeuw van een site met ruraal karakter.

- Zijn er voor de beantwoording van deze vraagstellingen natuurwetenschappelijke onderzoeken nodig? Zo ja, welke type staalnames zijn hiervoor noodzakelijk en in welke vermoedelijke hoeveelheid?

Niet van toepassing

- Is er sprake van een grondwaterproblematiek? Dient lijn- en/ of kaderbemaling in de begroting voorzien te worden bij een vervolgonderzoek?

Niet van toepassing

- Welke rudimentaire inschatting kan er gemaakt worden van de tijdsduur van een vervolgonderzoek? Welke personeelsbezetting, personeelskwalificaties en (specialistische) begeleiding zijn hierbij aangewezen?

Niet van toepassing

## 11. Bibliografie

---

**MER** 2007, verderzetting zandontginning Beervelde.

**S.n.** 201, Bijzondere voorwaarden bij de vergunning voor een archeologische prospectie met ingreep in de bodem: Lochristi Moststraat.

**Bats M., Bastiaens J., Crombé P.** 2006. *Prospectie en waardering van alluviale gebieden langs de Boven-Schelde*. CAI project 2003-2004., in: Cousserier, K., Meylemans, E. (Ed.), *CAI-II: Thematisch inventarisatie en evaluatieonderzoek*, VIOE rapport Brussel, pp. 75-100.

**Cubizolle, H.**, 2009. *Paléoenvironnements*, Editions Armand Colin, Paris.

**De Groote K.**, 2008, *Middeleeuws aardewerk in Vlaanderen. Techniek, typologie, chronologie en evolutie van het gebruiksgoed in de regio Oudenaarde in de volle en late middeleeuwen (10de-16de eeuw)*. Deel I. Relicta Monografieën 1. Brussel.

**De Moor, G., Heyse, I.**, 1978. *De morfologische evolutie van de Vlaamse vallei*, De Aardrijkskunde 4, 343-375 Paepe, P., Baeteman, C., Mortier, R., Vanhoorne, R., 1981. *The marine pleistocene sediments in the Flandrian area*, Geologie en Mijnbouw 3, pp. 321-330.

**De Moor G.**, 1997- Kaartblad 21 Tielt. *Toelichtingen bij de quartairgeologische kaart van België - Vlaams Gewest*. Ministerie van de Vlaamse Gemeenschap, afdeling Natuurlijke Rijkdommen en Energie, Brussel. 97 p.

**Deconynck J., Wuyts F., Windey, S, Cruz F., Laloo P., Allemeersch L. & De Reu J.** 2014, Rapportage van het archeologisch proefsleuvenonderzoek; 17 maart - 16 juni 2014, Roeselare Noord-Oost, *GATE rapport*, 73.

**Deforce K. & Boeren J.** 2009, Anthracologisch onderzoek Kluizedok (Evergem, Oost-Vlaanderen), *Rapporten natuurwetenschappelijk onderzoek VIOE*, RNO.VIEOE.2009.09

**De Smaele B. & Pieters H.** 2014, Op de rand van de Moervaartvallei. Archeologisch vooronderzoek met ingreep in de bodem op de site 'Koning Albertlaan' te Lochristi (prov. Oost-Vlaanderen), *ADEDE archeologisch rapport* 50.

**Ek C., Ozer A.** 1976. *Les dernières transgressions marines*, in: *Pissart, A. (Ed.), Géomorphologie de la Belgique, hommage au Professeur P. Macar*, Laboratoire de Géologie et de Géographie physique de l'ULg, Liège, pp. 9-16.

**Groenewoudt B.** 2007, charcoal burning and landscape dynamics in the early medieval Netherlands, *Ruralia*, VI, pp. 327-333.

**Hantson W., Ryssaert C., Falckenbach Goudie E., Van Heymbeeck E.** 2010, Archeologisch proefsleuvenonderzoek te Ingelmunster Zandberg, *onuitgegeven rapport Soesma*.

**Hollevoet Y. & Van Roeyen J.** 1992, Germanic settlers at Sint-Gillis-Waas? (Prov. Of East-Flanders), *Archeologie in Vlaanderen*, pp. 209-221.

**Hoorne J., Laloo P.** 2009, *Archeologisch vooronderzoek te Rieme-Noord (gem. Evergem, prov. Oost-Vlaanderen). Juli tot oktober 2009. . UGent Archeologische Rapporten. Vol. 19. Gent: UGent.*

**Hoorne J. & Messiaen L.** 2011, Oekene-Heilig-Hartziekenhuis Roeselare-Menen, Rapportage archeologisch vooronderzoek 16/05-06/06/2011, *GATE Rapport*, 21.

**Huybrechts W.** 1989. *Palaeohydrologic conditions in the Mark River Basin during the last 15 000 years*, *Geologie & Mijnbouw* 68, pp. 175-187.

**Jacobs P., De Ceukelaire M., De Breuck W. & De Moor G.**, 1999- Kaartblad 21 Tielt. *Toelichtingen bij de geologische kaart van België - Vlaams Gewest*. Belgische Geologische Dienst en Afdeling Natuurlijke Rijkdommen en Energie, Brussel. 60 p., 22 fig., 6 tab., 9 foto's, (tekst opgemaakt in 1996).

**Janssens N. & De Cleer S.** 2013, Archeologische prospectie met ingreep in de bodem Lochristi-Nieuwstraat, *BAAC Vlaanderen rapport 69*.

**Kiden P.** 1991. *The Late Glacial and Holocene evolution of the Middle and Lower river Scheldt, Belgium*, in: Starkel, L., Gregory, Thorne (Eds.), *Temperate Palaeohydrology*, Wiley and Sons Ltd., Chichester.

**Laloo P., De Clercq W., Perdaen Y. & Crombé Ph.** 2008, Grootschalig nederzettingsonderzoek in een inheems-Romeins landschap: resultaten 2006-2007 en voorlopig bilan van het preventief archeologisch onderzoek 'Kluizendok' in de Gentse Haven, *Journée d'Archéologie Romaine, conférence annuelle belge d'archéologie romaine*, pp.73-84.

**Laloo P., W. De Clercq et al.** 2009, *Het Kluizendokproject. basisrapportage van het preventief archeologisch onderzoek op de wijk Zandeken (Kluizen, gem. evergem, prov. oost-Vlaanderen). December 2005 - december 2009*. UGent Archeologische Rapporten. Vol. 20. Gent: UGent.

**Lanclus K. & Verbeeck M.** 1993: *Inventaris van het cultuurbezit in België. Architectuur, Provincie Oost-Vlaanderen, Arrondissement Gent, Kantons Evergem - Lochristi*, Bouwen door de eeuwen heen in Vlaanderen 12N4, Brussel - Turnhout.

**Reniere S., Deconynck J. & Beek W.** 2012, Roeselare West-Noord , Rapportage van het archeologisch vooronderzoek 26 maart – 5 mei 2012, *GATE-rapport*, 41.

**Roberts N.** 1998. *The Holocene, an environmental history*, 2 ed., Blackwell Publishing, Oxford.

**Sommé J., Antoine P., Cunat-Boge N., Lefèvre D., Munaut A.**, 1999. *Le Pleistocène moyen marin de la Mer du Nord en France : Falaise de Sangatte et Formation d'Herzeele*, *Quaternaire* 10, pp 151-160.

**Tack G., Van Den Brempt P. & Hermy M.** 1993. *Bossen van Vlaanderen*. 320 p. Davidsfonds Leuven.

**Tavernier R.** 1946. *L'évolution du Bas-Escaut au Pléistocène supérieur*, *Bull. Soc. Belge Géol., Paléont., Hydrol.* 55, pp. 106-125.

**Van Ruymbeke M., De Leenheer L., Appelmans F., Van Damme J.** 1965. *La texture de la couche arable en flandre orientale*, *Pedologie* 15, pp. 255-340.

**Vanmaercke-Goffigny M.C.** 1964. *La géomorphologie de l'Escaut d'Oudenaarde*, *Acta Geographica Lovaniensia* 3, pp. 443-473.

**Van Strydonck M. & De Mulder G.** 2000. *De Schelde, verhaal van een rivier*, Leuven.

**Verdegem S. Pieters H. & Thuy A.** 2010, Definitief archeologisch onderzoek op de verkaveling "Vaardeken" te Zaffelare (Lochristi), *aDeDe archeorapport 2*.

**Verhulst, A.**, 1995. *Landschap en landbouw in middeleeuws Vlaanderen*, Gent. Gemeentekrediet, 191p.

**Wuyts F., Trachet J., Van Thienen V. & Van Hecke C.** 2012, Oekene Heilig-Hartziekenhuis (RoeselarMenen), Rapportage archeologische opgraving 16/01/2012 – 30/3/2012, onuitgegeven GATE-rapport 42.

### **Internetbronnen**

<http://cai.erfgoed.net>

[www.gisoost.be](http://www.gisoost.be)

[www.agiv.be](http://www.agiv.be)

[www.inventaris.onroerenderfgoed.be](http://www.inventaris.onroerenderfgoed.be)

[www.dov.vlaanderen.be](http://www.dov.vlaanderen.be)

[www.geopunt.be](http://www.geopunt.be)

### **Kaarten**

Nationaal geografisch instituut: *topografische kaart van België (1/10.000)*. 1968.

Vandermaelen Ph. (1846-1854): *topografische kaart van België*.

Ferraris de J. (1770-1778): de Kabinetskaart van de Oostenrijkse Nederlanden en het prinsbisdom Luik.

Popp Ph., 1842-1879. *Atlas parcellaire de la Belgique*.





## 12. Bijlagen

SLEUVENLIJST: Lo Christi Moststraat 2016

Sleufnummer	oppervlakte (m <sup>2</sup> )	sporen	profielen
1	96		P1
2	126		P2
3	133		P3
4	95		
5	400	1 tem 3 + 8 + 10	P4
6	48		
7	431	4 tem 7 + 9	
8	356	11 tem 14	P5
9	396	15 tem 17 + 20	
10	388	18 tem 19 + 21 tem 23	
11	406	24 tem 29	P6
12	281	30 tem 33	P7
13	239	34 tem 37	P8
14	244		
15	289	38 tem 40 + 43	
16	233	41 tem 42	P9
17	218	44 tem 47	
18	220		
19	243	48 tem 49	
20	294	50 tem 56	
21	205	57 tem 64	
22	123	65 tem 66	
23	217	67 tem 71	
24	176	72 tem 76	
25	189	77	
26	203	78	P10
27	203	79	
28	184	80 tem 84	
29	142	85 tem 86	
30	126	87 tem 88	
31	100	89 tem 90	
32	79	91	
33	41	92	
34	281	93 tem 96	
35	387	97 tem 107	
36	548	108 tem 127	P15
37	349	128 tem 138	P13 - P14
38	262	139 tem 145	P12
39	35	146	
40	241	147 tem 149	P11
<b>40 sleuven</b>	<b>9227 m<sup>2</sup></b>	<b>149 sporen</b>	<b>15 profielen</b>

SPORENLIJST: Lochristi Moststraat 2016

SL	SP	type	Lengte (m)	Breedte (m)	diepte (m)	beschrijving	datering
5	1	gracht	2.5	1.2	0.26	het br-gr lemig zand	PME-vroeg modern
5	2	hkmeiler	3	1	0,4	het dbr-dgr lemig zand	onbepaald
5	3	gracht	2.5	2		hom dbr lemig zand	PME-vroeg modern
7	4	gracht	4	0.65		hom dbr dgr zand	PME-vroeg modern
7	5	gracht	2	0.8		het dbgr-br\ge lemig zand	PME-vroeg modern
7	6	gracht	2	2.3		hom dbr lemig zand	PME-vroeg modern
7	7	gracht	10	0.5		het dbrgr-lbr	PME-vroeg modern
5	8	gracht	2.5	0.4		hom dbr\ro lemig zand	PME-vroeg modern
7	9	gracht	11	0.6		het dbr zand	PME-vroeg modern
5	10	gracht	2.5	0.25		het dbr zand	PME-vroeg modern
8	11	kuil	1.2	0.8		hom dbr zand	PME-vroeg modern
8	12	gracht	2.5	0.6		hom dbr zand	PME-vroeg modern
8	13	gracht	2.5	0.5		het dbr-dgr zand	PME-vroeg modern
8	14	gracht	2	2.3		hom dbr lemig zand	PME-vroeg modern
9	15	gracht	2	4		hom dgr dbr zand	PME-vroeg modern
9	16	gracht	2.5	0.6		het dbr-dgr zand	PME-vroeg modern
9	17	gracht	2.5	0.6		hom dbr zand	PME-vroeg modern
10	18	gracht	2.5	0.25		het br-lbr zand	PME-vroeg modern
10	19	gracht	4	1		het dbr-dgr zand	PME-vroeg modern
9	20	gracht	15	1		het dbr-dgr zand	PME-vroeg modern
10	21	gracht	2.5	0.6		het dgr-br zand	PME-vroeg modern
10	22	gracht	2.5	1.7		het dgr-dbr zand	PME-vroeg modern
10	23	gracht	14	0.6		het dgr-dbr zand	PME-vroeg modern
11	24	gracht	7	0.3		het dgr-dbr zand	PME-vroeg modern

11	25	gracht	2	1.2		het zw\dgr-dbr zand	PME-vroeg modern
11	26	gracht	2	2.2		het dbr zand	PME-vroeg modern
11	27	gracht	2	0.3		het dbr zand	PME-vroeg modern
11	28	gracht	2	0.6		hetdbr zand	PME-vroeg modern
11	29	hkmeiler	1.38	1.2		hetzw zand, VB leem	PME-vroeg modern
12	30	gracht	5.5	0.8		het brzw gevlekt	PME-vroeg modern
12	31	gracht	5.5	6.8		het zw gevlekt	PME-vroeg modern
12	32	gracht	2	4.5		het zw gevlekt	PME-vroeg modern
12	33	gracht	6	0.8		het zw gevlekt	PME-vroeg modern
13	34	gracht	2	2.2		het zw gevlekt	PME-vroeg modern
13	35	gracht	2	0.55	0.2	het zw-dbr zand	PME-vroeg modern
13	36	gracht	2	0.7		het dbr-br zand	PME-vroeg modern
13	37	gracht	25	1.5		het dbr-zw zand	PME-vroeg modern
15	38	gracht	2	2.2		het zw gevlekt zand	PME-vroeg modern
15	39	gracht	25	2.1		het dbr-zw zand	PME-vroeg modern
15	40	kuil	1.5	1		het dbr- BR zand	PME-vroeg modern
16	41	gracht	2	1.2		het dbr-zw	PME-vroeg modern
16	42	gracht	2	1.8		het dbr-ge zand	PME-vroeg modern
15	43	gracht	2	1.8		het dbr-ge zand	PME-vroeg modern
17	44	gracht	2	1.5		het dbr-gr zand	PME-vroeg modern
17	45	gracht	3	2		het dbr-dgr zand	PME-vroeg modern
17	46	gracht	18	2.5		het dbr-dgr zand	PME-vroeg modern
17	47	gracht	2	0.35		het dbr-zw zand	PME-vroeg modern
19	48	gracht	2	2.4		het zwgr gevlekt zandig	PME-vroeg modern
19	49	kuil/houtskoolmeiler?	1.3	1	0,16	het dgr-br zand	onbepaald

20	50	gracht	9	1.2		het dbr gevlekt zand	PME-vroeg modern
20	51	greppel	5	0.3		het dbr zand	PME-vroeg modern
20	52	gracht	2	1.2		het dbr gevlekt zand	PME-vroeg modern
20	53	gracht	2	0.4		het dbr-gr zand	PME-vroeg modern
20	54	gracht	2	0.3		het gr-br zand	PME-vroeg modern
20	55	gracht	13	1.3		het dbr-dgr zand	PME-vroeg modern
20	56	gracht	13	0.5		het dgr-br zand	PME-vroeg modern
21	57	greppel	3	0.4		het dbr-gr gevlekt zand	PME-vroeg modern
21	58	gracht	3	2		hom dbr zand	PME-vroeg modern
21	59	gracht	2.5	1.2	0.1	het gr-lbr zand	PME-vroeg modern
21	60	gracht	2.5	1.6		het dbr-gr zand	PME-vroeg modern
21	61	greppel	3	0.4		het dbr-gr zand	PME-vroeg modern
21	62	greppel	3	0.25		het dbr-gr gevlekt zand	PME-vroeg modern
21	63	gracht	2	1.2		hom dbr-gr zand	PME-vroeg modern
21	64	gracht	2	1.3		hom dbr zand	PME-vroeg modern
22	65	gracht	63	1.6		het betreft gevlekt	PME-vroeg modern
22	66	gracht	2	2	0.95	hom dzw	PME-vroeg modern
23	67	greppel	2	0.5		het dbr-br zand	PME-vroeg modern
23	68	gracht	2	0.7		het dbr-br zand	PME-vroeg modern
23	69	gracht	2	0.6		hom dzw zand	PME-vroeg modern
23	70	gracht	2	2.2		het dgrzw gevlekt zand	PME-vroeg modern
23	71	gracht	2.5	2.3		het dbr-gr zand	PME-vroeg modern
24	72	gracht	1.5	3		het dbr-gr. gevlekt zand	PME-vroeg modern
24	73	gracht	25	1.8		het dgr-br gevlekt zand	PME-vroeg modern
24	74	kuil	0.8	0.5		het dbr-ro zand	PME-vroeg modern

24	75	kuil	1	0.6		het dbr-ro zand	PME-vroeg modern
24	76	kuil	0.7	0.6		het dbr-ro zand	PME-vroeg modern
25	77	gracht	10.6	0.38		het dzwgr gevlekt	PME-vroeg modern
26	78	gracht	30	2.2		het GR gevlekt zand	PME-vroeg modern
27	79	gracht	14	2.2		het GR gevlekt zand	PME-vroeg modern
28	80	gracht	6	2.2		het GR gevlekt zand	PME-vroeg modern
28	81	gracht	3.5	0.5		het dbr gr gevlekt zand	PME-vroeg modern
28	82	gracht	2	1.2		het dbr GR gevlekt zand	PME-vroeg modern
28	83	hk meiler	1.86	0.76	0,1	het dzw gevlekt zand	onbepaald
28	84	gracht	2	1		hom dzw zand	PME-vroeg modern
29	85	gracht	2	1		het BR dbr zand	PME-vroeg modern
29	86	gracht	2	0.5		het grbr	PME-vroeg modern
30	87	gracht	2	1.05		het br gr zandig	PME-vroeg modern
30	88	gracht	2	1.05		hetbrgr zandig gevlekt	PME-vroeg modern
31	89	gracht	2	0.65		hetbrgr zandig gevlekt	PME-vroeg modern
31	90	gracht	2	1.1		hom BR zand	PME-vroeg modern
32	91	gracht	2	3.5		het BR GE zand	PME-vroeg modern
33	92	gracht	2	3		hom BR zand	PME-vroeg modern
34	93	gracht	20	2		het br-gr zand	PME-vroeg modern
34	94	gracht	1.6	2.2		het br-gr zand	vol-laot middeleeuws
34	95	gracht	1.5	1.95		het br-gr gevlekt zand	vol-laot middeleeuws
34	96	gracht	1.5	0.95		het dbr-br gevlekt zand	vol-laot middeleeuws
35	97	gracht	2	1.1		het dbr zw gevlekt zand	vol-laot middeleeuws
35	98	gracht	2	3.2		het dbr brge gevlekt zand	vol-laot middeleeuws
35	99	gracht	2	0.85		het dbr brge gevlekt zand	vol-laot middeleeuws

35	100	gracht	2	0.65		het dbr GR zand	vol-laaf middeleeuws
35	101	zandwinningskuil	7	1.15	0,78	hom BR zand	vol-laaf middeleeuws
35	102	zandwinningskuil	2.25	0.85	0,78	het br ge gevlekt zand	vol-laaf middeleeuws
35	103	zandwinningskuil	2	6	0,78	het dbr br ge gevlekt zand	vol-laaf middeleeuws
35	104	gracht	2	0.85		het dbr ge gevlekt zand	vol-laaf middeleeuws
35	105	greppel	0.7	0.25		het dgr ge gevlekt zand	vol-laaf middeleeuws
35	106	gracht	2	2.55		hom dbr zand	vol-laaf middeleeuws
35	107	gracht	2	1.5		het dbr br ge gevlekt zand	vol-laaf middeleeuws
36	108	gracht	2	0.5		het dbr dgr gevlekt zand	vol-laaf middeleeuws
36	109	kuil	4	1.25		het dbr dgr gevlekt zand	vol-laaf middeleeuws
36	110	kuil	0.45	0.35		het dbr zw gevlekt zand	vol-laaf middeleeuws
36	111	gracht	2	3		het dbr dgr zand	vol-laaf middeleeuws
36	112	gracht	8.5	0.5		het dbr dgr gevlekt zand	vol-laaf middeleeuws
36	113	gracht	2	0.5		het br gevlekt zand	vol-laaf middeleeuws
36	114	gracht	20	1.25	0,57	het dbr dgr ge gevlekt zand	vol-laaf middeleeuws
36	115	ploegspoor	15	0.15		het dbr dgr zand	vol-laaf middeleeuws
36	116	gracht	2	3		het dbr dgr zand	vol-laaf middeleeuws
36	117	zandwinningskuil	2	16		het br gr ge gevlekt zand	vol-laaf middeleeuws
36	118	gracht	2	0.25		het br ge gevlekt zand	vol-laaf middeleeuws
36	119	gracht	2	0.55		het br-gr gevlekt zand	vol-laaf middeleeuws
36	120	gracht	2	0.6		het br ge gevlekt zand	vol-laaf middeleeuws
36	121	gracht	2	0.25		het dbr zand	vol-laaf middeleeuws
36	122	gracht	2	0.45		het br ge gevlekt zand	vol-laaf middeleeuws
36	123	zandwinningskuil	2	6		het br ge gevlekt zand	vol-laaf middeleeuws
36	124	zandwinningskuil	3	1.65		het br-gr gevlekt zand	vol-laaf middeleeuws

36	125	zandwinningskuil	2	8		het dbr dgr ge gevlekt zand	vol-laaf middeleeuws
36	126	zandwinningskuil	2	736		het dbr ge gevlekt zand	vol-laaf middeleeuws
36	127	zandwinningskuil	5.2	0.55		het br ge gevlekt zand	vol-laaf middeleeuws
37	128	gracht	2	0.5		het br ge gevlekt zand	vol-laaf middeleeuws
37	129	gracht	7.5	0.7		het br ge gevlekt zand	vol-laaf middeleeuws
37	130	gracht	19	2		het br ge zand	vol-laaf middeleeuws
37	131	gracht	2	0.45		hom BR zand	vol-laaf middeleeuws
37	132	zandwinningskuil	2	5		het GE BR gevlekt zand	vol-laaf middeleeuws
37	133	gracht	2	1.9		hom dbr zand	vol-laaf middeleeuws
37	134	gracht	2	0.5		het dbr GE gevlekt zand	vol-laaf middeleeuws
37	135	ploegsporen	10	0.15		het br gevlekt zand	vol-laaf middeleeuws
37	136	gracht	2	0.5		hom br zand	vol-laaf middeleeuws
37	137	kuil	0.65	0.6		het lbr GR gevlekt zand	vol-laaf middeleeuws
37	138	gracht	2	3		hom br-gr zand	vol-laaf middeleeuws
38	139	gracht	2	3		het br ge gevlekt zand	vol-laaf middeleeuws
38	140	kuil	1.1	0.85		het dbr dgr gevlekt zand	vol-laaf middeleeuws
38	141	gracht	2	0.45		het br GE gevlekt zand	vol-laaf middeleeuws
38	142	gracht	2	0.45		hom BR zand	vol-laaf middeleeuws
38	143	gracht	2	0.85		het br GE gevlekt zand	vol-laaf middeleeuws
38	144	gracht	2	1.8		het dbr GE gevlekt zand	vol-laaf middeleeuws
38	145	paalkuil	0.25	0.2		het lgr-zw zand	vol-laaf middeleeuws
39	146	gracht	2	2.3		het br ge gevlekt zand	PME-vroeg modern
40	147	gracht	20	0.7		het br dbr gevlekt zand	PME-vroeg modern
40	148	gracht	14	1.6		het br-gr GE gevlekt zand	PME-vroeg modern
40	149	gracht	19	1.6		het br br-gr gevlekt zand	PME-vroeg modern



150					interface spoor 1	
151					interface spoor 2	
152					interface spoor 3	
153					interface spoor 4	
154					interface spoor 5	
155					interface spoor 6	
156					interface spoor 7	
157					interface spoor 8	
158					interface spoor 9	
159					interface spoor 10	
160					interface spoor 11	
161					interface spoor 12	
162					interface spoor 13	
163					interface spoor 14	
164					interface spoor 15	
165					interface spoor 16	
166					interface spoor 17	
167					interface spoor 18	
168					interface spoor 19	
169					interface spoor 20	
170					interface spoor 21	
171					interface spoor 22	
172					interface spoor 23	
173					interface spoor 24	
174					interface spoor 25	
175					interface spoor 26	
176					interface spoor 27	
177					interface spoor 28	
178					interface spoor 29	
179					interface spoor 30	
180					interface spoor 31	
181					interface spoor 32	
182					interface spoor 33	
183					interface spoor 34	
184					interface spoor 35	
185					interface spoor 36	
186					interface spoor 37	
187					interface spoor 38	
188					interface spoor 39	
189					interface spoor 40	
190					interface spoor 41	
191					interface spoor 42	
192					interface spoor 43	
193					interface spoor 44	
194					interface spoor 45	

195				interface spoor 46	
196				interface spoor 47	
197				interface spoor 48	
198				interface spoor 49	
199				interface spoor 50	
200				interface spoor 51	
201				interface spoor 52	
202				interface spoor 53	
203				interface spoor 54	
204				interface spoor 55	
205				interface spoor 56	
206				interface spoor 57	
207				interface spoor 58	
208				interface spoor 59	
209				interface spoor 60	
210				interface spoor 61	
211				interface spoor 62	
212				interface spoor 63	
213				interface spoor 64	
214				interface spoor 65	
215				interface spoor 66	
216				interface spoor 67	
217				interface spoor 68	
218				interface spoor 69	
219				interface spoor 70	
220				interface spoor 71	
221				interface spoor 72	
222				interface spoor 73	
223				interface spoor 74	
224				interface spoor 75	
225				interface spoor 76	
226				interface spoor 77	
227				interface spoor 78	
228				interface spoor 79	
229				interface spoor 80	
230				interface spoor 81	
231				interface spoor 82	
232				interface spoor 83	
233				interface spoor 84	
234				interface spoor 85	
235				interface spoor 86	
236				interface spoor 87	
237				interface spoor 88	

238					interface spoor 89	
239					interface spoor 90	
240					interface spoor 91	
241					interface spoor 92	
242					interface spoor 93	
243					interface spoor 94	
244					interface spoor 95	
245					interface spoor 96	
246					interface spoor 97	
247					interface spoor 98	
248					interface spoor 99	
249					interface spoor 100	
250					interface spoor 101	
251					interface spoor 102	
252					interface spoor 103	
253					interface spoor 104	
254					interface spoor 105	
255					interface spoor 106	
256					interface spoor 107	
257					interface spoor 108	
258					interface spoor 109	
259					interface spoor 110	
260					interface spoor 111	
261					interface spoor 112	
262					interface spoor 113	
263					interface spoor 114	
264					interface spoor 115	
265					interface spoor 116	
266					interface spoor 117	
267					interface spoor 118	
268					interface spoor 119	
269					interface spoor 120	
270					interface spoor 121	
271					interface spoor 122	
272					interface spoor 123	
273					interface spoor 124	
274					interface spoor 125	
275					interface spoor 126	
276					interface spoor 127	
277					interface spoor 128	
278					interface spoor 129	
279					interface spoor 130	
280					interface spoor 131	

	281					interface spoor 132	
	282					interface spoor 133	
	283					interface spoor 134	
	284					interface spoor 135	
	285					interface spoor 136	
	286					interface spoor 137	
	287					interface spoor 138	
	288					interface spoor 139	
	289					interface spoor 140	
	290					interface spoor 141	
	291					interface spoor 142	
	292					interface spoor 143	
	293					interface spoor 144	
	294					interface spoor 145	
	295					interface spoor 146	
	296					interface spoor 147	
	297					interface spoor 148	
	298					interface spoor 149	
	299					laag spoor 114	
	300					laag spoor 114	
	301					laag spoor 114	

VONDSTENLIJST: Lochristi Moststraat 2016

SL	SP	materiaal	beschrijving	Datering
12	30	AW	roodbakkende bodemscherf met dekkende glazuur, roodbakend greepfragment (sterk verweerd), aanzet roodbakkende rand met dekkende glazuur (sterk verweerd)	17e eeuws
15	39	AW	roodbakkende wandscherf met dekkende loodglazuur en aanzet bodem	
17	45	AW	bodem steengoed/grés kruik	17-18e eeuws
22	65	AW	wandscherf Westerwald met rozetversiering	
			twee roodbakkende wandscherven met dekkende loodglazuur	
			rand roodbakkende kom/pan met aanzet greep en dekkende glazuur	
34	94	AW	twee grijs gedraaide scherven (protosteengoed?)	13e eeuws
34	95	AW	twee grijs gedraaide wandscherven	
35	98	AW	bodem grijs gedraaid met standvinnen	13-14e eeuws
35	100	AW	grijs gedraaide wandscherf met groeven	
35	101	AW	twee grijs gedraaide wandscherven	
35	102	AW	grijs gedraaide wandscherf	
35	103	AW	grijs gedraaide, haaks naar buiten geploide, verdikte afgeronde rand met opstaande lip	13e eeuws
		AW	drie grijs gedraaide wandscherven	
35	104	AW	grijs gedraaide blokvormige kogelpotrand met rechthoekige doorsnede en een afgeplatte bovenzijde en buitenzijde	13e eeuws
35	107	AW	aanzet grijs gedraaide blokvormige rand met ondersneden lip en afgeplatte bovenzijde	13e eeuws
36	109		grijs gedraaide ondersneden blokvormige rand van een kogelpot met rechthoekige/langwerpige doorsnede, een afgeplatte buitenzijde en een naar binnen afgeschuinde bovenzijde	13-14e eeuws
36	114	AW	rand grijs gedraaide voorraadpot,	13-14e eeuws
			grijs gedraaide bodem met standvin en twee grijs gedraaide wandscherven	13-14e eeuws
			zeven grijs gedraaide wandscherven	
36	117	AW	vier grijs gedraaide wandscherven	
			grijs gedraaide blokvormige rand met langwerpige doorsnede, ondersneden lip en afgeplatte buitenzijde	13e eeuws

			grijs gedraaide blokvormige rand met rechthoekige/langwerpige doorsnede, een afgeplatte buitenzijde met ondersneden lip en een naar binnen afgeschuinde bovenzijde	13e eeuws
36	120	AW	grijs gedraaide wandscherf	
36	123	ST	fragment Doornikse kalksteen	
		AW	grijs gedraaid, haaks naar buiten geknikte rand met afgeronde top	13e eeuws
			rand grape of eenorige grape (kookkan) grijs aardewerk	13-14e eeuws
			grijs gedraaide wandscherf	
36	127	AW	grijs gedraaide wandscherf	
37	130	AW	drie grijs gedraaide wandscherven	
			grijs gedraaid schouderfragment	
			grijs gedraaide bandoor	
37	137	AW	20 handgemaakte wandscherven met vingernagelindrukken	metaaltijden

FOTOLIJST: Lochristi Moststraat 2016

map	fototitel	omschrijving
profielen	LOCHRISTI-MOSTSTR-2016-SL1-P1 (1)	profiel 1 in sleuf 1
profielen	LOCHRISTI-MOSTSTR-2016-SL1-P1 (2)	profiel 1 in sleuf 1
profielen	LOCHRISTI-MOSTSTR-2016-SL2-P2 (1)	profiel 2 in sleuf 2
profielen	LOCHRISTI-MOSTSTR-2016-SL2-P2 (2)	profiel 2 in sleuf 2
profielen	LOCHRISTI-MOSTSTR-2016-SL2-P2 (3)	profiel 2 in sleuf 2
profielen	LOCHRISTI-MOSTSTR-2016-SL3-P3 (1)	profiel 3 in sleuf 3
profielen	LOCHRISTI-MOSTSTR-2016-SL3-P3 (2)	profiel 3 in sleuf 3
profielen	LOCHRISTI-MOSTSTR-2016-SL3-P3 (3)	profiel 3 in sleuf 3
profielen	LOCHRISTI-MOSTSTR-2016-SL5-P4 (1)	profiel 4 in sleuf 5
profielen	LOCHRISTI-MOSTSTR-2016-SL5-P4 (2)	profiel 4 in sleuf 5
profielen	LOCHRISTI-MOSTSTR-2016-SL5-P4 (3)	profiel 4 in sleuf 5
profielen	LOCHRISTI-MOSTSTR-2016-SL8-P5 (1)	profiel 5 in sleuf 8
profielen	LOCHRISTI-MOSTSTR-2016-SL8-P5 (1)	profiel 5 in sleuf 8
profielen	LOCHRISTI-MOSTSTR-2016-SL8-P5 (1)	profiel 5 in sleuf 8
profielen	LOCHRISTI-MOSTSTR-2016-SL11-P6 (1)	profiel 6 in sleuf 11
profielen	LOCHRISTI-MOSTSTR-2016-SL11-P6 (2)	profiel 6 in sleuf 11
profielen	LOCHRISTI-MOSTSTR-2016-SL11-P6 (3)	profiel 6 in sleuf 11
profielen	LOCHRISTI-MOSTSTR-2016-SL12-P7 (1)	profiel 7 in sleuf 12
profielen	LOCHRISTI-MOSTSTR-2016-SL12-P7 (2)	profiel 7 in sleuf 13
profielen	LOCHRISTI-MOSTSTR-2016-SL12-P7 (3)	profiel 7 in sleuf 14
profielen	LOCHRISTI-MOSTSTR-2016-SL13-P8 (1)	profiel 8 in sleuf 13
profielen	LOCHRISTI-MOSTSTR-2016-SL13-P8 (2)	profiel 8 in sleuf 14
profielen	LOCHRISTI-MOSTSTR-2016-SL13-P8 (3)	profiel 8 in sleuf 15
profielen	LOCHRISTI-MOSTSTR-2016-SL13-P8 (4)	profiel 8 in sleuf 16
profielen	LOCHRISTI-MOSTSTR-2016-SL13-P8 (5)	profiel 8 in sleuf 17
profielen	LOCHRISTI-MOSTSTR-2016-SL13-P8 (6)	profiel 8 in sleuf 18
profielen	LOCHRISTI-MOSTSTR-2016-SL15-P9 (1)	profiel 9 in sleuf 15
profielen	LOCHRISTI-MOSTSTR-2016-SL15-P9 (2)	profiel 9 in sleuf 16
profielen	LOCHRISTI-MOSTSTR-2016-SL15-P9 (3)	profiel 9 in sleuf 17
profielen	LOCHRISTI-MOSTSTR-2016-SL15-P9 (4)	profiel 9 in sleuf 18
profielen	LOCHRISTI-MOSTSTR-2016-SL26-P10 (1)	profiel 10 in sleuf 26
profielen	LOCHRISTI-MOSTSTR-2016-SL26-P10 (2)	profiel 10 in sleuf 27
profielen	LOCHRISTI-MOSTSTR-2016-SL26-P10 (3)	profiel 10 in sleuf 28
profielen	LOCHRISTI-MOSTSTR-2016-SL26-P10 (4)	profiel 10 in sleuf 29
profielen	LOCHRISTI-MOSTSTR-2016-SL40-P11 (1)	profiel 11 in sleuf 40
profielen	LOCHRISTI-MOSTSTR-2016-SL40-P11 (2)	profiel 11 in sleuf 41
profielen	LOCHRISTI-MOSTSTR-2016-SL40-P11 (3)	profiel 11 in sleuf 42
profielen	LOCHRISTI-MOSTSTR-2016-SL38-P12 (1)	profiel 12 in sleuf 38
profielen	LOCHRISTI-MOSTSTR-2016-SL38-P12 (2)	profiel 12 in sleuf 39
profielen	LOCHRISTI-MOSTSTR-2016-SL38-P12 (3)	profiel 12 in sleuf 40
profielen	LOCHRISTI-MOSTSTR-2016-SL37-P13 (1)	profiel 13 in sleuf 37
profielen	LOCHRISTI-MOSTSTR-2016-SL37-P13 (2)	profiel 13 in sleuf 38
profielen	LOCHRISTI-MOSTSTR-2016-SL37-P13 (3)	profiel 13 in sleuf 39

profielen	LOCHRISTI-MOSTSTR-2016-SL37-P14 (1)	profiel 14 in sleuf 37
profielen	LOCHRISTI-MOSTSTR-2016-SL37-P14 (2)	profiel 14 in sleuf 38
profielen	LOCHRISTI-MOSTSTR-2016-SL37-P14 (3)	profiel 14 in sleuf 39
profielen	LOCHRISTI-MOSTSTR-2016-SL36-P15 (1)	profiel 15 in sleuf 36
profielen	LOCHRISTI-MOSTSTR-2016-SL36-P15 (2)	profiel 15 in sleuf 37
profielen	LOCHRISTI-MOSTSTR-2016-SL36-P15 (3)	profiel 15 in sleuf 38
overzicht	LOCHRISTI-MOSTSTR-2016- overzicht (1)	sleuf 2
overzicht	LOCHRISTI-MOSTSTR-2016- overzicht (1)	sleuf 2
overzicht	LOCHRISTI-MOSTSTR-2016- overzicht (2)	sleuf 2
overzicht	LOCHRISTI-MOSTSTR-2016- overzicht (3)	sleuf 2
overzicht	LOCHRISTI-MOSTSTR-2016- overzicht (4)	sleuf 1
overzicht	LOCHRISTI-MOSTSTR-2016- overzicht (5)	sleuf 1
overzicht	LOCHRISTI-MOSTSTR-2016- overzicht (6)	sleuf 1
overzicht	LOCHRISTI-MOSTSTR-2016- overzicht (7)	sleuf 1
overzicht	LOCHRISTI-MOSTSTR-2016- overzicht (8)	noordelijk deel projectgebied
overzicht	LOCHRISTI-MOSTSTR-2016- overzicht (9)	sleuf 3
overzicht	LOCHRISTI-MOSTSTR-2016- overzicht (10)	sleuf 3
overzicht	LOCHRISTI-MOSTSTR-2016- overzicht (11)	sleuf 4
overzicht	LOCHRISTI-MOSTSTR-2016- overzicht (12)	sleuf 4
overzicht	LOCHRISTI-MOSTSTR-2016- overzicht (13)	sleuf 4
overzicht	LOCHRISTI-MOSTSTR-2016- overzicht (14)	sleuf 5
overzicht	LOCHRISTI-MOSTSTR-2016- overzicht (15)	sleuf 5
overzicht	LOCHRISTI-MOSTSTR-2016- overzicht (16)	sleuf 5
overzicht	LOCHRISTI-MOSTSTR-2016- overzicht (17)	sleuf 5
overzicht	LOCHRISTI-MOSTSTR-2016- overzicht (18)	sleuf 5
overzicht	LOCHRISTI-MOSTSTR-2016- overzicht (19)	sleuf 5
overzicht	LOCHRISTI-MOSTSTR-2016- overzicht (20)	sleuf 6
overzicht	LOCHRISTI-MOSTSTR-2016- overzicht (21)	sleuf 6
overzicht	LOCHRISTI-MOSTSTR-2016- overzicht (22)	sleuf 6
overzicht	LOCHRISTI-MOSTSTR-2016- overzicht (23)	sleuf 7
overzicht	LOCHRISTI-MOSTSTR-2016- overzicht (24)	sleuf 7
overzicht	LOCHRISTI-MOSTSTR-2016- overzicht (25)	sleuf 7
overzicht	LOCHRISTI-MOSTSTR-2016- overzicht (26)	sleuf 7
overzicht	LOCHRISTI-MOSTSTR-2016- overzicht (27)	sleuf 8
overzicht	LOCHRISTI-MOSTSTR-2016- overzicht (28)	sleuf 8
overzicht	LOCHRISTI-MOSTSTR-2016- overzicht (29)	sleuf 8
overzicht	LOCHRISTI-MOSTSTR-2016- overzicht (30)	sleuf 9
overzicht	LOCHRISTI-MOSTSTR-2016- overzicht (31)	sleuf 9
overzicht	LOCHRISTI-MOSTSTR-2016- overzicht (32)	sleuf 9
overzicht	LOCHRISTI-MOSTSTR-2016- overzicht (33)	sleuf 10
overzicht	LOCHRISTI-MOSTSTR-2016- overzicht (34)	sleuf 10
overzicht	LOCHRISTI-MOSTSTR-2016- overzicht (35)	sleuf 10
overzicht	LOCHRISTI-MOSTSTR-2016- overzicht (36)	sleuf 10
overzicht	LOCHRISTI-MOSTSTR-2016- overzicht (37)	noordelijk deel projectgebied
overzicht	LOCHRISTI-MOSTSTR-2016- overzicht (38)	sleuf 13



overzicht	LOCHRISTI-MOSTSTR-2016- overzicht (39)	sleuf 13
overzicht	LOCHRISTI-MOSTSTR-2016- overzicht (40)	westelijk deel projectgebied
overzicht	LOCHRISTI-MOSTSTR-2016- overzicht (41)	noordelijk deel projectgebied
overzicht	LOCHRISTI-MOSTSTR-2016- overzicht (42)	sleuf 13
overzicht	LOCHRISTI-MOSTSTR-2016- overzicht (43)	sleuf 13
overzicht	LOCHRISTI-MOSTSTR-2016- overzicht (44)	sleuf 13
overzicht	LOCHRISTI-MOSTSTR-2016- overzicht (45)	noordoostelijk deel projectgebied
overzicht	LOCHRISTI-MOSTSTR-2016- overzicht (46)	noordoostelijk deel projectgebied
overzicht	LOCHRISTI-MOSTSTR-2016- overzicht (47)	overzicht sleufaanleg
overzicht	LOCHRISTI-MOSTSTR-2016- overzicht (48)	overzicht projectgebied
overzicht	LOCHRISTI-MOSTSTR-2016- overzicht (49)	overzicht projectgebied
overzicht	LOCHRISTI-MOSTSTR-2016- overzicht (50)	overzicht projectgebied
overzicht	LOCHRISTI-MOSTSTR-2016- overzicht (51)	overzicht projectgebied
overzicht	LOCHRISTI-MOSTSTR-2016- overzicht (52)	overzicht projectgebied
overzicht	LOCHRISTI-MOSTSTR-2016- overzicht (53)	overzicht projectgebied
overzicht	LOCHRISTI-MOSTSTR-2016- overzicht (54)	overzicht projectgebied
overzicht	LOCHRISTI-MOSTSTR-2016- overzicht (55)	overzicht projectgebied
overzicht	LOCHRISTI-MOSTSTR-2016- overzicht (56)	overzicht projectgebied
overzicht	LOCHRISTI-MOSTSTR-2016- overzicht (57)	overzicht projectgebied
overzicht	LOCHRISTI-MOSTSTR-2016- overzicht (58)	overzicht projectgebied
overzicht	LOCHRISTI-MOSTSTR-2016- overzicht (59)	zuidelijk deel projectgebied
overzicht	LOCHRISTI-MOSTSTR-2016- overzicht (60)	zuidelijk deel projectgebied
overzicht	LOCHRISTI-MOSTSTR-2016- overzicht (61)	sleuf 26
overzicht	LOCHRISTI-MOSTSTR-2016- overzicht (62)	sleuf 26
overzicht	LOCHRISTI-MOSTSTR-2016- overzicht (63)	sleuf 26
overzicht	LOCHRISTI-MOSTSTR-2016- overzicht (64)	oostelijk deel projectgebied-Moststraat
overzicht	LOCHRISTI-MOSTSTR-2016- overzicht (65)	oostelijk deel projectgebied-Moststraat
overzicht	LOCHRISTI-MOSTSTR-2016- overzicht (66)	oostelijk deel projectgebied-Moststraat
overzicht	LOCHRISTI-MOSTSTR-2016- overzicht (67)	oostelijk deel projectgebied-Moststraat
overzicht	LOCHRISTI-MOSTSTR-2016- overzicht (68)	sleuf 34
overzicht	LOCHRISTI-MOSTSTR-2016- overzicht (69)	sleuf 34
overzicht	LOCHRISTI-MOSTSTR-2016- overzicht (70)	sleuf 34
overzicht	LOCHRISTI-MOSTSTR-2016- overzicht (71)	sleuf 40
overzicht	LOCHRISTI-MOSTSTR-2016- overzicht (72)	sleuf 40
overzicht	LOCHRISTI-MOSTSTR-2016- overzicht (73)	sleuf 40
overzicht	LOCHRISTI-MOSTSTR-2016- overzicht (74)	sleuf 40
overzicht	LOCHRISTI-MOSTSTR-2016- overzicht (75)	sleuf 39
overzicht	LOCHRISTI-MOSTSTR-2016- overzicht (76)	sleuf 39
overzicht	LOCHRISTI-MOSTSTR-2016- overzicht (77)	sleuf 39
overzicht	LOCHRISTI-MOSTSTR-2016- overzicht (78)	sleuf 38
overzicht	LOCHRISTI-MOSTSTR-2016- overzicht (79)	sleuf 38
overzicht	LOCHRISTI-MOSTSTR-2016- overzicht (80)	sleuf 38
overzicht	LOCHRISTI-MOSTSTR-2016- overzicht (81)	sleuf 37
overzicht	LOCHRISTI-MOSTSTR-2016- overzicht (82)	sleuf 37
overzicht	LOCHRISTI-MOSTSTR-2016- overzicht (83)	sleuf 37

overzicht	LOCHRISTI-MOSTSTR-2016- overzicht (84)	sleuf 37 - 38 en 40
overzicht	LOCHRISTI-MOSTSTR-2016- overzicht (85)	sleuf 37 tem 40
overzicht	LOCHRISTI-MOSTSTR-2016- overzicht (86)	kijkvenster spoor 137
overzicht	LOCHRISTI-MOSTSTR-2016- overzicht (87)	kijkvenster spoor 137
overzicht	LOCHRISTI-MOSTSTR-2016- overzicht regen (1)	overzicht sleuven na regenbui 30 mei
overzicht	LOCHRISTI-MOSTSTR-2016- overzicht regen (1)	overzicht sleuven na regenbui 30 mei
overzicht	LOCHRISTI-MOSTSTR-2016- overzicht regen (1)	overzicht sleuven na regenbui 30 mei
overzicht	LOCHRISTI-MOSTSTR-2016- overzicht regen (1)	overzicht sleuven na regenbui 30 mei
overzicht	LOCHRISTI-MOSTSTR-2016- overzicht regen (1)	overzicht sleuven na regenbui 30 mei
overzicht	LOCHRISTI-MOSTSTR-2016- overzicht regen (1)	overzicht sleuven na regenbui 30 mei
overzicht	LOCHRISTI-MOSTSTR-2016- overzicht regen (1)	overzicht sleuven na regenbui 30 mei
spoor	LOCHRISTI-MOSTSTR-2016-SL5-SP1 (1)	spoor 1 in sleuf 5
spoor	LOCHRISTI-MOSTSTR-2016-SL5-SP1 (2)	spoor 1 in sleuf 5
spoor	LOCHRISTI-MOSTSTR-2016-SL5-SP1 (3)	spoor 1 in sleuf 5
spoor	LOCHRISTI-MOSTSTR-2016-SL5-SP1 (4)	spoor 1 in sleuf 5
spoor	LOCHRISTI-MOSTSTR-2016-SL5-SP1 (5)	spoor 1 in sleuf 5
spoor	LOCHRISTI-MOSTSTR-2016-SL5-SP1 (6)	spoor 1 in sleuf 5
spoor	LOCHRISTI-MOSTSTR-2016-SL5-SP2 (1)	spoor 2 in sleuf 5
spoor	LOCHRISTI-MOSTSTR-2016-SL5-SP2 (2)	spoor 2 in sleuf 5
spoor	LOCHRISTI-MOSTSTR-2016-SL5-SP2 (3)	spoor 2 in sleuf 5
spoor	LOCHRISTI-MOSTSTR-2016-SL5-SP2 (4)	spoor 2 in sleuf 5
spoor	LOCHRISTI-MOSTSTR-2016-SL5-SP2 (5)	spoor 2 in sleuf 5
spoor	LOCHRISTI-MOSTSTR-2016-SL5-SP2 (6)	spoor 2 in sleuf 5
spoor	LOCHRISTI-MOSTSTR-2016-SL5-SP2 (7)	spoor 2 in sleuf 5
spoor	LOCHRISTI-MOSTSTR-2016-SL5-SP2 (8)	spoor 2 in sleuf 5
spoor	LOCHRISTI-MOSTSTR-2016-SL5-SP2 (9)	spoor 2 in sleuf 5
spoor	LOCHRISTI-MOSTSTR-2016-SL5-SP2 (10)	spoor 2 in sleuf 5
spoor	LOCHRISTI-MOSTSTR-2016-SL5-SP2 (11)	spoor 2 in sleuf 5
spoor	LOCHRISTI-MOSTSTR-2016-SL5-SP2 (12)	spoor 2 in sleuf 5
spoor	LOCHRISTI-MOSTSTR-2016-SL5-SP2 (13)	spoor 2 in sleuf 5
spoor	LOCHRISTI-MOSTSTR-2016-SL5-SP2 (14)	spoor 2 in sleuf 5
spoor	LOCHRISTI-MOSTSTR-2016-SL5-SP2 (15)	spoor 2 in sleuf 5
spoor	LOCHRISTI-MOSTSTR-2016-SL5-SP2 (16)	spoor 2 in sleuf 5
spoor	LOCHRISTI-MOSTSTR-2016-SL5-SP2 (17)	spoor 2 in sleuf 5
spoor	LOCHRISTI-MOSTSTR-2016-SL5-SP3 (1)	spoor 3 in sleuf 5
spoor	LOCHRISTI-MOSTSTR-2016-SL5-SP3 (2)	spoor 3 in sleuf 5
spoor	LOCHRISTI-MOSTSTR-2016-SL5-SP3 (3)	spoor 3 in sleuf 5
spoor	LOCHRISTI-MOSTSTR-2016-SL5-SP3 (4)	spoor 3 in sleuf 5
spoor	LOCHRISTI-MOSTSTR-2016-SL7-SP4 (1)	spoor 4 in sleuf 7
spoor	LOCHRISTI-MOSTSTR-2016-SL7-SP4 (2)	spoor 4 in sleuf 7
spoor	LOCHRISTI-MOSTSTR-2016-SL7-SP5-6 (1)	spoor 5-6 in sleuf 7
spoor	LOCHRISTI-MOSTSTR-2016-SL7-SP5-6 (2)	spoor 5-6 in sleuf 7
spoor	LOCHRISTI-MOSTSTR-2016-SL7-SP5-6 (3)	spoor 5-6 in sleuf 7
spoor	LOCHRISTI-MOSTSTR-2016-SL7-SP7 (1)	spoor 7 in sleuf 7









spoor	LOCHRISTI-MOSTSTR-2016-SL38-SP140 (1)	spoor 140 in sleuf 38
spoor	LOCHRISTI-MOSTSTR-2016-SL38-SP140 (2)	spoor 140 in sleuf 38
spoor	LOCHRISTI-MOSTSTR-2016-SL38-SP140 (3)	spoor 140 in sleuf 38
spoor	LOCHRISTI-MOSTSTR-2016-SL40-SP50-51 (1)	spoor 50-51 in sleuf 40
spoor	LOCHRISTI-MOSTSTR-2016-SL40-SP50-51 (2)	spoor 50-51 in sleuf 40
spoor	LOCHRISTI-MOSTSTR-2016-SL40-SP50-51 (3)	spoor 50-51 in sleuf 40
spoor	LOCHRISTI-MOSTSTR-2016-SL40-SP50-51 (4)	spoor 50-51 in sleuf 40
vondsten	LOCHRISTI-MOSTSTR-2016-SL12-SP32 (1)	spoor 32 - sleuf 12
vondsten	LOCHRISTI-MOSTSTR-2016-SL12-SP32 (2)	spoor 32 - sleuf 12
vondsten	LOCHRISTI-MOSTSTR-2016-SL12-SP32 (3)	spoor 32 - sleuf 12
vondsten	LOCHRISTI-MOSTSTR-2016-SL15-SP39 (1)	spoor 39 - sleuf 15
vondsten	LOCHRISTI-MOSTSTR-2016-SL15-SP39 (2)	spoor 39 - sleuf 15
vondsten	LOCHRISTI-MOSTSTR-2016-SL22-SP65 (1)	spoor 65 - sleuf 22
vondsten	LOCHRISTI-MOSTSTR-2016-SL22-SP65 (2)	spoor 65 - sleuf 22
vondsten	LOCHRISTI-MOSTSTR-2016-SL34-SP94 (1)	spoor 94 - sleuf 32
vondsten	LOCHRISTI-MOSTSTR-2016-SL34-SP94 (2)	spoor 94 - sleuf 32
vondsten	LOCHRISTI-MOSTSTR-2016-SL35-SP98 (1)	spoor 98 - sleuf 35
vondsten	LOCHRISTI-MOSTSTR-2016-SL35-SP98 (2)	spoor 98 - sleuf 35
vondsten	LOCHRISTI-MOSTSTR-2016-SL35-SP98 (3)	spoor 98 - sleuf 35
vondsten	LOCHRISTI-MOSTSTR-2016-SL35-SP100	spoor 100 - sleuf 35
vondsten	LOCHRISTI-MOSTSTR-2016-SL35-SP103 (1)	spoor 103 - sleuf 35
vondsten	LOCHRISTI-MOSTSTR-2016-SL35-SP103 (2)	spoor 103 - sleuf 35
vondsten	LOCHRISTI-MOSTSTR-2016-SL35-SP103 (3)	spoor 103 - sleuf 35
vondsten	LOCHRISTI-MOSTSTR-2016-SL35-SP103 (4)	spoor 103 - sleuf 35
vondsten	LOCHRISTI-MOSTSTR-2016-SL35-SP104	spoor 104 - sleuf 35
vondsten	LOCHRISTI-MOSTSTR-2016-SL36-SP109	spoor 109 - sleuf 36
vondsten	LOCHRISTI-MOSTSTR-2016-SL36-SP114 (1)	spoor 114 - sleuf 36
vondsten	LOCHRISTI-MOSTSTR-2016-SL36-SP114 (2)	spoor 114 - sleuf 36
vondsten	LOCHRISTI-MOSTSTR-2016-SL36-SP114 (3)	spoor 114 - sleuf 36
vondsten	LOCHRISTI-MOSTSTR-2016-SL36-SP117 (1)	spoor 117 - sleuf 36
vondsten	LOCHRISTI-MOSTSTR-2016-SL36-SP117 (2)	spoor 117 - sleuf 36
vondsten	LOCHRISTI-MOSTSTR-2016-SL36-SP117 (3)	spoor 117 - sleuf 36
vondsten	LOCHRISTI-MOSTSTR-2016-SL36-SP120	spoor 120 - sleuf 36
vondsten	LOCHRISTI-MOSTSTR-2016-SL36-SP123 (1)	spoor 123 - sleuf 36
vondsten	LOCHRISTI-MOSTSTR-2016-SL36-SP123 (2)	spoor 123 - sleuf 36
vondsten	LOCHRISTI-MOSTSTR-2016-SL36-SP127	spoor 127 - sleuf 36
vondsten	LOCHRISTI-MOSTSTR-2016-SL37-SP130 (1)	spoor 130 - sleuf 37
vondsten	LOCHRISTI-MOSTSTR-2016-SL37-SP130 (2)	spoor 130 - sleuf 37
vondsten	LOCHRISTI-MOSTSTR-2016-SL37-SP137 (1)	spoor 137 - sleuf 37
vondsten	LOCHRISTI-MOSTSTR-2016-SL37-SP137 (2)	spoor 137 - sleuf 37
vondsten	LOCHRISTI-MOSTSTR-2016-SL37-SP137 (3)	spoor 137 - sleuf 37